

2•2004

РАДИО

АУДИО•ВИДЕО•СВЯЗЬ•ЭЛЕКТРОНИКА•КОМПЬЮТЕРЫ

RK3DZZ – член СРВС



наши успехи

- Парафазные каскады комбинированной структуры!
- Измерить параметры антенны? Совсем несложно!
- Грозозащита локальных сетей
- Характеристики элементов АА
- Детектор излучения сотового телефона
- КВ приемник "CONTEST-RX"

2
2004

...и еще 34 конструкции

ISSN 0033-765X
9 77 00 32 76 500 9

PETRO 6**ВИДЕОТЕХНИКА 8****ЗВУКОТЕХНИКА 15****РАДИОПРИЕМ 20****ИЗМЕРЕНИЯ 24****КОМПЬЮТЕРЫ 25****МИКРОПРОЦЕССОРНАЯ ТЕХНИКА 28****РАДИОЛЮБИТЕЛЮ-КОНСТРУКТОРУ 34****РАДИОЛЮБИТЕЛЬСКАЯ ТЕХНОЛОГИЯ 37****ИСТОЧНИКИ ПИТАНИЯ 38****ЭЛЕКТРОНИКА В БЫТУ 43****ЭЛЕКТРОНИКА ЗА РУЛЕМ 48****"РАДИО" — НАЧИНАЮЩИМ 51****"РАДИО" — О СВЯЗИ 59**

НАША КОНСУЛЬТАЦИЯ (с. 50). На книжной полке (с. 40).

ДОСКА ОБЪЯВЛЕНИЙ (с. 1, 3, 13, 31, 34, 36, 42, 48, 64, 75—80).

На нашей обложке. Коллектив радиостанции RK3DZZ. Стоят (слева направо): Игорь Владимирович Жижимонтов (RW3DKF) и его воспитанники — Артем Кузин, Роман Субботников, Дмитрий Черняев, Юрий Андриенко; сидят: Даша Маркова и Юрий Простов. Рассказ об этом коллективе см. на с. 4.

**ЧИТАЙТЕ
В СЛЕДУЮЩЕМ
НОМЕРЕ:**

**ПРОСТЫЕ ШИРОКОПОЛОСНЫЕ АНТЕННЫ
ДАТЧИК ТЕМПЕРАТУРЫ МИКРОПРОЦЕССОРА
МОЩНЫЙ ЛАБОРАТОРНЫЙ БЛОК ПИТАНИЯ С ПОВЫШЕННЫМ КПД
ЦИФРОВЫЕ ЧАСТОТНЫЕ СИНТЕЗАТОРЫ 1508ПЛ11, 1508ПЛ11А,
1508ПЛ12
МАЛОГАБАРИТНЫЙ ИСКАТЕЛЬ СКРЫТОЙ ПРОВОДКИ**

23 ФЕВРАЛЯ — ДЕНЬ ЗАЩИТНИКОВ ОТЕЧЕСТВА 4

5

У НАШИХ ПОДШЕФНЫХ 5

Б. Блинков. ГИРЛЯНДНАЯ ГЭС 6

8

Б. Хохлов. БИТВА СИСТЕМ 8

Ю. Петровавловский. ФОРМАТЫ ЗАПИСИ ВК, УСТРОЙСТВО И РЕМОНТ

11

ЛПМ ПОЛНОРАЗМЕРНЫХ ВК PANASONIC 11

А. Пескин. ПРИНИМАЕМ СТЕРЕОФОНИЧЕСКОЕ ЗВУКОВОЕ СОПРОВОЖДЕНИЕ 14

Е. Карпов. ТРАНСФОРМАТОРНЫЕ КАСКАДЫ С ПАРАФАЗНЫМ ВОЗБУЖДЕНИЕМ 15

15

А. Пахомов. БЛОК ПИТАНИЯ МАГНИТОДОЛЫ С КОММУТАЦИЕЙ "СЕТЬ—БАТАРЕЯ" 17

17

В. Догадин. ДОРАБОТКА АВТОСТОПА МАГНИТОДОФОНА "НОТА 220С-2" 18

18

П. Михайлов. НОВОСТИ ЭФИРА 20

20

В. Поляков. ИЗМЕРИТЬ ПАРАМЕТРЫ АНТЕННЫ? СОВСЕМ НЕСЛОЖНО! 21

А. Люяев. БЕСПРОВОДНОЕ ПРОСЛУШИВАНИЕ СТЕРЕОЗВУКОВОГО

22

СОПРОВОЖДЕНИЯ 22

В. Горбатых. ГИР С ИНДИКАТОРОМ НА СВЕТОДИОДЕ 24

24

Д. Малород. ГРОЗОЗАЩИТА ЛОКАЛЬНЫХ СЕТЕЙ 25

С. Рюмик. "ПАРАЛЛЕЛЬНЫЙ" ПРОГРАММАТОР ДЛЯ AT89 28

28

А. Сизов. ПРОГРАММИРОВАНИЕ СОВРЕМЕННЫХ PIC16, PIC12 на RopyProg 31

31

Ю. Лысенков. ГЕНЕРАТОР ВИДЕОСИГНАЛА НА PIC-КОНТРОЛЛЕРЕ 33

33

М. Белецкий. МУЗЫКАЛЬНЫЙ ЗВОНOK НА 120 МЕЛОДИЙ 33

33

В. Савченко, Л. Грибова. КВАРЦЕВЫЙ РЕЗОНАТОР ПРЕОБРАЗУЕТ

34

НЕЭЛЕКТРИЧЕСКИЕ ВЕЛИЧИНЫ В ЭЛЕКТРИЧЕСКИЕ 34

А. Курялов. ЕЩЕ ОДИН СПОСОБ ИЗГОТОВЛЕНИЯ ПЕЧАТНОЙ ПЛАТЫ 37

37

И. Подушкин. СРАВНИТЕЛЬНЫЕ ХАРАКТЕРИСТИКИ ГАЛЬВАНИЧЕСКИХ

38

ЭЛЕМЕНТОВ ТИПОРАЗМЕРА AA 38

Ю. Курбаков. СТАБИЛИЗАТОР НАПРЯЖЕНИЯ С ДВОЙНОЙ ЗАЩИТОЙ 39

39

Р. Каров, С. Иванов. МОЩНЫЙ ИМПУЛЬСНЫЙ СТАБИЛИЗИРОВАННЫЙ

41

БЛОК ПИТАНИЯ 41

Ю. Виноградов. ДЕТЕКТОР ИЗЛУЧЕНИЯ СОТОВОГО ТЕЛЕФОНА 43

43

А. Бутов. УСТРОЙСТВО ЗАЩИТЫ МАЛОМОЩНЫХ ЛАМП НАКАЛИВАНИЯ 44

44

И. Нечаев. ДВЕРНОЙ ЗВОНОК НА МИКРОСХЕМЕ ISD25xxx 45

45

А. Русин. ВЫКЛЮЧАТЕЛЬ ОСВЕЩЕНИЯ НА ИК ЛУЧАХ 46

46

А. Мартемьянов. УПРОЩЕНИЕ ИНДИКАТОРА НАПРЯЖЕНИЯ 48

48

А. Долгий. ПРОГРАММАТОРЫ И ПРОГРАММИРОВАНИЕ МИКРОКОНТРОЛЛЕРОВ 51

51

П. Севастьянов. ТЕЛЕФОННАЯ СВЯЗЬ МЕЖДУ ДВУМЯ АБОНЕНТАМИ 53

53

ЧТО ТАКОЕ ИНФРАДИН? 53

А. Черепанов. КРУЖОК РАДИОТЕХНИЧЕСКОГО КОНСТРУИРОВАНИЯ 54

54

И. Нечаев. ЭЛЕКТРОННЫЙ ВЫКЛЮЧАТЕЛЬ 56

56

А. Медведев. ПРОБНИКИ АВТОЛЮБИТЕЛЯ 57

57

А. Бутов. ДВУХЧАСТОТНЫЙ ГЕНЕРАТОР НА МИГАЮЩЕМ СВЕТОДИОДЕ 58

58

В. Царевский. ОСТРОВ РОДШЕР — КАК ЭТО БЫЛО 59

59

ИТОГИ RUSSIAN WW RTTY CONTEST 60

60

НА ЛЮБИТЕЛЬСКИХ ДИАПАЗОНАХ 60

60

О. Бородин. RU — QRP 61

61

В. Рубцов. РАДИОПРИЕМНИК "CONTEST-RX" 62

62

М. Николаев. ИЗ ОПЫТА ЭКСПЛУАТАЦИИ АНТЕНН ДЛЯ СОТОВОГО ТЕЛЕФОНА 65

65

ЦЕНТРАЛЬНЫЙ МУЗЕЙ СВЯЗИ ИМЕНИ А. С. ПОПОВА 65

65

И. Нечаев. МИКРОФОН С УСТРОЙСТВОМ ЗАПИСИ—ВОСПРОИЗВЕДЕНИЯ 66

66

"ПАРАСОЛ" — ЗОНТИЧНАЯ АНТЕННА НА 160 МЕТРОВ 67

67

Э. Гуткин. МНОГОДИАПАЗОННЫЕ НАПРАВЛЕННЫЕ АНТЕННЫ 68

68

НАСТУПЛЕНИЕ "ДВУХ М" 68

68

А. Гольышко. ЭПОХА "ЦВЕТНОГО РАДИО" 71

71

А. Соколов. ТИПИЧНЫЕ ДЕФЕКТЫ СИ-БИ РАДИОСТАНЦИИ ALAN 73

73

ОСЦИЛЛОГРАФЫ ФИРМЫ LeCroy СВЧ ДИАПАЗОНА 74

74



Издается с 1924 года

РАДИО®

"Радиолюбитель" - "Радиофронт" - "Радио"

2•2004
МАССОВЫЙ
ЕЖЕМЕСЯЧНЫЙ
НАУЧНО-ТЕХНИЧЕСКИЙ
ЖУРНАЛ

"Radio" is monthly publication on audio, video, computers, home electronics and telecommunication

УЧРЕДИТЕЛЬ И ИЗДАТЕЛЬ: РЕДАКЦИЯ ЖУРНАЛА «РАДИО»

Зарегистрирован Комитетом РФ по печати 21 марта 1995 г.

Регистрационный № 01331

Главный редактор Ю. И. КРЫЛОВ

Редакционная коллегия:

В. В. АЛЕКСАНДРОВ, В. И. ВЕРЮТИН, А. В. ГОЛЫШКО, С. С. ГУБАНОВ (отв. СЕКРЕТАРЬ), А. С. ЖУРАВЛЕВ, Б. С. ИВАНОВ, Е. А. КАРНАУХОВ, С. Н. КОМАРОВ, А. Н. КОРОТОНОШКО, В. Г. МАКОВЕЕВ, С. Л. МИШЕНКОВ, А. Л. МСТИСЛАВСКИЙ, В. Т. ПОЛЯКОВ, Е. Г. ТАТАРНИКОВА, Б. Г. СТЕПАНОВ (ПЕРВЫЙ ЗАМ. ГЛ. РЕДАКТОРА), Р. Р. ТОМАС, В. В. ФРОЛОВ, В. К. ЧУДНОВ

Корректор Т. А. ВАСИЛЬЕВА

Обложка: С. В. ЛАЗАРЕНКО

Верстка: Е. А. ГЕРАСИМОВА, С. В. ЛАЗАРЕНКО, В. П. ОБЪЕДКОВ

Адрес редакции:

107045, Москва, Селиверстов пер., 10

Тел.: (095) 207-31-18. Факс: (095) 208-77-13

E-mail: ref@radio.ru

Группа работы с письмами — (095) 207-08-48

Отдел рекламы — (095) 208-99-45, e-mail: advert@radio.ru

Распространение — (095) 208-81-79; e-mail: sale@radio.ru

Подписка и продажа — (095) 207-77-28

Бухгалтерия — (095) 207-87-39

Наши платежные реквизиты:

получатель — ЗАО «Журнал "Радио"», ИНН 7708023424,
р/сч. 40702810438090103159 в Мещанском ОСБ № 7811, г. Москва

Банк получателя — Сбербанк России, г. Москва

корр. счет 30101810400000000225 БИК 044525225

Подписано к печати 16.01.2004 г. Формат 84×108/16. Печать офсетная.

Объем 10 физ. печ. л., 5 бум. л., 13,5 уч.-изд. л.

В розницу — цена договорная

Подписной индекс:

по каталогу «Роспечати» — 70772;

по каталогу Управления федеральной почтовой связи — 89032.

За содержание рекламного объявления ответственность несет рекламодатель.

За оригинальность и содержание статьи ответственность несет автор.

Редакция не несет ответственности за возможные негативные последствия использования опубликованных материалов, но принимает меры по исключению ошибок и опечаток.

В случае приема рукописи к публикации редакция ставит об этом в известность автора. При этом редакция получает исключительное право на распространение принятого произведения, включая его публикации в журнале «Радио», на интернет-страницах журнала, СД или иным образом.

Авторское вознаграждение (гонорар) выплачивается в течение одного месяца после первой публикации в размере, определяемом внутренним справочником тарифов.

По истечении одного года с момента первой публикации автор имеет право опубликовать авторский вариант своего произведения в другом месте без предварительного письменного согласия редакции.

© Радио®, 1924–2004. Воспроизведение материалов журнала «Радио», их коммерческое использование в любом виде, полностью или частично, допускается только с письменного разрешения редакции.

Отпечатано в ИД «Медиа-Пресса», 125993, ГСП-3, Москва, А-40,
ул. «Правды», 24. Зак. 40098.



Компьютерная сеть редакции журнала «Радио» находится под защитой антивирусной программы Dr.WEB
И. Данилова. Техническая поддержка ООО «СалД» (Санкт-Петербургская антивирусная лаборатория И. Данилова)
<http://www.drweb.ru> Тел.: (В12) 294-6408



КОМПАНИЯ МТУ-ИНФОРМ

Полный комплекс услуг связи

- цифровая телефонная связь -
- аренда цифровых каналов -
- услуги сети передачи данных -
- подключение к сети Интернет -
- услуги Интеллектуальной платформы -

119121, Москва, Смоленская-Сенная пл., 27-29, стр.2
тел.(095) 258 78 78, факс(095) 258-78-70
<http://www.mtu.ru>, e-mail: office@mtu.ru

23 февраля — День защитников Отечества



Поздравляем с праздником

всех, чья жизнь сегодня или в прошлом связана с Вооруженными Силами страны! Военнослужащих — радиолюбителей объединяет Союз радиолюбителей Вооруженных Сил. Есть в СРВС и "коллективные члены". Это коллективные радиостанции, работой которых обычно руководят ушедшие в запас военнослужащие, а основная масса операторов — девочки и мальчишки. Об одном из таких коллективов и его руководителе наш рассказ.

Игорь Владимирович Жижимонтов (RW3DKF) — подполковник запаса, окончил Череповецкое училище связи и Ленинградскую академию им. Можайского, служил под Москвой и в Бурятии. Оба сына Игоря Владимира пошли по его стопам. Они тоже окончили Череповецкое училище связи, стали офицерами. Десять лет назад Игорь Владимирович уволился в запас и живет сейчас в поселке Мещерино Московской области.

Еще в школе он мечтал стать радиолюбителем, но реально смог заняться радиолюбительством только после увольнения в запас. Приехав в Мещерино, он по совету Вячеслава Суреновича Григорьева (RK3DN) вышел на Союз радиолюбителей Вооруженных сил, вступил в него. Там ему помогли оформить разрешение на эксплуатацию любительской радиостанции. Вскоре он начал работать в эфире.

Наблюдая за отцом, в радиолюбительство втянулись и сыновья. Вскоре его занятиями стали интересоваться соседские дети. Они часто задавали вопросы: «А что это?», «А как это работает?», «А зачем это?». Вопросы подвигли его на занятия с подростками. «Своих детей уже научил, так почему бы не приобщить к радио и чужих, отвлечь их от улицы?» — подумал Игорь Владимирович. Одним из самых активных его помощников в этом начинании стал также радиолюбитель, член СРВС, подполковник Виктор Иванович Невдахин (RK3DGQ).

Примерно 3 года назад для занятий с детьми в Мещерино была организована коллективная радиостанция, которой был присвоен позывной RK3DZZ. Сначала пришло человек десять в возрасте от 12 лет, но часть из них со временем ушла. Зато остались именно те, кто проявляет к радио истинный интерес. Сейчас на радиостанции занимается около двадцати ребят. Они некоторое время изучают правила работы в эфире, сидя за приемником Р-250, а затем начинают работать в эфире, используя трансивер на базе армейской станции Р-130.

Радиостанция RK3DZZ регулярно работает в эфире и принимает участие во всех днях активности Союза радиолюбителей Вооруженных Сил. Например, летом прошлого года на даче Игоря Владимировича была развернута «полевая позиция», с которой радиостанция отработала в днях активности, посвященных Дню ВМФ и Дню ВВС. Ребята выполнили условия и получили медаль «Защитник Отечества», а также диплом AFARA со всеми наклейками.

За время существования коллективной радиостанции Игорь Владимирович выпустил уже два «потока» детей, сейчас ведет третий. Несколько воспитанников получили

Трансформаторные каскады с парафазным возбуждением

Е. КАРПОВ, г. Одесса, Украина

В статье представлены оригинальные варианты схем трансформаторных ламповых каскадов. Комбинации двух однотактных каскадов с парафазным возбуждением позволяют получить интересные модификации, аналогичные двухтактным каскадам. Описаны их преимущества и недостатки, приведены расчетные формулы и результаты исследования параметров.

Рассмотренные в этой статье варианты выходных каскадов ламповых усилителей ведут свою родословную от обыкновенного однотактного выходного каскада [1, 2]. Получившийся результат — явный компромисс, но каждый из вариантов описываемых схем имеет некоторые преимущества, а насколько они ценные — судите сами.

Трансформаторные каскады с параллельным питанием

Первоначально я использовал в усилителе выходной каскад по схеме, показанной на рис. 1, вынужденно, несмотря на его недостатки [3]. Фактически,

трическими методами без введения ООС повысить линейность мощных каскадов, используя симметрию структуры. Обсуждаемые в [4] способы подавления четных гармоник в однотактных каскадах путем подбора типов и режимов ламп менее универсальны в сравнении с двухтактной структурой. В результате доминирующими в спектре выходного сигнала являются нечетные гармоники, но их уровень на порядок меньше, чем подавленных четных, поэтому с ними гораздо легче бороться другими методами.

Однотактный каскад принципиально несимметричен. Следствием этого является то, что скорости нарастания и спада фронтов сигналов импульсного

равных напряжений на анодах ламп использовать его необходимо. Кроме того, наличие этого конденсатора позволяет независимо и в широких пределах менять режим работы каждой лампы каскада. Появляется возможность установить режим работы каскада с желаемым уровнем четных гармоник даже для ламп с существенно различающимися характеристиками.

В результате такой модификации достигается удвоение выходной мощности, а также компенсация четных гармоник ламп и трансформатора. Появляется возможность регулировать спектр искажений сигнала. Габариты трансформатора допустимо уменьшить или при тех же размерах улучшить его параметры. При отсутствии подмагничивания трансформатора упрощается его конструкция.

При этом, однако, потребуется более высокое напряжение питания, хотя КПД даже теоретически не превысит 25 %. Выходное сопротивление модифицированного каскада вдвое больше, а уровень нечетных гармоник выше, так как ток сигнала протекает через две лампы.

Конечно, самым неприятным из недостатков являются нечетные гармоники, для подавления которых целесообразно ввести местную обратную связь в выходной каскад. Наиболее опти-

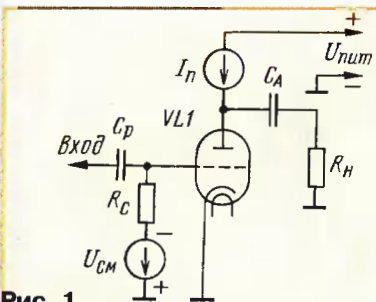


Рис. 1

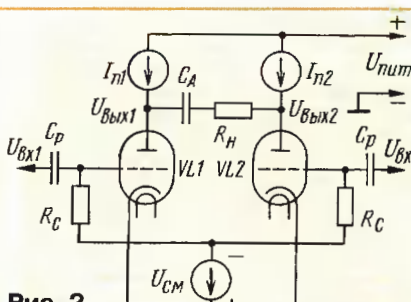


Рис. 2

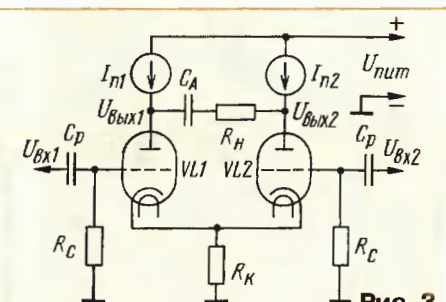


Рис. 3

его главное преимущество — отсутствие постоянного подмагничивания выходного трансформатора. Это позволяет улучшить параметры каскада за счет повышения индуктивности обмоток и (или) уменьшения паразитных параметров трансформатора.

В таком каскаде с параллельным питанием перемагничивание магнитопровода происходит по симметричной петле. Это — "хорошо", потому что в нем не возникают четные гармоники, а допустимый размах индукции увеличивается; "плохо" потому, что при переходе индукции через ноль кривая перемагничивания существенно нелинейна.

Если трансформатор работает по симметричной петле перемагничивания, ничто не мешает преобразовать каскад в двухтактный, добавив его преимущества и недостатки к уже имеющимся. Естественно, можно задать резонный вопрос: зачем это делать? Попробую ответить.

При разработке ламповых УМЗЧ получение максимально линейного, без искажений, усиления стараются достичнуть, в первую очередь, методами, позволяющими подавить нежелательную нелинейность без использования общей обратной связи. Двухтактные каскады дают такую возможность параме-

хартера принципиально разные. Так же это приводит к повышенному уровню фазовых искажений. В двухтактных каскадах этот недостаток менее выражен.

Схему двухтактного каскада из исходной (по рис. 1) можно получить включением нагрузки между выходами двух однотактных каскадов с параллельным питанием и, соответственно, возбуждением этих каскадов парафазным сигналом (рис. 2). Для ламп с малым напряжением смещения более удобна схема, показанная на рис. 3, так как в этом случае не требуется отдельного источника смещения. Фактически эта схема аналогична обычному дифференциальному каскаду. Нормальная работа этих каскадов возможна только в классе А.

Если лампы идентичны, то коэффициент усиления такого каскада для парафазных сигналов

$$K = U_{\text{вых}1}/U_{\text{вх}1} = U_{\text{вых}2}/U_{\text{вх}2} = \mu R_i / (R_i + R_n), \quad (1)$$

где μ — коэффициент усиления лампы; R_i — ее внутреннее сопротивление; R_n — сопротивление нагрузки, а выходное сопротивление

$$R_{\text{экв}} = 2R_i. \quad (2)$$

Разделительный конденсатор C_p при соблюдении некоторых условий может отсутствовать, но без поддержания

малко использовать здесь катодную обратную связь, как показано на рис. 4.

Посмотрим, что получится при введении обратной связи на реальном примере. В соответствии с теорией обратной связи [3] уменьшение уровня гармони-

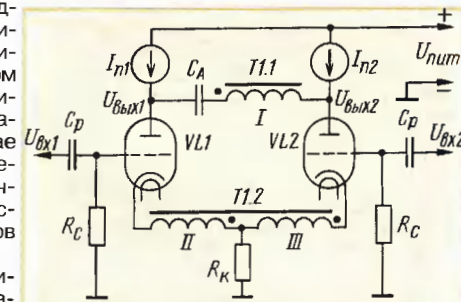


Рис. 4

ческих составляющих \dot{U}_n искажений пропорционально глубине обратной связи A :

$$\dot{U}_{n\text{ ос}} = \dot{U}_n / A, \quad (3)$$

где $\dot{U}_{n\text{ ос}}$ — уровень n -й гармонической составляющей в усилителе с ООС.

В области средних частот вполне допустимо рассматривать не комплексные величины, а их модули, что мы в дальнейшем и будем делать.

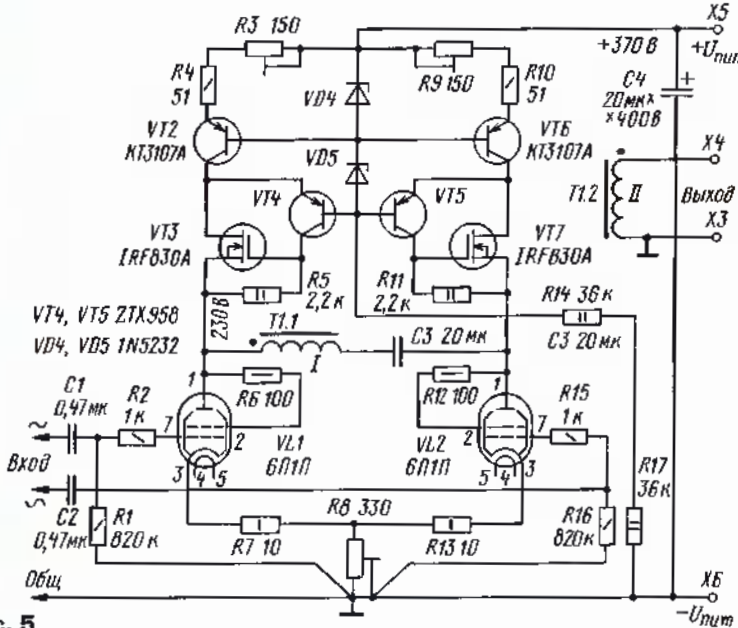


Рис. 5

Таблица 1

Коэффициент гармоник	Схема каскада		
	Рис. 1	Рис. 3	Рис. 4
K _r , %	5,06	0,26	0,11
K _{r2} , %	4,96	—	—
K _{r3} , %	0,36	0,26	0,1
K _{r4} , %	0,08	—	—
K _{r5} , %	0,018	0,013	0,005
K _{r6} , %	0,016	—	—

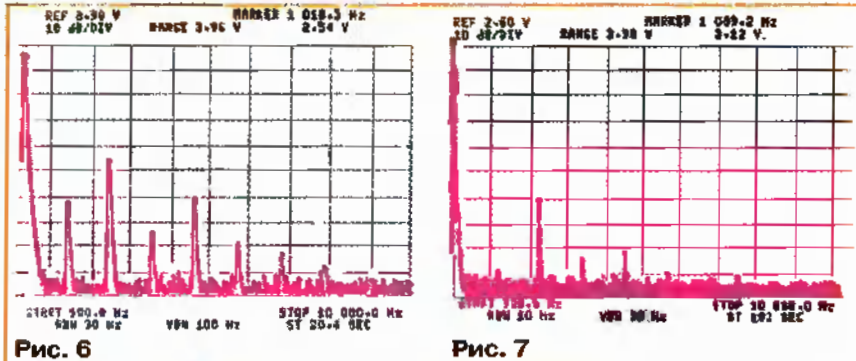


Рис. 6

Теперь в соответствии с выражением (3) пересчитаем уровни гармонических составляющих, считая, что четные гармоники скомпенсированы полностью (см. табл. 1).

Для проведения экспериментов использован выходной каскад, собранный по схеме на рис. 5 (соответствует структуре схемы на рис. 3). На рис. 6 показан спектр его выходного сигнала. Экспери-

ментальные результаты измерения исследований отличаются от расчетных значений на 20...25 % (в сторону ухудшения). Это объясняется и неполной компенсацией четных гармоник — использованы лампы без предварительного подбора.

Линейность нового варианта усилителя существенно выше; особенно привлекателен каскад с катодной обратной связью [5, 6], в этом случае улучшаются все его параметры.

Основным ограничением при практическом использовании такого каскада является его низкая эффективность; с распространенными лампами можно получить выходную мощность до 2...3 Вт. Применение такой схемы каскада целесообразно, в первую очередь, при наличии готовых выходных трансформаторов, использовавшихся в однотактных каскадах старой радиоаппаратуры (зазор в трансформаторе следует устранить). Также она хорошо подходит для выходного каскада высококачественного телефонного уси-

лителя, особенно если для него специально изготовлен трансформатор. На рис. 7 показан спектр выходного сигнала такого усилителя, при максимальной мощности 0,6 Вт общий коэффициент гармоник всего тракта не превышает 0,06 %.

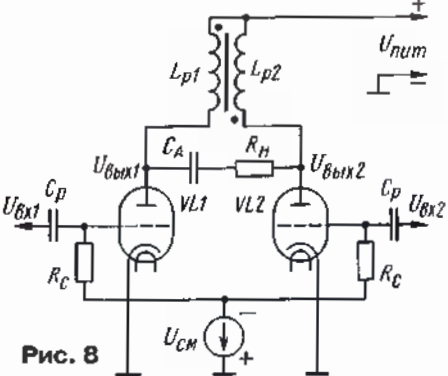


Рис. 8

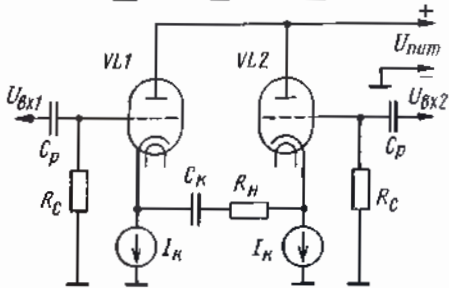


Рис. 9

лителя, особенно если для него специально изготовлен трансформатор. На рис. 7 показан спектр выходного сигнала такого усилителя, при максимальной мощности 0,6 Вт общий коэффициент гармоник всего тракта не превышает 0,06 %.

Предложенный подход можно применить и к другим вариантам каскада с параллельным питанием, заменив источники тока в анодах ламп на дроссель с двумя магнитосвязанными обмотками. В результате введения второго моточного узла получится симметричный каскад с дроссельной нагрузкой (рис. 8) и эффективностью, достигающей уже 50 %. Перенос источников тока или дросселя в катодную цепь ламп дает симметричный катодный повторитель (рис. 9). Последний вариант схемы представляет практический интерес для применения в выходных каскадах предварительных усилителей с трансформаторным выходом, а также для телефонных усилителей.

В каскаде по схеме, показанной на рис. 4, можно с успехом использовать пентоды и лучевые тетроды, исключив резистор R_k и применив фиксированное смещение.

ЛИТЕРАТУРА

- Лэнди Р., Дэвис Д., Альбрехт А. Справочник радиоинженера. — М.: ГЭИ, 1961.
- Карпов Е. ТВ3 в ламповом УМЧ. — Радио, 2003, № 4, с. 11–15.
- Inverse Complementary Distortion Cancelling, Glass Ware, 2001.
- Вайшилло Г. В. Усилители низкой частоты на электронных лампах. — М.: Связьиздат, 1963.
- Вильямсон Т. Н., Волкер П. Д. Превеличение и Усилители, 1955. Переход с англ. — Интернет-издание: Nextube, <<http://www.next-power.net/next-tube/rv/articles.php3>>.
- McIntosh F. H. Wide-Band amplifier coupling circuit, US Patent 2,477,074.

Редактор — А. Соколов, графика — Ю. Андреев, рисунки — автора

(Окончание следует)

БЛОК ПИТАНИЯ МАГНИТОЛЫ С КОММУТАЦИЕЙ "СЕТЬ—БАТАРЕЯ"

А. ПАХОМОВ, г. Зерноград Ростовской обл.

Автор усовершенствовал описанный ранее в журнале блок питания носимой магнитолы ("Радио", 2002, № 11, с. 12, 13), введя автоматическую коммутацию блока питания и батареи. Следует иметь в виду, что умножение блока питания при подобной доработке целесообразно лишь для аппаратуры с достаточным запасом по мощности акустической системы.

Как известно, популярная ныне но-симая аудиоаппаратура в автономном режиме обычно питается от встроенной батареи напряжением 7,5...9 В и значительно реже — 12 В. При этом практически все современные интегральные УМЗЧ, применяемые в носимой аппаратуре, имеют широкий диапазон питающего напряжения и допускают его увеличение до 14...18 В [1]. Используя эту особенность микросхем, нередко одной лишь

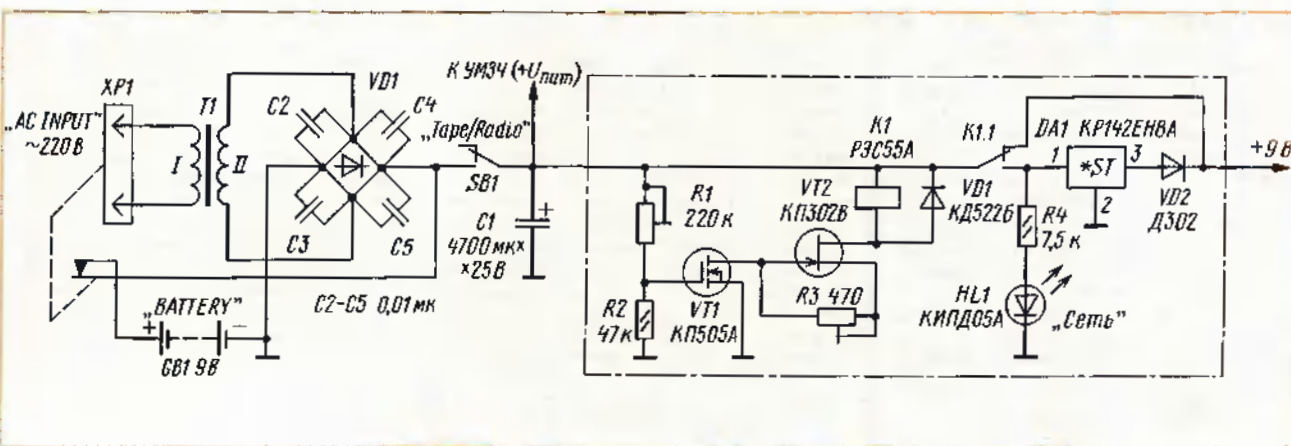
ногого напряжения на предварительные каскады магнитолы.

В режиме "Батарея" переключатель тока не потребляет; в режиме "Сеть" его ток потребления не превышает 20 мА. Переход в режим "Сеть" происходит при напряжении 11,5 В, а переход в режим "Батарея" — при 11 В.

Коммутатор встроен в имеющийся в магнитоле блок питания. Вводимая часть выделена на схеме штрихпунктирной линией. Она представляет со-

уровня питания УМЗЧ. Повышение напряжения на затворе транзистора VT1 откроет его. Через обмотку реле K1 потечет ограниченный транзистором VT2 ток, но достаточный для срабатывания реле. Контакты K1.1 включают в цепь питания стабилизатора DA1. Теперь напряжение питания предварительных каскадов будет ограничено требуемым уровнем (9 В) и дополнительно стабилизировано. УМЗЧ питается повышенным напряжением от БП, доработанного по рекомендациям в [2]. Одновременно засвятится светодиод HL1, индицируя режим "Сеть". При отключении разъема сетевого кабеля происходит переход в режим питания от батареи.

Реле РЭС55 на рабочее напряжение 12 В (паспорт 4.569.602) срабатывает при напряжении 7...8 В и токе 10...12 мА. Без ограничителя тока через обмотку реле при максимальном напряжении питания УМЗЧ 16 В его значение достигло бы 35 мА, что нежелательно. Применить реле на напряжение срабатывания, близкое к максимальному, также нельзя — это напряжение не ста-



переделкой сетевого БП удается увеличить музыкальную (пиковую) выходную мощность более чем в два раза [2]. Создаваемый запас мгновенной мощности улучшает динамические характеристики усилителя.

В блоке питания магнитолы [2] с повышенным для УМЗЧ нестабилизированным напряжением питания стабилизатор предложен лишь для питания маломощных каскадов устройства. Переход с сетевого на батарейный режим питания осуществляется кнопочным переключателем. С этим переключателем и связан основной недостаток устройства: при случайном переводе кнопки в положение "Батарея" во время работы от сети на предварительные каскады магнитолы поступает повышенное напряжение, что может привести к выходу из строя универсального усилителя и приемника.

Этот недостаток полностью устранен в устройстве, схема которого показана на рисунке. Здесь вместо ручного переключателя "Сеть—Батарея" введена автоматическая электронная коммутация, исключающая подачу повышен-

бий чувствительное и экономичное реле напряжения, а также интегральный стабилизатор напряжения DA1. Нестабилизированное напряжение на конденсаторе C1 отслеживает полевой транзистор VT1. На транзисторе VT2 собран ограничитель тока для реле K1. Светодиод HL1 индицирует переключение в режим "Сеть".

При работе от батареи, когда напряжение на конденсаторе C1 даже при свежих элементах питания не превышает 10 В, транзистор VT1 закрыт — положительное напряжение на его затворе, заданное делителем R1R2, ниже порогового. Реле K1 обесточено, его контакт K1.1 находится в верхнем по схеме положении. Стабилизатор DA1 по входу отключен контактом K1.1, а по выходу — развязывающим диодом VD2, препятствующим разряду батареи через выходное сопротивление стабилизатора. В таком состоянии устройство практически не потребляет тока, что особенно важно в батарейном режиме.

При включении сетевого кабеля в разъем AC INPUT батарея отключается дополнительным контактом разъема, а напряжение увеличивается до

стабилизировано и колеблется при работе УМЗЧ. Применение стабилизатора тока на полевом транзисторе VT2 ограничивает ток потребления реле на уровне, превышающем ток срабатывания на 2...3 мА. Это достаточно для надежной коммутации и экономичной работы в условиях нестабильности питающего напряжения. Высокая крутизна полевого транзистора VT1 обеспечила малую разницу в уровнях переключения режимов — около 0,5 В.

Диод позволяет избежать применения еще одного коммутирующего контакта реле. Прямое падение напряжения на диоде VD2 (D302 — германевый) не превышает 0,3 В и при использовании кремниевого диода (КД212А и аналогичных) может быть скомпенсировано подбором микросхемы DA1. Но с германевым диодом и без подбора точности установления выходного напряжения достаточна и составляет 8,7±0,27 В.

Изготовление устройства следует начать с доработки имеющегося блока питания. Типовой трансформатор T1 в магнитоле, как правило, маломощный; его лучше заменить тороидаль-

ным, рассчитанным на эффективное напряжение вторичной обмотки, в 1,2..1,3 раза меньшее допустимого напряжения питания конкретной микросхемы УМЗЧ. Некоторые рекомендации по выбору кольцевого магнитопровода для трансформатора даны в [2].

Потребляемый ток УМЗЧ после переделки возрастает, поэтому следует увеличить емкость конденсатора фильтра до 4700 мкФ (на 25 В). Повышенная емкость фильтра также способствует увеличению пиковой мощности, а запас по напряжению гарантирует надежную работу конденсатора.

Вводимую часть устройства собирают на отдельной плате соответствующих размеров рядом с основным БП. В этом устройстве можно применить также транзисторы КП305Б, КП305В, а в позиции VT2 — КП302Б или КП302Г (при отборе по начальному току стока — не менее 15 мА — и КП303Е). Реле K1 можно заменить аналогичным малогабаритным с минимальным током срабатывания и напряжением срабатывания не более 10 В. Светодиод HL1 можно заменить другим, но он должен иметь достаточную яркость свечения при токе 1...2 мА. В целях эксплуатационной надежности микросхему DA1 и микросхему УМЗЧ следует установить на небольшие теплоотводы.

Налаживание устройства сводится к установке подстроечным резистором R1 порога напряжения для переключателя "Сеть—Батарея"; ток через обмотку реле устанавливают резистором R3. Перед настройкой движки резисторов R1, R3 следует перевести соответственно в верхнее и левое положения. Далее с помощью ЛАТРа плавно увеличивают напряжение на первичной обмотке трансформатора T1, контролируя постоянное напряжение на конденсаторе C1. При уровне 11,5 В добиваются открывания транзистора VT1 и срабатывания реле K1. Процесс визуально заметен по свечению светодиода HL1. Ток в обмотке реле контролируют миллиамперметром и ограничивают его на уровне примерно 15 мА подстройкой резистора R3. После этого плавно снижают первичное напряжение и проверяют выключение устройства: отпускание реле K1, видимое по погасанию светодиода HL1, должно происходить при напряжении 11...11,2 В на конденсаторе C1. На этом настройка закончена.

БП с электронной коммутацией можно применить в различных моделях носимой аппаратуры. Надежность и удобство эксплуатации гарантированы отсутствием ручных переключателей, а увеличение мощности зависит от допустимого напряжения питания и предельной выходной мощности УМЗЧ.

ЛИТЕРАТУРА

- Усилители низкой частоты — интегральные микросхемы. — М.: Патриот, 1995.
- Пахомов А. УМЗЧ для переносной магнитолы. — Радио, 2002, № 11, с. 12, 13.

Редактор — А. Соколов, графика — Ю. Андреев

Доработка автостопа магнитофона "Нота 220С-2"

В. ДОГАДИН, г. Москва

Есть любители магнитной записи, которые до сих пор пользуются отечественными магнитофонами. Если ресурс магнитофона еще не выработан, можно дополнить ЛПМ магнитофона оптоэлектронным датчиком окончания ленты, исключающим вероятность ее порчи при ускоренной перемотке. Такой датчик можно устанавливать и в другие магнитофоны с электромагнитным управлением ЛПМ ("Маяк МП-232С" и аналогичные).

ЛПМ магнитофона "Нота 220С-2" — относительно простой по конструкции и вполне надежный. Больше всего радует скорость перемотки: лента в компакт-кассете С-90 перематывается за 58 секунд! Но из-за высокой скорости перемотки по окончании ленты в кассете происходит сильный рывок; иногда лента рвется или слетает с полного рулона и наматывается на шкив ЛПМ. После этого кассету приходится разбирать и укладывать ленту в рулон, причем ленты длиной примерно с полметра оказывается помятым.

Современную остановку ленты можно обеспечить, используя оптронную пару с миниатюрной лампой СМН6.3-20-2, которая при установке кассеты в ЛПМ входит в одно из ее отверстий. Фотодиод в этом случае отделен от лампы магнитной лентой. Во время рабочего хода ЛПМ лампа не включена и работает штатный автостоп. Во время перемотки она включается, и при появлении ракорда, который просвечивается лучше ленты, засветка фотодиода позволяет получить перепад напряжения для логической микросхемы, формирующей сигнал для остановки ленты.

сит от скорости перемотки на момент срабатывания автостопа. В любом случае лента останавливается без сильного рыва. Проблема может возникнуть, если лента не имеет ракорда. Для того чтобы в такой кассете после предварительной остановки дматовать ленту до конца, необходимо запустить перемотку еще раз. В этом случае сильного рыва уже не получится, так как ЛПМ не успеет разогнать ленту.

Во время экспериментов пришлось ввести цепочки задержки накала лампы. Это полезно для самой лампы (повышает долговечность), но и необходимо для того, чтобы при перемотке с начала кассеты автостоп не включался сразу. Задержка накала достигает нескольких секунд, поэтому начальный ракорд, успевает прокопчить и перемотка продолжается.

Схема дополнительного устройства показана на рис. 1. Итак, в режиме "Стоп" или "Воспроизведение" на входах элемента DD1.2 присутствуют лог. 0, поэтому на его выходе действует высокий уровень, который через элемент DD1.1 удерживает лог. 0 на выводе 3 микросхемы. Элемент DD1.2 через резистор R2 держит в открытом состоянии транзистор VT1, который, в свою очередь, запрещает включение

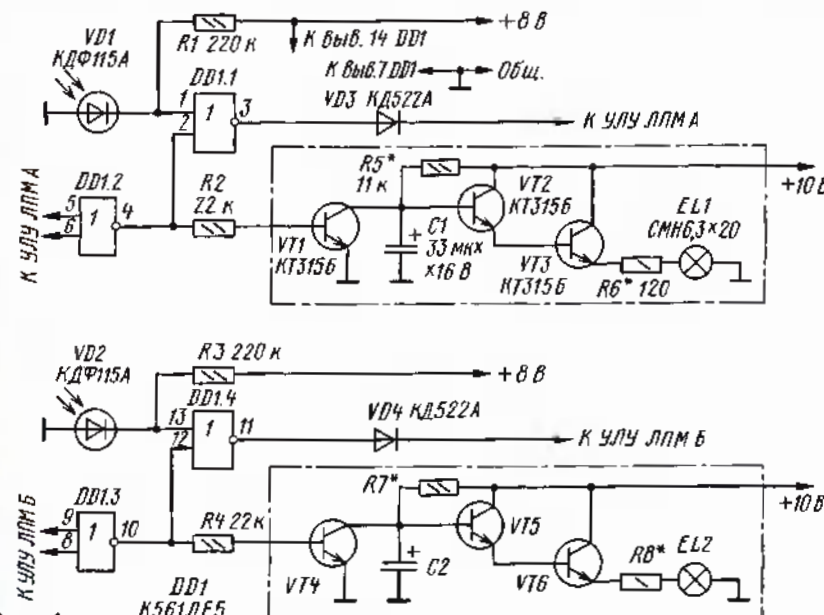


Рис. 1

Скорость срабатывания автостопа ограничена только временем остановки ЛПМ. Реально место склейки ленты с ракордом успевает "проскочить" за фотодатчик на расстояние 5...70 мм. Это зависит от направления, на одном из входов элемента DD1.2 появляется

лампы EL1 через составной транзистор VT2, VT3. Это — исходный режим.

При включении режима перемотки, в зависимости от направления, на одном из входов элемента DD1.2 появляется

лог. 1, в результате низкий уровень на выводе 2 элемента DD1.1 разрешает управление от фотодиода VD1 и закрывает транзистор VT1. Конденсатор C1 начинает заряжаться; его время зарядки зависит от сопротивления резистора R5 и собственной емкости. Напряжение на базе транзисторов VT2, VT3 увеличивается, и лампа плавно включается. В режиме перемотки при появлении прозрачного участка ленты (ракорда) между элементами EL1 и VD1 оптопары резко увеличиваются ток через фотодиод, и напряжение на входе микросхемы понижается до уровня лог. 0. При этом на выходе DD1.1 появляется высокий уровень, который через диод VD3 переключает ЛПМ

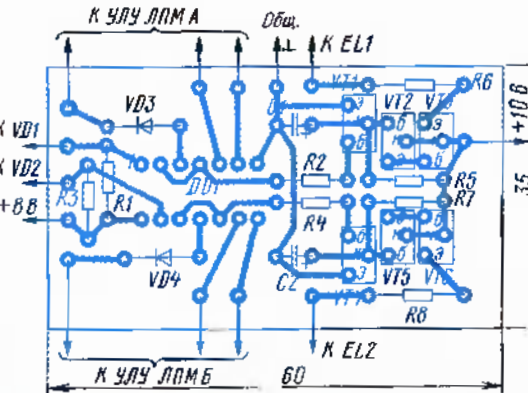


Рис. 2

рис. 2. Эта плата хорошо размещается сверху над электродвигателем (фото на рис. 3). Соединительные провода от платы проложены по трассам прокладки проводов к соответствующим ЛПМ. Приспособилось только просверлить отверстие диаметром 10 мм в крайней части металлической рамки крепления платы управления ЛПМ, чтобы просунуть провода на сторону печатного монтажа и подложить их к дорожкам (фото на рис. 4).

На ЛПМ (фото на рис. 5) миниатюрную лампу 1 оптопары устанавливают на небольшой стойке так, чтобы она входила в отверстие компакт-кассеты рядом с отверстием для тоннеля. На плате управления 2

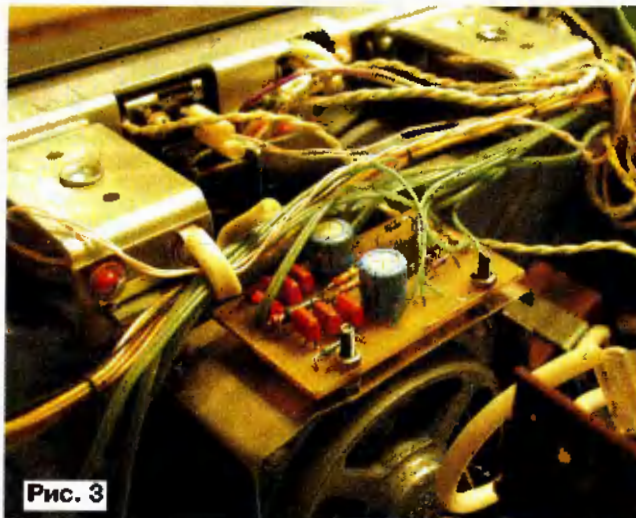


Рис. 3

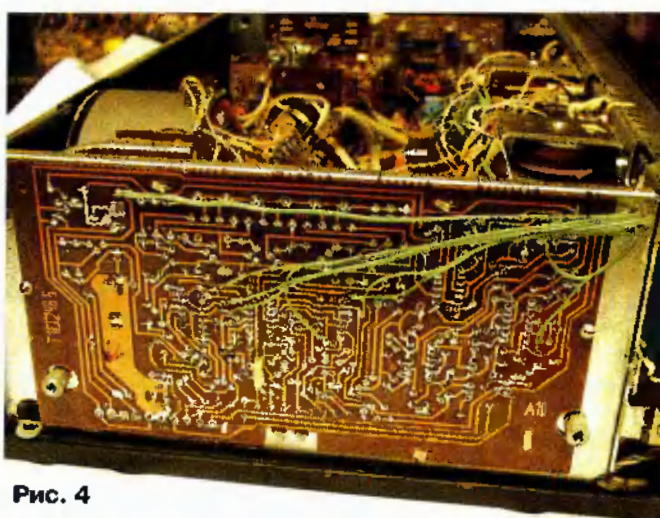


Рис. 4

А в режим "Стоп". На выводах 5 и 6 элемента DD1.2 опять появляются лог. 0, транзистор VT1 открывается, разряжая конденсатор C1, и лампа гаснет.

Элементы микросхемы DD1.3 и DD1.4 с аналогичной функцией управляют вторым ЛПМ.

Для управления дополнительной микросхемой автостопа использованы логические сигналы с платы устройства логического управления (УЛУ) (см. таблицы состояний логических микросхем на заводской схеме магнитофона). Логические сигналы режимов перемотки ЛПМ А снимаются с выводов 6 и 10 микросхемы D1; аналогичные сигналы управления ЛПМ Б снимаются с вывода 10 микросхемы D2 и вывода 9 микросхемы D3. Сигналы

на перевод ЛПМ в режим "Стоп" с выводов дополнительной микросхемы DD1 (через диоды VD3 и VD4) подаются на плату УЛУ соответственно к выводам 5, 8, 11 микросхемы D1 (для ЛПМ А), а также к выводам 13 D2 и 1, 13 D3 (для ЛПМ Б).

В магнитофоне напряжение 8 В, предназначенное для платы УЛУ магнитофона, используется для дополнитель-

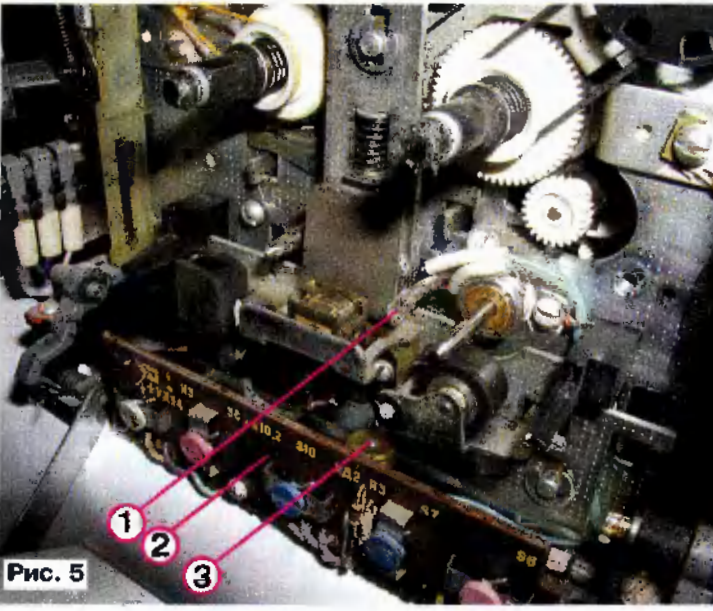


Рис. 5

ной микросхемы автостопа, а напряжение 10 В — для накала лампочек вводимых в магнитофон оптопар.

В качестве фотодатчика можно применить и другие фотодиоды серии КДФ115 или зарубежные аналоги подходящих размеров.

Возможный вариант дополнительной печатной платы автостопа показан на

соответствующего ЛПМ закрепляют фотодиод 3, он "видит" свою лампочку через маленькое отверстие с рабочего торца кассеты между магнитной головкой и прижимающим роликом.

При регулировке устройства нужно сначала добиться необходимых логических уровней на входе (выход 1) элемента DD1.1 корректировкой положения оптопары при переходе ее от затемнения к защите через ракорд. Затем подбором резистора R6 установить яркость свечения лампы, при которой оптопарой четко различаются рабочий слой ленты и ракорд. Проверить это нужно на кассетах с разными лентами и ракордами, чтобы установить оптимальный порог срабатывания. И в последнюю очередь подбирают резистор R5 так, чтобы за время накаливания лампы EL1 успевал пройти ракорд в начале ленты.

Регулировка оптоэлектронного автостопа в ЛПМ Б производится аналогично. В двух каналах управления подобранные резисторы оказались с равными номиналами.

Редактор — А. Соколов, графика — Ю. Андреев, фото — автора

Измерить параметры антенны? Совсем несложно!

В. ПОЛЯКОВ, г. Москва

Правильно определенные параметры антенны в системе радиоприема — основа возможности успешного приема удаленных радиостанций. Но не всегда у радиолюбителя могут оказаться под рукой необходимые средства для подобных измерений. В данной статье автор предлагает использовать несложный метод, при котором получаются вполне приемлемые результаты.

Подвесив наружную проволочную антенну, любитель радиоприема на длинных и средних волнах (ДВ и СВ) часто задается вопросом: а каковы же ее параметры? Основных параметров два — это сопротивление потерь системы антenna—заземление r_n и собственная емкость антенны относительно той же земли C_d . От этих параметров зависит эффективность работы антенной системы, а следовательно, и возможность приема дальних станций, питания приемного устройства "свободной энергией" сигналов, принятых из эфира, настройки антенной системы на разные частоты и т. д.

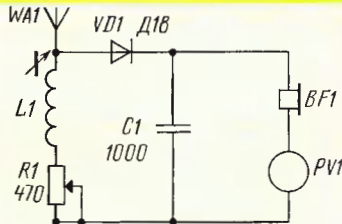


Рис. 1

Антенные измерения — это "терра инкогнита" для большинства радиолюбителей, и не только начинающих. Все известные методы требуют наличия мощного высокочастотного генератора и измерительного моста — аппаратуры, редко встречающейся у радиолюбителей. Часто эти два прибора объединяют, образуя фидерный или антенный омметр (так их называют), используемый, например, при настройке и регулировке антенн передающих радиоцентров [1]. Мощный генератор ВЧ нужен потому, что на открытой "всем ветрам" антenne велико напряжение самых разных наводок, в том числе и от сигналов других радиостанций, мешающих измерениям.

В предлагаемом способе измерения генератор вообще не нужен. Мы будем измерять параметры антенны, пользуясь сигналами из эфира, благо их там предостаточно. Надо ли изготавливать специальный прибор или стенд для измерений? Это — по желанию. Учитывая, что антенны меняют не каждый день, не составит большого труда собрать простенькие измерительные цепи прямо на рабочем столе или на подоконнике, не используя даже макетных плат.

Измерение сопротивления потерь. Понадобятся ферритовый стержень от магнитной антенны с парой катушек, желательно ДВ и СВ диапазонов, переменный резистор сопротивлением 0,47...1 кОм (обязательно непроволочный

ный), любой германевый маломощный высокочастотный диод и вольтметр постоянного тока с высоким внутренним входным сопротивлением (не менее 0,5...1 МОм). Для идентификации принимаемых радиостанций "на слух" полезно иметь и высокомомные телефоны.

Собираем устройство по схеме рис. 1 и, перемещая стержень в катушке магнитной антенны, настраиваемся на частоту сигнала мощной местной радиостанции. Переменный резистор R1 при этом надо установить в положение нулевого сопротивления (переместить движок в верхнее по схеме положение). Момент точной настройки контура в резонанс с частотой радиостанции будет отмечен максимальным отклонением стрелки измерителя и наибольшей громкостью в телефонах. Включенные последовательно с вольтметром телефоны практически не влияют на его показания, в то же время громкость не слишком велика. Для ее увеличения на время идентификации радиостанции вольтметр можно замкнуть, переключить на низший предел измерения, где его сопротивление меньше, или включить параллельно

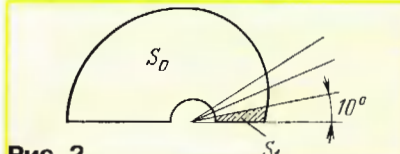


Рис. 2

вольтметру конденсатор емкостью порядка 0,05...0,1 мкФ, чтобы пропустить к телефонам звуковые частоты (при включении такого конденсатора звук может несколько искажиться из-за неравенства нагрузки детектора на звуковых частотах и на постоянном токе).

Отметив показания вольтметра (U_1) и не изменяя настройки контура, движок переменного резистора R1 переместить до тех пор, пока показания вольтметра не уменьшатся вдвое (U_2). При этом сопротивление резистора будет равно сопротивлению потерь антенной системы на данной частоте. Те же измерения можно провести и на других частотах.

Сопротивление резистора измеряют омметром, отключив его от измерительной цепи. При отсутствии омметра надо оснастить резистор ручкой с визиром и шкалой, которую проградуируют в омах по образцовому прибору.

Пользуясь приведенной методикой, удается выбрать, например, наилучший вариант заземления. В городских условиях возможны такие варианты: трубы

водопровода, трубы отопления, арматура ограждения балкона и т. д., а также различные их сочетания. Ориентироваться следует на максимальный принимаемый сигнал и минимальное сопротивление потерь. В загородном доме, кроме "классического" заземления, рекомендуется попробовать водозаборную скважину или трубы водопровода, металлическую сетку-ограду, крышу из оцинкованной жести или любой другой массивный металлический предмет, даже если он и не имеет контакта с настоящей землей.

Измерение емкости антенны.

Вместо переменного резистора теперь понадобится включить КПЕ (любого типа) с максимальной емкостью 180...50 пФ. Желательно иметь еще и измеритель емкости с пределом измерения десятки—сотни пикофарад. Автор пользовался цифровым измерителем емкости "Мастер-С" [2], любезно предоставленным его конструктором.

Если измерителя емкости нет, надо поступить так же, как и с резистором — оснастить КПЕ шкалой и проградуировать ее в пикофарадах. Это удается сделать и без приборов, ведь емкость пропорциональна площади введенной части пластины. Нарисуйте форму роторной пластины на миллиметровой бумаге (чем крупнее, тем точнее будет градуировка), разделите чертеж на секторы через 10 угловых градусов и сосчитайте по клеточкам площадь каждого сектора и всей пластины S_0 . На рис. 2 заштрихован первый сектор с площадью S_1 . У соответствующей ему первой риски шкалы надо поставить емкость

$$C_1 = C_{\max} S_1 / S_0 \text{ и т. д.}$$

Если роторные пластины имеют полукруглую форму (прямоемкостный конденсатор), шкала получается линейной и тогда не надо делать чертежей и считать площади. Например, КПЕ с твердым дизлэктриком из набора для детского творчества имеет максимальную емкость 180 пФ. Достаточно разбить шкалу на 18 секторов по 10 град. и поставить около делений 10, 20 пФ и т. д. Пусть точность будет и невысокой, для наших целей ее достаточно.

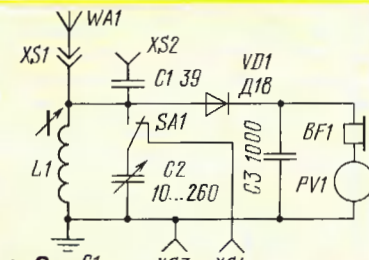


Рис. 3

Отградуировав КПЕ, собираем установку по схеме рис. 3. Подключив антенну к гнезду XS1 и отключив КПЕ переключателем SA1, настраиваем контур, образованный емкостью антенны и катушкой L1 на частоту радиостанции. Не трогая большую катушку, переключаем антенну в гнездо XS2 и подключаем к контуру конденсатор C2 (наш КПЕ) переключателем SA1. Снова настраиваемся на ту же частоту, теперь уже с помощью C2. Определяем его емкость C_x по шкале или с помощью измерителя

емкости, подключенного к гнездам XS3, XS4 (переключив для этого SA1 в показанное на схеме положение). Осталось найти емкость антенны C_A по формуле $C_A = C_2(1 + \sqrt{1 + 4C_1/C_2})/2$.

Смысл наших манипуляций в следующем: когда мы подключили антенну через конденсатор связи C_1 , общая емкость контура стала меньше, и чтобы ее восстановить, пришлось добавить емкость C_2 . Вы и сами можете вывести приведенную формулу исходя из равенства емкости антенны C_A (в первом случае) и сложной контурной емкости $C_2 + C_A C_1 / (C_A + C_1)$ во втором случае. Для повышения точности измерений емкость конденсатора связи желательно выбирать поменьше, в пределах 15...50 пФ. Если емкость конденсатора связи намного меньше емкости антенны, то и расчетная формула упрощается: $C_A = C_2 + C_1$.

Эксперимент и его обсуждение. Автор измерял параметры имевшейся на даче антенны такого вида: провод ПЭЛ 0,7 длиной 15 м, который протянут к коньку крыши и в сторону от дома к соседнему дереву. Наилучшим "заземлением" (противовесом) оказалась изолированная от земли водонагревательная колонка с небольшой сетью труб и бата-

ности не хватало, рядом с магнитной антенной помещался еще один ферритовый стержень, параллельно первому.

Результаты измерений сведены в таблицу. Они нуждаются в небольших комментариях. Прежде всего, бросается в глаза, что на разных частотах и сопротивление потерь и емкость антенны разные. Это вовсе не ошибки измерений. Рассмотрим сначала частотную зависимость емкости. Если бы провод антенны не обладал еще и некоторой индуктивностью L_A , значения емкости были бы одинаковыми. Индуктивность провода включена последовательно с емкостью антенны, как видно из эквивалентной схемы антенной цепи, показанной на рис. 4.

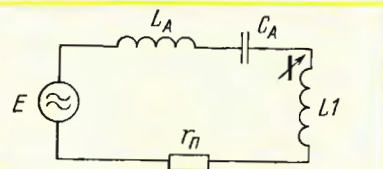


Рис. 4

Влияние индуктивности оказывается сильнее на высоких частотах, где индуктивное сопротивление возрастает и частично компенсирует емкостное сопротивление. В результате общее реактивное сопротивление антенны уменьшается, а измеренная емкость становится больше. У антенны есть собственная частота f_0 — резонансная частота контура $L_A C_A$, на которой реактивное сопротивление обращается в нуль, а измеренное значение емкости будет стремиться к бесконечности. Соответствующая этой частоте собственная длина волны антенны λ_0 примерно равна учетверенной длине провода антенны и обычно попадает в интервал диапазона КВ.

Собственную частоту можно рассчитать по данным измерений емкости на двух произвольных частотах, но формулы получаются слишком сложными. Для своей антенны автор получил $C_A = 85$ пФ, $L_A = 25$ мкГн и f_0 — около 3,5 МГц. Для приближенных оценок можно считать, что каждый метр провода антенны (вместе со снижением) вносит индуктивность около 1...1,5 мкГн и емкость около 6 пФ.

Сопротивление потерь при достаточно добротной катушке L_1 состоит в основном из сопротивления заземления. Оно, в свою очередь, рассчитывается по эмпирической (полученной на основании опытных данных) формуле М. В. Шуйкина [3]: $r_p = A\lambda/\lambda_0$. Здесь A — постоянный коэффициент, зависящий от качества заземления, с разноточностью в омах. Для хороших заземлений A составляет единицы и даже доли ом. Как видим, сопротивление потерь возрастает с увеличением длины волны (понижением частоты), что и подтверждено данными таблицы. Зависимость сопротивления потерь от частоты обнаружили еще в начале прошлого века, однако подробного объяснения этого эффекта в литературе автор не встречал.

В связи с этим многие данные, полученные радиолюбителями при измерении параметров своих антенн, могут оказаться весьма полезными.

ЛИТЕРАТУРА

1. Фрадин А. З., Рыжков Е. В. Измерение параметров антенн. — М.: Связьиздат, 1962.
2. Андреев В. Простой измеритель емкости "Мастер-С". — Радио, 2002, № 1, с. 50—52; № 2, с. 51—53; № 3, с. 52—54.
3. Белоцерковский Г. Б. Антенны. — М.: Оборонгиз, 1956.

Редактор — Е. Карнаухов, графика — Ю. Андреев

Частота радиостанции, кГц	549	873	1305
Напряжение сигнала, В	8	21	19
Сопротивление потерь	400	120	60
r_p , Ом			
C_2 , пФ	110	125	142
Емкость антенны C_A , пФ	86	94	103

рей местного отопления. Все измерения проведены в СВ диапазоне с использованием стандартной СВ катушки магнитной антенны от транзисторного приемника. Если для настройки на низкочастотном краю диапазона индуктив-

Беспроводное прослушивание стереозвукового сопровождения

А. ЛЮПАЕВ, г. Новочебоксарск, Чувашия

В журнале опубликовано немало описаний несложных конструкций для беспроводного прослушивания звукового сопровождения различной аппаратуры, все они обеспечивают передачу монофонических сигналов. Автор данной статьи предлагает простое и удобное в исполнении решение этой задачи для стереофонического режима.

В процессе эксплуатации компьютера потребовалось обеспечить возможность прослушивания звукового сопровождения в стереорежиме в пределах квартиры. Условия не позволили использовать проводной вариант, поэтому он был исключен сразу.

При поисках решения задачи через Интернет обратила на себя внимание одна интересная специализированная микросхема фирмы ROHM — BA1404. Микросхема представляет собой готовый УКВ стереомикропредатчик в корпусе DIP18 или SOP18. И поиски ее в магазинах довольно быстро увенчались успехом — в одной московской торгующей организацией микросхема была приобретена за цену, эквивалентную всего 1,2 долл. США.

Вот некоторые параметры микросхемы: напряжение питания — 1...2 В; ток потребления — 3...5 мА; диапазон рабочих частот — 75...108 МГц; выходная мощность — не более 12 мВт (для конкретно приобретенной BA1404F — 4,5 мВт).

Устройство, схема которого приведена на рис. 1, было собрано практически без каких-либо серьезных изменений по сравнению с типовой для данной микросхемы, рекомендованной производителем.

Устройство монтируют на печатной плате (рис. 2) размерами 50×75 мм, которую изготавливают из фольгиированного с обеих сторон стеклотекстолита толщиной 1...1,5 мм. Фольга со стороны деталей использована в каче-

стве общего провода. Отверстия под выводы деталей, не соединяющихся с общим проводом, раззенкованы со стороны деталей. Неиспользуемые под установку деталей и нераззенкованные со стороны их установки отверстия предназначены для соединения общих проводов обеих сторон платы, в них запаиваются отрезки луженого провода. Выводы элементов, соединенных с общим проводом, также пропаиваются с обеих сторон. Резисторы устанавливаются перпендикулярно относительно печатной платы.

В качестве корпуса была использована пластмассовая коробка из-под канцелярских кнопок размерами 55×80 мм с установленным на ней выключателем типа ПД9-1. В качестве источника питания использован один элемент типа АА.

Все резисторы — МЛТ-0,125. Оксидные конденсаторы — K50-16, K50-35, остальные — KM-6, K10-17 или аналогичные импортные малогабаритные. Кварцевый резонатор на частоту 38 кГц (килогерц!).

Катушки L1 и L2 бескаркасные. L1 содержит 8 витков провода ПЭВ-2 диаметром 0,8 мм, L2 — 5 витков провода ПЭВ-2 0,8 мм, намотанных на оправке диаметром 4 мм. Катушку L2 обязательно залить парафином (для уменьшения "микрофонного" эффекта).

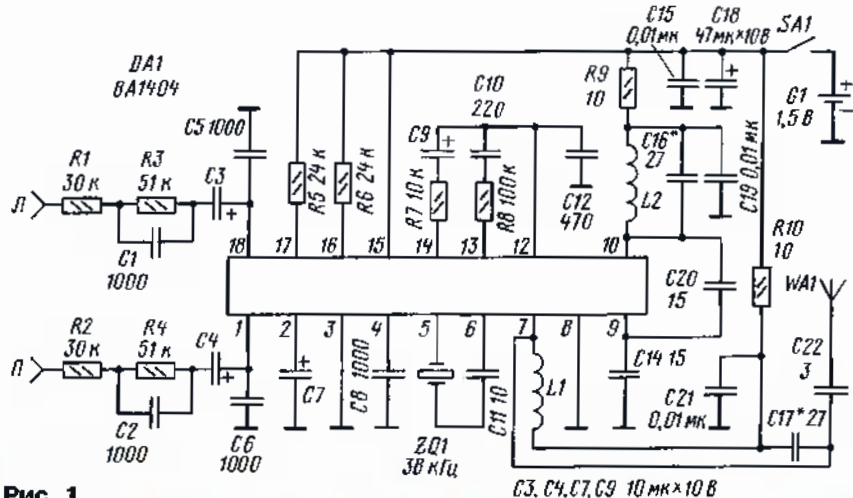


Рис. 1

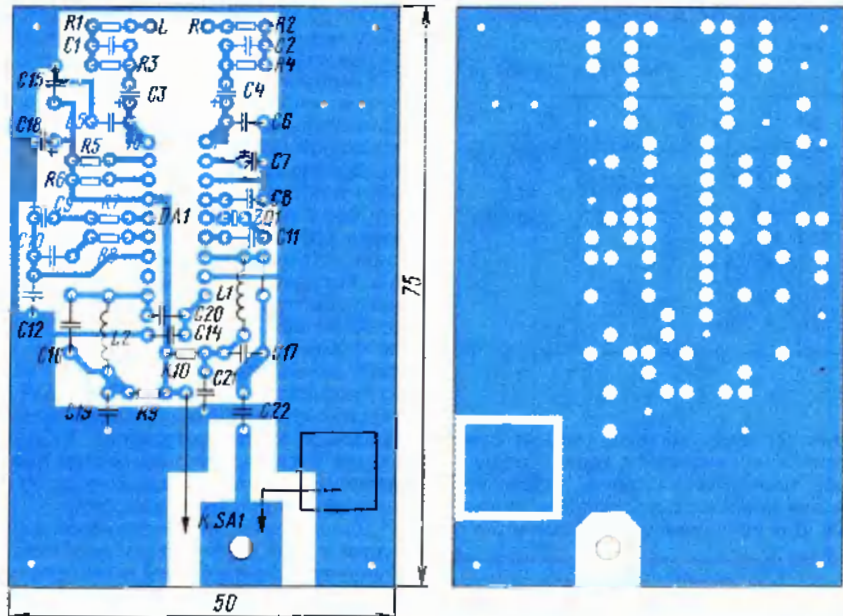


Рис. 2

При необходимости в устройство можно ввести регулятор баланса. Для этого из устройства удаляют резисторы R5 и R6 и подключают переменный резистор сопротивлением 47–51 кОм. Крайние выводы переменного резистора подключают к выводам 16 и 17 микросхемы DA1, а движок этого резистора соединяют с глоупом источника питания.

В качестве антенны WA1 применена телескопическая антenna заводского изготовления длиной 42 см, имеющая для крепления резьбу M3. Антenna закреплена к контактной площадке на печатной плате через отверстие в плате диаметром 3,2 мм с помощью винта M3.

Налаживание передатчика состоит в установке требуемой частоты передачи. Подав звуковой сигнал на вход устройства, сжимая или растягивая витки катушки L2, устанавливают требуемую частоту передачи. При этом контролировать частоту передатчика удобно радиоприемником, имеющим цифровой тюнер. При данных параметрах катушки L2 частота передатчика составила 87,9 МГц (частота, разрешенная для систем "караоке").

Микромошное передающее устройство применялось для трансляции звукового сигнала от различных источников (линейного выхода звуковой платы компьютера, линейного выхода видеомагнитофона со стереозвуком, линейного выхода звука телевизора) и показало прекрасные результаты. В качестве приемника были использованы радиоприемник РНЦПС-2140 и музикальный центр LG-217. Сигнал был воспроизведен без каких-либо искажений и на слух ничем не отличался от сигналов радиовещательных УКВ радиостанций в этом же диапазоне.

Было собрано два экземпляра этого устройства, которые начинали работать сразу же без каких-либо настроек (разумеется, за исключением установки частоты передачи). Дальность действия составляла 10–15 м по прямой видимости.

Редактор – Е. Карнаухов, графика – Ю. Андреев

УВАЖАЕМЫЕ ЧИТАТЕЛИ!

Подписавшиеся по индексу 70772 при несвоевременной доставке журнала могут обращаться в Агентство "Роспечать":

Тел. (095) 785-14-67;
E-mail: ech@apr.ru.

Подписавшиеся по индексу 89032 могут обращаться в ОАО "АРЗИ":
Тел.: (095) 443-79-01; 280-95-93.

В редакции журнала "Радио" можно приобрести журналы, перечисленные в таблице.

Деньги за интересующие Вас журналы нужно переводить на расчетный счет (получатель ЗАО "Журнал "Радио", р/с 40702810438090103159 в Сбербанке России г. Москва, Мещанская ОСБ № 7811, к/с 30101810400000000225,

Год выпуска	Номер журнала	Стоимость одного номера в редакции, руб.	Стоимость одного номера с пересылкой	
			по России	по СНГ
2000	7–9, 11	10 руб.	20,00	50,20
2001	3–6, 10	10 руб.	20,00	50,20
2002	2–7; 9–12	12 руб.	22,00	52,00
2003	1–6	27 руб.	37,00	68,00
2003	7–11	28 руб.	38,00	69,00
2004	С 1	31 руб.	41,0	71,0

БИК: 044525225, ИНН: 7708023424.
Почтовый индекс банка 101000.

На обратной стороне почтового бланка напишите, за какие журналы Вы переводите деньги и укажите

свой адрес. После того, как деньги поступят на расчетный счет, мы отправим Вам журналы.

Наложенным платежом редакция журналы не высылает!

ГИР с индикатором на светодиоде

В. ГОРБАТЫХ, г. Улан-Удэ

Редко встречающийся в радиолюбительской лаборатории гетеродинный индикатор резонанса можно использовать для оценки резонансной частоты высокочастотного колебательного контура или параметров его компонентов — емкости или индуктивности. Предложенная автором конструкция имеет малые габариты и в сравнении с ГИР с магнитоэлектрическим индикатором более удобна в эксплуатации.

Для определения резонансной частоты колебательного контура в заданном диапазоне или измерения малых значений индуктивности либо емкости можно применить несложный гетеродинный индикатор резонанса (ГИР) со световой индикацией. Его схема показана на рис. 1.

Для повышения чувствительности ГИР желательно подобрать полевой транзистор VT2 (КП303Б) с минимальным напряжением отсечки.

В качестве корпуса был использован луженый жестяной корпус от батареи "Крона". Для установки переменного резистора R2 в центре верхней (по

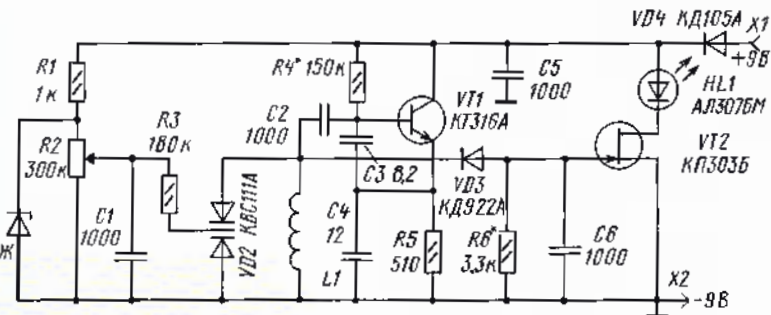


Рис. 1

Генератор ВЧ собран на высокочастотном транзисторе КТ316А с резонансным контуром по схеме емкостной трехточки. Рабочий диапазон частот — 110...170 МГц. Перестройку частоты генератора осуществляют изменением напряжения на вариаке VD2 переменным резистором R2. При работе ненагруженного генератора выпрямленное диодом VD3 напряжение закрывает полевой транзистор VT2, ток через него мал и светодиод не светится. Если катушку L1 генератора поместить в непосредственной близости к катушке колебательного контура, то при настройке ГИР в резонанс с внешним колебательным контуром потери, вносимые этим контуром, увеличиваются настолько, что закрывающее напряжение на затворе VT2 заметно уменьшается. Светодиод начинает светиться, индицируя совпадение частоты настройки связанных контуров.

Диапазон частот генератора можно изменить в некоторых пределах соответствующим выбором индуктивности катушки L1 или применением другого вариака. Однако следует иметь в виду, что при увеличении числа витков катушки увеличивается и собственная (межвитковая) емкость, ограничивающая диапазон перестройки генератора.

Питание для ГИР можно использовать от батареи гальванических элементов с напряжением 9 В или иного внешнего блока питания. Специальный выключатель питания в приборе не предусмотрен.

рис. 2) части корпуса сверлят отверстие и ножницами от края к этому отверстию делают прорезь. После установки резистора эту прорезь запаивают. Для вращения оси переменного ре-

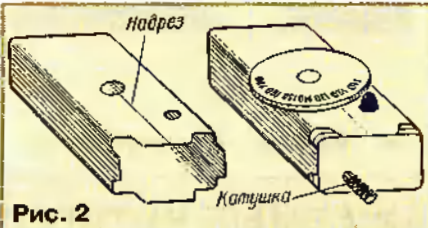


Рис. 2

зистора использовано подходящее пластмассовое зубчатое колесико, на котором удобно нанести цифровую шкалу частоты настройки ГИР. Светодиод HL1 устанавливают рядом с колесиком таким образом, чтобы он выполнял роль риски для отсчета частоты настройки. Для повышения точности отсчета корпус индикатора можно обточить надфилем для придания ему треугольной формы (как у светодиодов серий КИПМ06, КИПМ07, которые также можно применить в этой конструкции).

Практически все детали монтируют на небольшой плате, устанавливаемой внутри корпуса. Элементы VD1, VD4, R1, R2 и светодиод HL1 монтируют непосредственно в корпусе.

Катушка L1 состоит из четырех витков провода ПЭЛ 0,45, намотанного на

оправке диаметром 3 мм. Эту катушку припаивают с наружной стороны платы (корпуса) таким образом, чтобы расстояние между катушкой и корпусом ГИР было около 15 мм.

Монтаж устройства производят в следующем порядке. В корпус устанавливают платку разъема батареи с припаянным диодом VD4, которую фиксируют припыванием отрезков медного провода. Затем устанавливают переменный резистор с припаянными к нему элементами R1 и VD1. В корпус вклеивают светодиод. Плату устанавливают на место после настройки, и припаивают соответствующие выводы.

При настройке устройства подбором резистора R4 в цепи смещения VT1 добиваются устойчивой генерации во всем диапазоне частот. Далее при крайнем нижнем (по схеме) положении движка переменного резистора подбором резистора R6 в цепи затвора полевого транзистора КП303Б достигают минимальной яркости свечения светодиода.

Калибровку производить лучше с помощью образцового частотомера или колебательных контуров с известной резонансной частотой. Значение частоты выцарапывают шилом на пластмассовом колесике переменного резистора.

Перед измерением к клеммной колодке ГИР подсоединяют батарею или иной источник питания с напряжением 9 В. Катушку L1 приближают к испытуемому контуру и вращают колесико до возникновения свечения индикатора HL1, напротив которого и считывают частоту резонанса.

Работоспособность ГИР можно проверить введением металлического предмета внутрь катушки L1. В этом случае также возрастает расход энергии контура, о чем немедленно сообщит загорание индикатора HL1.

Для определения индуктивности катушки к ней параллельно припаивают конденсатор с известной емкостью, образуя "пробный" контур. Катушку прибора приближают к проверяемой катушке, и вращением колесика добиваются зажигания индикатора настройки, после чего по шкале определяют частоту резонанса. Индуктивность испытуемой катушки L₁ находят из известных значений частоты резонанса F и емкости конденсатора C по формуле

$$L = 25330 / (C \cdot F^2)$$

где L — индуктивность катушки в мкГн; C — емкость образцового конденсатора в пФ; F — частота в МГц.

Оценку емкости конденсатора производят аналогично. Собирают колебательный контур из испытуемой емкости C, и образцовой индуктивности L с помощью прибора определяют его резонансную частоту F. Емкость вычисляют по формуле

$$C = 25330 / (L \cdot F^2)$$

Особенно эффективно ГИР можно использовать для определения индуктивности катушек в доли микрогенри. Например, катушка из восьми витков медного провода ПЭЛ 0,45 мм, намотанного на резьбовой части используемого как оправка винта М3, имеет индуктивность 0,1 мкГн.

Редактор — А. Соколов, графика — Ю. Андреев

Грозозащита локальных сетей

Д. МАЛОРОД, г. Ковров Владимирской обл.

Одна из проблем, с которой приходится сталкиваться разработчикам локальных компьютерных сетей, — обеспечение стойкости сетевого оборудования к различным внешним воздействиям. Особая роль отведена устройствам грозозащиты. С развитием "домашних сетей" эта проблема становится по-настоящему острой, поскольку немалая доля оборудования выходит из строя по вине статического электричества.

Тема устройства грозозащиты традиционно является одной из наиболее обсуждаемых среди радиолюбителей и профессионалов и окутана разного рода мифами и неточностями. В предлагаемой статье дается ответ на вопрос: возможно ли противостоять слишком мощному для аппаратуры воздействию грозовых разрядов, и определены пути и методы защиты активного оборудования.

Попытки защиты от грозовых разрядов были известны задолго до нашей эры. Во время археологических раскопок в Египте найдены надписи на стенах разрушенных храмов, из которых следует, что установленные вокруг храмов мачты служили для защиты от "небесного огня".

Колебательный характер грозового разряда был доказан еще до экспериментальных работ Г. Герца. Важным оказался тот факт, что, кроме значительного электростатического потенциала, вызванного перемещением с большой скоростью капель воды, пылевых частиц и кусочков льда, грозовой разряд действует как мощный радиопередатчик, порождающий сильное электромагнитное излучение. Спектральный состав этого излучения лежит в диапазоне от нескольких герц до десятков килогерц, наибольшая плотность которого находится в районе 5...8 кГц. По этой причине трансформаторная развязка устройств от информационных линий, выполненных витой парой (ЛВВП), нередко оказывается бессильной. Помеха огромной мощности проходит через развязывающий трансформатор, не разрушая его, но повреждая электронику.

Исследования показали, что длительность таких импульсов может составлять от 1 до 500 мкс и более, а напряжение — от сотен вольт до десятков киловольт. В результате длительных исследований различными лабораториями мира были получены усредненные параметры импульсов грозовых разрядов. На линиях электропередач и телефонии длиной, измеряемой километрами, возможны импульсы напряжения до 20...25 кВ и тока до 10 кА. В более коротких линиях, длиной в сотни метров, наводятся импульсы напряжения до 6 кВ и тока до 5 кА, а в линиях, проходящих внутри зданий, — до 6 кВ и до 500 А.

По статистике, опубликованной на сайте <<http://nag.ru/goodies/book/2ch4-4.html>>, процент "выживания" оборудования, которое подключено к воздушным линиям, выполненным неэкранированной витой парой, составляет всего 50 %. Цифры, полученные автором при обслуживании локальной сети одного из предприятий, в целом полностью подтверждают сказанное.

А выход из строя аппаратуры, подключенной к линиям из коаксиального кабеля, не редкость даже внутри кирпичных зданий. На подобных воздушных линиях оборудование без специальных мер защиты практически "не живет".

Сразу заметим, что стопроцентной защиты от подобного рода воздействий не существует, но минимизировать потери, исходя из разумного компромисса между стоимостью, сложностью и эффективностью устройств защиты, несомненно, можно. Конечно, неглохо использовать "классические" методы: переход на оптоволоконные кабели, отказ от открытых линий, экранирование кабельной системы, но порой все это оказывается недоступно для средних и мелких сетей вследствие высокой стоимости и сложности монтажа.

Итак, рассмотрим основные причины выхода из строя оборудования во время грозы.

1. Образование статического электричества на кабелях и аппаратуре в результате влияния неподвижных зарядов, накопленных в грозовом облаке.

Наиболее подвержены влиянию статических зарядов воздушные линии. Причем значительный заряд может также накапливаться в сухую погоду зимой во время снегопада и летом во время так называемых "песчаных метелей". Основной метод защиты — обеспечение отвода статического электричества с помощью заземления экрана и (или) проводящей траверсы и установки на обоих концах кабеля разрядников. Здесь на первое место выходит правильность выполнения заземления и надежность разрядников, к которым предъявляются высокие требования по отводу значительного тока.

2. Наведение в кабельной системе импульсов высокого напряжения, которые возникают в результате воздействия мощного электромагнитного поля, порожденного грозовыми разрядами.

Если применяемая ЛВВП не экранирована, в результате воздействия мощной электромагнитной волны на каждом шаге скрутки наводится небольшое напряжение, в пределах нескольких милливольт. Если ЛВВП изготовлена идеально и площадь контуров одинакова, суммарная наведенная ЭДС близка

к нулю. Реально же шаг скрутки далеко не одинаков, поэтому полной взаимной компенсации элементарных ЭДС не происходит, и чем длиннее кабель, тем выше может быть напряжение между проводниками одной пары в результате электромагнитного импульса, создаваемого молнией. Это напряжение может достигать нескольких сотен вольт.

Основной метод защиты — экранирование, установка на концах кабеля устройств защиты, выравнивающих потенциалы, при которых максимальное напряжение между любыми двумя проводами в кабеле не превышает 7...10 В. Потенциал, превышающий сотни вольт относительно земли, снижает разрядник.

3. Броски напряжения питающей сети.

Это довольно часто встречающаяся причина выхода из строя оборудования "Целиком". В сети 220 В нередко происходят броски напряжения до нескольких тысяч вольт. Причины тому — срабатывание предохранителей на подстанции, разряд молнии, помеха от других мощных потребителей энергии.

Традиционные методы защиты — повышение надежности штатных источников питания, применение источников бесперебойного питания и устройств защиты от повышения напряжения в сети.

4. Изменение потенциала заземляющих устройств.

Оно возникает при близком разряде молнии в поверхность земли. Основная причина выхода из строя аппаратуры — большая разность потенциалов на заземляющих шинах оборудования, установленного на значительном расстоянии друг от друга. В этом случае по кабельным линиям и цепям входов/выходов протекает очень большой уравнивающий ток, который разрушает электронное или электрическое оборудование. Минимизировать потери в этом случае можно, строго соблюдая правила монтажа заземляющих устройств.

Одно из лидирующих позиций по продажам занимают устройства грозозащиты (УГ) для бытового применения ProtectNet фирмы APC. Однако при весьма доступной цене и внешней привлекательности эти УГ для ЛВВП не лишены недостатков. Примененные в них металлоксидные варисторы, хотя и обладают высоким быстродействием и очень низкой ценой, не способны надежно защитить оборудование на неэкранированных воздушных линиях. Остаточное напряжение на них может в несколько раз превышать предельно допустимое для защищаемой аппаратуры. Это объясняется неидеальной вольт-амперной характеристикой варисторов и зависимостью напряжения от амплитуды импульса тока, протекающего через них. Необходимо также учитывать, что защитные элементы постепенно изменяют свои параметры, деградируют, если через них протекает ток, близкий к предельному. В этом случае у варисторов уменьшается внутреннее сопротивление и они, в конце концов, замыкают защищаемую линию.

Практически через пару лет эксплуатации на воздушных линиях защитные свойства приборов теряются и увеличиваются потери, поэтому становится не-

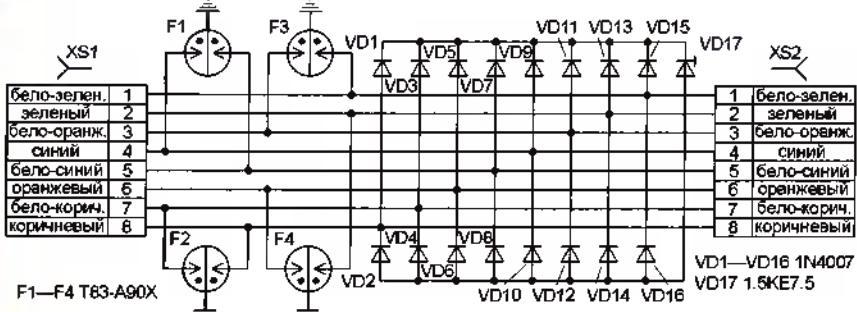


Рис. 1

возможным их применение в высокоскоростных сетях на значительных расстояниях.

Во многих УГ отечественного производства в качестве разрядников используют либо неоновые лампы, либо

отличиями параметров таких приборов от стабилитронов. Например, время срабатывания ограничительного диода не превышает нескольких пикосекунд, а пиковая рассеиваемая мощность (в течение 1 мс) составляет 1500 Вт.

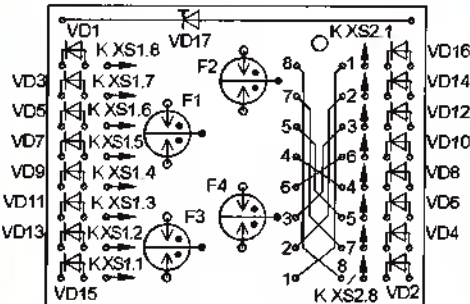
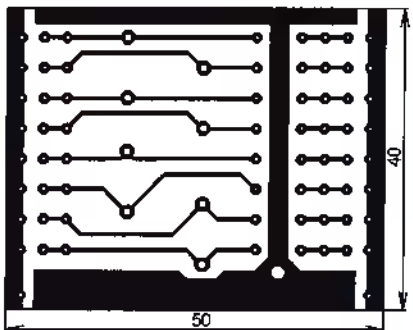
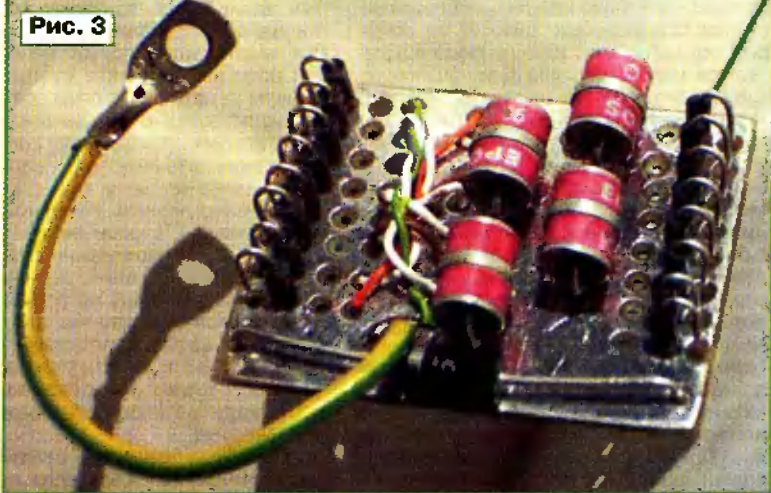


Рис. 2

"неонки" от стартеров ламп дневного света. Это обусловлено в основном низкой стоимостью подобных защитных элементов. На взгляд автора, такое решение не очень удачно, поскольку неоновые лампы обладают большим сопротивлением при пробое и невысоким быстродействием.

Продолжительные испытания неэкранированной ЛВВП 100-мегабитной сети длиной сто метров, протянутой между зданиями, показали, что неплохо справляется со своими обязанностями устройство, схема которого показана на рис. 1. Оно представляет собой многофазный диодный мост на диодах VD1—VD16, в диагональ которого включен защитный диод VD17, ограничивающий напряжение между любыми двумя проводниками линии на уровне около 8 В. Применение ограничительных диодов фирмы Transil обусловлено существенными

удалениями только около выводов деталей, зенкуя отверстия. Средний вывод разрядников припаивают непосредственно к фольге со стороны деталей. Заземляющий проводник вставляют в отверстие диаметром 2 мм и припаивают к обеим сторонам платы. Для уменьшения перекрестных наводок перемычки 1 и 2, 3 и 6, 4 и 5, 7 и 8 можно попарно свить двумя тремя витками. Внешний вид собранной платы УГ показан на рис. 3. Устройство смонтировано в корпусе стандартной двойной розетки RG45B (рис. 4). Поскольку в этой розетке нумерация выводов разъемов XS1 и XS2 перевернута относительно друг друга, пришлось на печатной плате использовать перемычки. В случае другого варианта монтажа УГ перемычки можно исключить. Штатные ножевые разъемы с платы розетки удаляют, а вместо них запаивают изогнутые штыри (рис. 5), на которые монтируют плату УГ (рис. 6).



К разъему XS1 подключают линию, а к разъему XS2 — сетевое оборудование. Кабель, соединяющий УГ с сетевым оборудованием, должен быть минимальной длины. Каждый проводник информационного кабеля соединен с землей через газонаполненные разрядники F1—F4, которые обеспечивают отвод потенциала статического электричества, превышающего 90 В. Специализированные разрядники Epcos T83-A90X допускают прохождение импульсного тока 10 кА длительностью 8/20 мкс, характеристика для грозового разряда. Стандартные разрядники применены исходя только из экономических соображений, вместо них можно использовать любые, удовлетворяющие указанным выше требованиям. Вместо диодов 1N4007 (VD1—VD16) можно использовать любые аналогичные выпрямительные диоды импортного или отечественного производства с допустимым обратным напряжением не менее 1000 В, способные работать на частотах выше 10 кГц.

УГ собрано на печатной плате из двухсторонне фольгированного стеклотекстолита толщиной 1,5 мм. Чертеж печатной платы устройства показан на рис. 2. Фольга на плате со стороны элементов выполняет функцию экрана, ее

Если нет необходимости в защите всех восьми проводников кабеля, УГ можно собрать по упрощенной схеме, показанной на рис. 7. Неиспользуемые проводники соединяют вместе и через

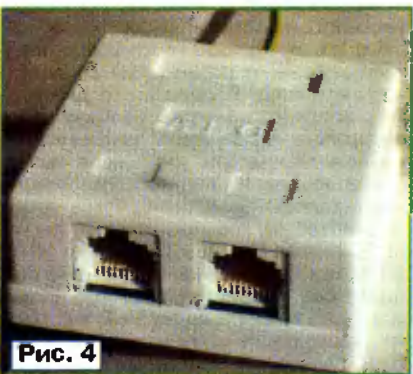
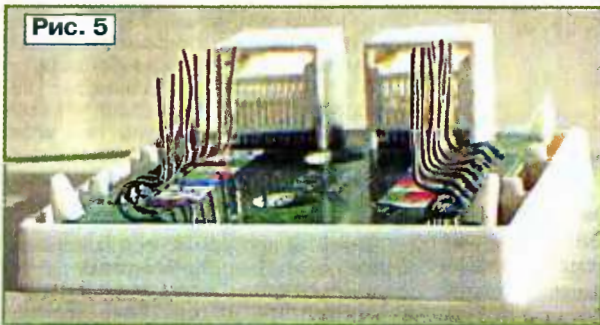


Рис. 4

разрядник F2 (Epcos N81-A90X) подключают к заземлению.

Для защиты источников питания от коротких всплесков напряжения в сети 220 В применяют устройство, схема которого показана на рис. 8. Его включают в разрыв сетевого провода возможно ближе к блоку питания, например, встраивают в сетевую розетку.

Рис. 5



Если длина низковольтной (9...12 В) цепи питания аппаратуры составляет несколько метров и более, например, питание подводят по свободным парам или неэкранированным проводам, то необходимо установить УГ, которое собирают по схеме рис. 8, отличающейся тем, что вместо двух используют только один ограничительный диод 1.5KE18, включенный катодом к глюсу питания. Устройство подключают возможно ближе к активному оборудованию в разрыв низковольтной цепи питания постоянного тока.

Все виды УГ требуют обязательного подключения к заземлению или защитному зануленнию, будем считать, что это, в нашем случае, одно и то же. При его отсутствии все мероприятия по грозозащите практически сводятся к нулю.

Остановимся на основных моментах, касающихся подключения УГ к заземлению. Согласно Правилам Устройства Электроустановок (ПУЭ), электрическая сеть в жилых домах состоит из фазы (L), рабочего нуля (N) и защитного нуля (PE), подключаемого к корпусу распределительного щита на лестничной площадке и среднему контакту розетки в квартире. Если ваш дом построен после 1998 г., то с большой степенью вероятности можно предполагать, что к розеткам защитный нуль подведен. Проверить его наличие можно, подключив лампу на каливания на напряжение 220 В относительно фазы сначала к нулевому проводу, затем к среднему контакту розетки. В обоих случаях лампа должна гореть ярко и ровно, если при подключении лампы к среднему контакту произойдет срабатывание устройства защитного отключения (УЗО) в щите, это лишь подтвердит наличие защитного нуля.

Если же в помещение защитный нуль не подведен, его придется привести самому. Для этого потребуется провод сечением не менее 1,5 мм², чем больше, тем лучше. Один конец провода закрепляют под любой свободный болт шины, соединенной с корпусом распределительного щита, второй соединяют с заземляющим контактом розетки или УГ. Использовать в качестве защитного зануления батарею отопления или водопроводные трубы не допустимо. Одна из причин — высокое сопротивление подобного "заземления". Кроме того, в некоторых случаях потенциал на батарее может быть отличен от нуля, например, если сосед использует трубы в качестве рабочего нуля из-за разрыва нулевого проводника в проводке, что категорически запрещено. И хотя в подвале здания теоретически должна существовать сис-

тема выравнивания потенциалов, на практике встречается всякое.

Если в городских квартирах все более-менее понятно, то владельцам, например, сельских домов непросто определиться с правильным выбором защитного зануления. Обычно в сельские дома напряжение 220 В подводят воздушными линиями электропередачи, и использовать в качестве защитного рабочий нуль опасно. При возникновении аварийной ситуации (обрыв нулевого провода на линии электропередачи, па-

ми заземлителями при количестве ВЛ не менее двух; рельсовые пути магистральных незаэлектрофицированных железных дорог и подъездные пути при наличии преднамеренного устройства перемычек между рельсами".

Также хотелось бы отметить, что согласно ПУЭ "не допускается объединение нулевых рабочих и нулевых защитных проводников различных групповых линий...", т. е. заземлять (занулять) проводящие траверсы, тросы подвеса кабелей и неиспользуемые проводники в ка-

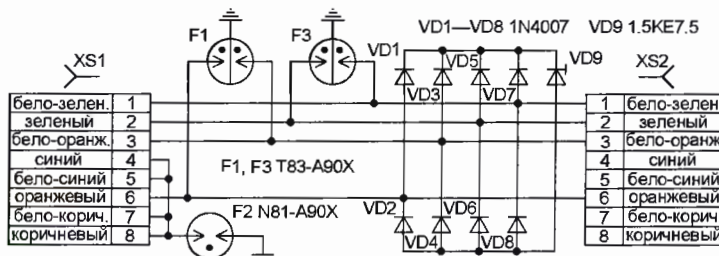


Рис. 7

дение дерева на линию электропередачи и т. д.) на нулевом проводе возможно появление потенциала, отличного от нуля, вплоть до фазного напряжения.

В этом случае в качестве устройства защитного зануления можно использовать естественные заземлители. Пункт 1.7.70 ПУЭ по этому поводу гласит: "В качестве естественных заземлителей рекомендуется использовать: проложенные в земле водопроводные и другие металлические трубопроводы, за исключением трубопроводов горючих жидкостей, горючих и взрывчатых газов и смесей, канализации и центрального отопления; обсадные трубы скважин; металлические и железобетонные конструкции зданий и сооружений, находящиеся в соприкосновении с землей; металлические шунты гидротехнических сооружений, водоводы, затворы и т. п.; свинцовые оболочки кабелей, проложенных в земле. Алюминиевые оболочки кабелей не допускается использовать в качестве естественных заземлителей. Если оболочки кабелей служат единственными заземлителями, то в расчете заземляющих устройств они должны учитываться при количестве кабелей не менее двух; заземлители опор высоковольтных линий (ВЛ), соединенные с заземляющим устройством электроустановки с помощью грозозащитного троса ВЛ, если трос не изолирован от опор ВЛ; нулевые провода ВЛ до 1 кВ с повторны-

ми заземлителями при количестве ВЛ не менее двух; рельсовые пути магистральных незаэлектрофицированных железных дорог и подъездные пути при наличии преднамеренного устройства перемычек между рельсами".

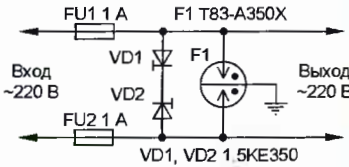


Рис. 8

разность потенциалов между удаленными точками заземления может быть очень большой и при "жестком" заземлении с обоих концов, через кабели и аппаратуру возможно протекание значительного уравнивающего тока.

УГ пытающих и информационных линий, аналогичные описанным, можно использовать не только для защиты ЛВВП, но и телефонных, линий противопожарной и охранной сигнализации, систем видеонаблюдения и прочих, удаленных на расстояние более нескольких десятков метров информационных и пытающих линий активного оборудования, особенно эксплуатируемого на открытом воздухе.

Редактор — В. Чуднов, графика — В. Чуднов,
фото — автора

"Параллельный" программатор для AT89

С. РЮМИК, г. Чернигов, Украина

Широкими возможностями при сравнительной дешевизне внимание радиолюбителей привлекают MSC-51-совместимые микроконтроллеры фирмы Atmel серии AT89C с параллельным интерфейсом программирования. К сожалению, многие распространенные сегодня программаторы для них непригодны. Нужен специализированный. Автору предлагаемой статьи удалось изготавливать такой по рекомендациям фирмы Atmel, но на элементной базе, выпускаемой предприятиями СНГ.

Основная проблема при разработке самодельного программатора — знать и точно соблюдать алгоритмы программирования микроконтроллеров. Многих неожиданностей удается избежать, воспользовавшись схемами и программным обеспечением, публикуемыми фирмами-разработчиками микросхем.

Для загрузки программных кодов в микроконтроллеры AT89C51, AT89C52, AT89C1051, AT89C2051, AT89S8252 фирма Atmel рекомендует устройство, описанное в [1]. Его относительная сложность (семь цифровых и две аналоговых микросхемы) и скромное программное обеспечение, работающее под DOS, с лихвой окупается надежностью программирования с соблюдением всех фирменных алгоритмов.

На рис. 1 приведена схема программатора, отличающегося от "фирменного" в основном элементной базой. Запись в регистры DD2—DD5 информации, поступающей от компьютера по линиям DATA1—DATA8, происходит со спадом импульсов отрицательной полярности на входах C, поступающих от дешифратора DD1. В регистре DD3 и части регистра DD4 хранят 13-разрядный адрес ячейки внутренней памяти микроконтроллера, в DD5 — байт данных, предназначенных для записи в эту ячейку, в DD2 и свободных от адреса разрядах DD4 — коды управления. Цепь R13C1 при включении питания приводит регистр DD2 в исходное состояние, предотвращая случайное искажение содержимого памяти программируемого микроконтроллера.

Шинный формирователь DD6 служит для передачи данных с выходов микроконтроллера на линии DATA1—DATA8. Выходы микросхемы DD6 не должны быть активными, когда LPT-порт работает "на вывод". Это учтено в программе, формирующей разрешающие сигналы на управляющих входах микросхем.

Резисторы R1—R12 уменьшают "звон", сопровождающий перепады сигналов на линиях LPT-порта и защищают его от перегрузок. Когда выходы элементов компьютера, подключенные к линиям порта, и выходы некоторых элементов программатора, в том числе самой программируемой микросхемы, находятся в высокомпедансном состоянии, резисторы наборов DR1—DR3 поддерживают в соответствующих цепях высокий логический уровень.

Программируемые микросхемы устанавливаются в одну из двух панелей: AT89C1051, AT89C2051, AT89C4051 в корпусе DIP-20 — в XS1; AT89C51 и другие в корпусе DIP-40 — в XS2. Кварцевый резонатор ZQ1 частотой 6 МГц с конденсаторами C4 и C5 необходим, чтобы во время программирования работал внутренний тактовый генератор микроконтроллера, установленного в панель XS2. Тем, которые устанавливают в панель XS1, резонатор не требуется. На контакт 5 этой панели поступают тактовые импульсы, сформированные программно.

Питающее напряжение на разъем X1 программатора подаются от внешнего источника. Им может быть, например, сетевой адаптер видеоприставки "SEGA Mega Drive-II". Хотя при номинальной нагрузке (1 А) его выходное напряжение не превышает 11 В, при токе 70...90 мА, потребляемом программатором, оно возрастает до 14...15 В.

Напряжение 5 В для питания микросхем (в том числе программируемой) получают с помощью интегрального стабилизатора DA1. Напряжение на выходе стабилизатора DA2 при низком логическом уровне на выводе 18 шинного формирователя DD7 — 12 В. Точное значение устанавливают подстроечным резистором R21. При высоком логическом уровне на выводе 18 открывшийся транзистор VT2 подключает параллельно R21 еще один подстроечный резистор R19, что уменьшает выходное напряжение стабилизатора DA2 до 5 В.

Скорость нарастания напряжения на выходе стабилизатора после смены высокого уровня на выводе 18 DD7 низким зависит от емкости конденсатора C14. При слишком большой его емкости и высокой скорости работы управляющего компьютера несколько младших ячеек FLASH-памяти микроконтроллера могут оказаться запрограммированными с ошибками.

Выходное напряжение стабилизатора DA2 поступает на вывод 31 (EA/VPP) панели XS2 непосредственно, а на вывод 1 панели XS1 (RST/VPP) — через ключ на транзисторе VT1. При напряжении 12 В ключ открыт независимо от логического уровня на выводе 16 регистра DD2, а при 5 В — только в случае, если этот уровень низкий.

Пониженная яркость свечения светодиода HL2 свидетельствует о напряжении 5 В на выходе DA2 и о том, что программируемая микросхема находится в режиме считывания кодов из ее памяти. В режиме стирания и записи в память напряжение возрастает до 12 В, яркость светодиода заметно увеличивается. Это справедливо для всех микроконтроллеров, кроме тех, которым напряжение 12 В не требуется. При программировании двадцативыводных микроконтроллеров будет включен и светодиод HL1.

Вилку X2 программатора соединяют с розеткой LPT-порта IBM-совместимого компьютера кабелем длиной до 2 м. В компьютере должен быть включен расширенный режим работы LPT-порта (ECP/EPP). В современных системных блоках он действует по умолчанию. Если это не так, режим порта можно изменить, запустив при начальной загрузке компьютера программу BIOS SETUP (пункты меню "Integrated Peripherals"—"Parallel Port Mode").

ДЕТАЛИ И КОНСТРУКЦИЯ

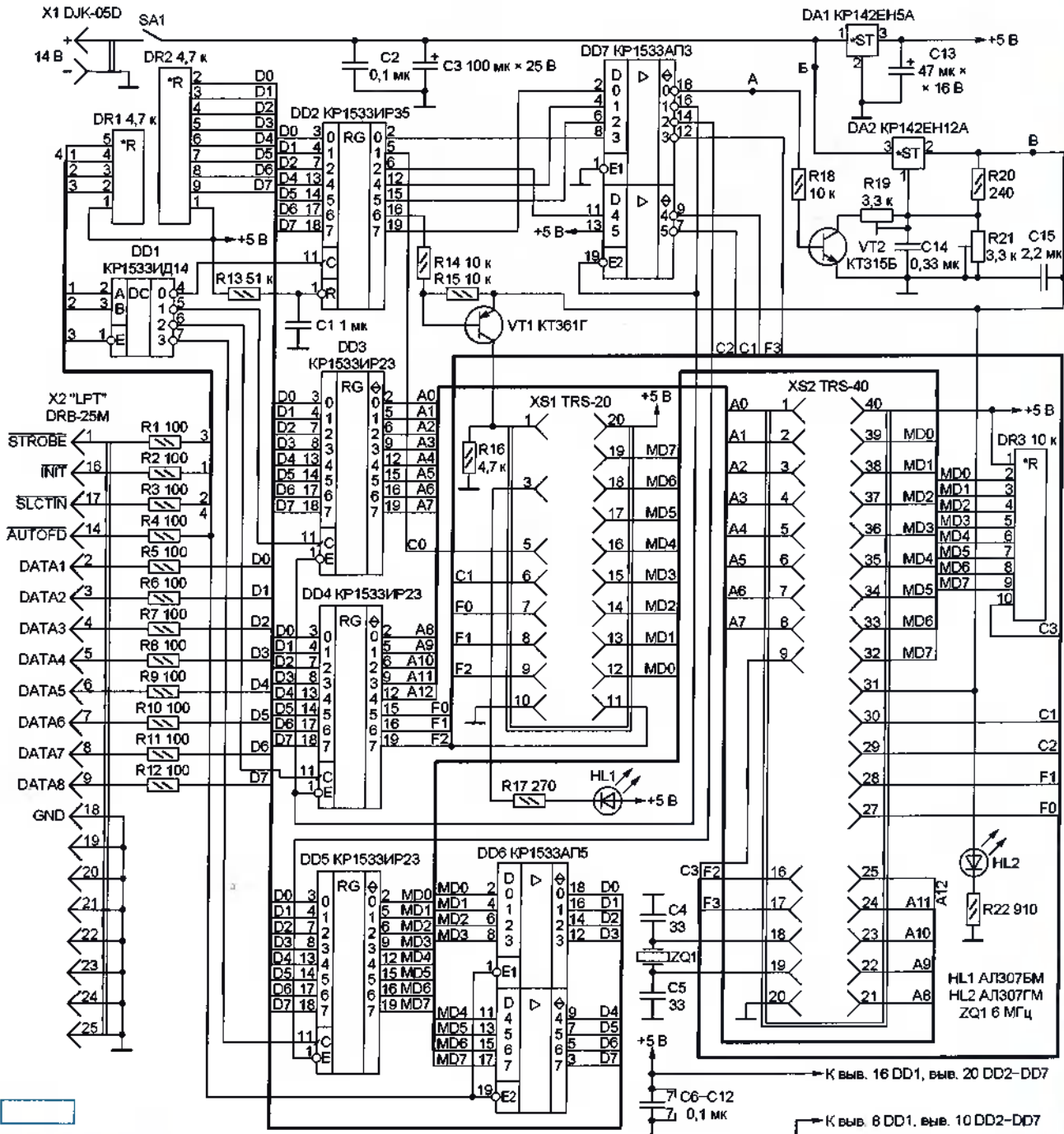
Программатор собран на двусторонней печатной плате размерами 140×140 мм. Стабилизатор DA1 устанавливают на теплоотвод площадью не менее 20 см². Можно собрать программатор и на макетной плате навесным монтажом. Учтите, что конденсаторы C4, C5 и кварцевый резонатор ZQ1 должны быть расположены как можно ближе к контактам 18, 19 панели XS2. Свободные входы микросхем DD1 (выходы 13—15), DD2 (выход 8) и DD7 (выходы 15, 17) необходимо соединить с их общим выводом или выводом питания. Это повысит помехоустойчивость прибора.

Все цифровые микросхемы можно заменять их функциональными аналогами серий K555, KP1533 или импортными, воспользовавшись, например, рекомендациями [2]. Транзисторы VT1, VT2 — любые малоомощные соответствующей структуры, желательно с минимальным падением напряжения на участке коллектор—эмиттер открытого транзистора.

Подстроечные резисторы R19, R21 — СП3-19А. Наборы резисторов DR1—DR3 — HP1-4-9М могут быть заменены на HP1-4-8М, на зарубежные серии 9A или на соответствующее число обычных малогабаритных резисторов указанных на схеме номиналов. Резисторы R1—R12 можно разместить внутри корпуса вилки X2.

Панели XS1 и XS2 должны выдерживать многократную установку и изъятие микросхем. Лучше всего применить ZIF-панели (с нулевым усилием установки), предназначенные для микросхем с расстоянием между рядами контактов 7,5 мм (XS1) и 15 мм (XS2). Годятся и универсальные панели, допускающие установку как "узких", так и "широких" микросхем.

Учитывая, что ZIF-панели в несколько раз дороже всех остальных деталей программатора, вместе взятых, на плате предусмотрены контактные площадки для установки обычных, желательно с цанговыми контактами. Применять самые дешевые панели с плоскими контактами нежелательно. После многочисленных замен микросхемы такие контакты теряют надежность.



НАЛАЖИВАНИЕ

Первое включение программатора производят, не соединяя его с компьютером и без программируемой микросхемы. Прежде всего, проверяют наличие напряжения 13,5...15,5 В на входе и 5±0,1 В на выходе стабилизаторов DA1, DA2. В последнем случае нужное значение устанавливают подстречным резистором R19.

При соединении между собой выводов 1 и 10 микросхемы DD6 напряжение на ее выводах 3, 5, 7, 9, 12, 14, 16, 18 должно уменьшаться с 5 до 3...4 В. Если это не так, имеются ошибки в монтаже или микросхема DD6 неисправна.

Для дальнейшей проверки соединяют программатор с компьютером. Сигналы на линиях LPT-порта при работе программатора выглядят на экране осциллографа довольно хаотично, судить по их форме об исправности устройства сложно. Рекомендуется запустить тестовую программу *atmelstl.exe*, имеющуюся на FTP-сервере журнала (адрес указан в конце статьи). В ответ на появившийся на экране запрос введите номер LPT-порта, к которому подключен программатор (1 или 2), после чего экран монитора примет вид, показанный на рис. 2.

Программа предоставляет доступ к любому из четырех регистров DD2—

DD5, позволяя записывать в них любые восьмиразрядные двоичные коды. Рекомендуемую последовательность действий подскажет текст в нижней части экрана. Например, для проверки прохождения кодов управления следует выбрать на экране строку "Тест сигналов F3, C0—C2" и проверить с помощью осциллографа или вольтметра логические уровни на выходах микросхемы DD2. Все они должны быть низкими и сменяться высокими при нажатии соответствующих клавиш F1—F8.

Манипулируя состоянием разрядов, проверяют прохождение сигналов по цепям программатора в соответствии с его

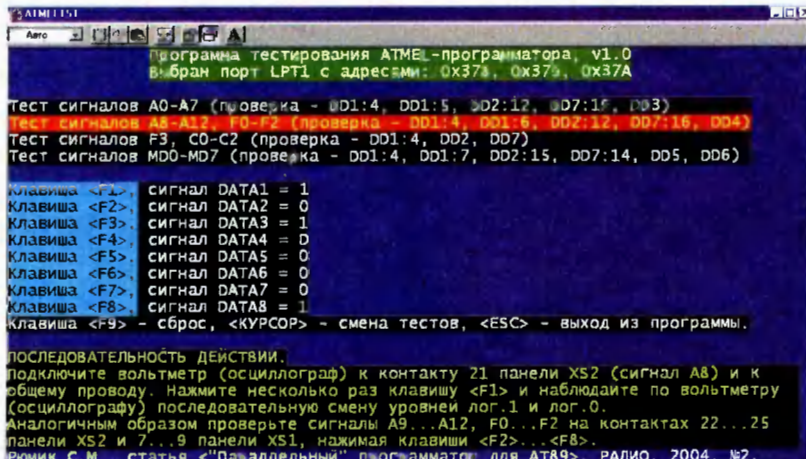


Рис. 2

схемой. Например, низкому уровню на выводе 19 DD2 (старший разряд регистра) должны соответствовать высокий уровень на выводе 18 DD7 и напряжение 5 В на выходе стабилизатора DA2. После нажатия клавиши F8 напряжение должно увеличиться до 12 В и одновременно возрасти яркость свечения светодиода HL2. После повторного нажатия клавиши F8 напряжение и яркость должны вернуться к прежним значениям.

Аналогичным образом проверяют другие регистры и соединенные с их выходами цепи.

ПРОГРАММИРОВАНИЕ

Бесплатно распространяемый пакет программ обслуживания программатора фирмы Atmel можно найти на ее сайте по адресу <http://www.atmel.com/dyn/resources/prod_documents/APCPGM.EXE>. Входящие в пакет программы пригодны для управления как "фирменным", так и предлагаемым программаторами. Однако лучше воспользоваться русифицированной программой **at89.exe**, размещенной на FTP-сервере журнала. С ее помощью можно программировать все микроконтроллеры серии AT89 с параллельным интерфейсом, в том числе AT89C4051, AT89C55, AT89S51, AT89S52, AT89S53, "не охваченные" фирменным пакетом.

Программа автоматически определяет тип установленного в одну из панелей микроконтроллера, анализируя для этого его сигнатуру — два или три байта, специально записанные в постоянной памяти. Перечень сигнатур микроконтроллеров семейства AT89 приведен в **таблице**. Если все байты сигнатур равны 0FFH, отсутствует в панели или неисправен микроконтроллер, а возможно — не включено питание программатора.

Алгоритм программирования и перечень клавиш, с помощью которых управляют процессом, оставлены без изменения. Рекомендуемая операционная среда — MS DOS. Пользователям Windows следует запускать программу, предварительно перезагрузив компьютер в режиме MS DOS или установить

такой режим в свойствах файла. Иначе программирование микросхем придется повторять по три-четыре раза подряд, пока не прекратятся сообщения об ошибках верификации.

Весь процесс программирования занимает не более одной-двух минут, а собственно загрузка FLASH-памяти — максимум 10...15 с. Команды, список которых выведен на экран монитора, подают, нажимая клавиши с буквами латинского алфавита. Регистр (верхний или нижний) не имеет значения.

Микросхема	Байты сигнатуры (Hex)		
	1	2	3
AT89C1051	1E	11	Нет
AT89C1051U	1E	12	Нет
AT89C2051	1E	21	Нет
AT89C2051x2	1E	22	Нет
AT89C4051	1E	41	Нет
AT89C51	1E	51	FF
AT89C51-xxxx-5	1E	51	05
AT89LV51	1E	61	FF
AT89C52	1E	52	FF
AT89C52-xxxx-5	1E	52	05
AT89LV52	1E	62	FF
AT89S53	1E	53	Нет
AT89LS53	1E	63	Нет
AT89C55	1E	55	FF
AT89C55-xxxx-5	1E	55	05
AT89LV55	1E	65	FF
AT89S8252	1E	72	Нет
AT89LS8252	1E	82	Нет

Имя двоичного файла, данные из которого должны быть загружены в память микроконтроллера, вводят после подачи команды "Чтение файла". Содержимое этой памяти можно предварительно прочитать и сохранить в аналогичном файле (команда "Запись в файл"). При сверке содержимого памяти с данными из файла (команда "Сверка с файлом") возможно появление на экране сообщений, подобных такому:

В ячейке FLASH 039A = FF ?! 6B

Это означает, что в ячейке FLASH-памяти (памяти программ) микроконтроллера по адресу 39AH записан код OFFH вместо 6BH, указанного в файле.

ЗАМЕНА СТАБИЛИЗАТОРА DA2

При питании от маломощного сетевого адаптера и пониженном сетевом напряжении на программатор может поступать всего 12...13 В. Для стабилизатора DA1 такая ситуация благоприятна (на нем рассеивается меньшая мощность). А вот стабилизатор DA2 может выйти из рабочего режима, в результате чего напряжение, подаваемое на программируемый микроконтроллер, упадет ниже допустимых 11,5 В. Опыт показывает, что микросхемы фирмы Atmel успешно программируются и при 10,5 В. Однако гарантировать этого нельзя.

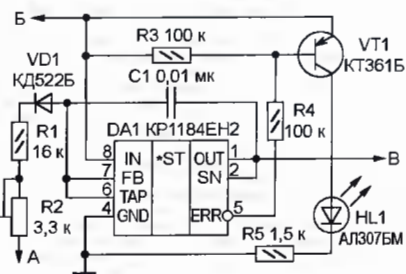


Рис. 3

Если применить в стабилизаторе микросхему KP1184EH2 или ее прототип LP2951CL фирмы National Semiconductor (имеется на многих материнских платах компьютеров), можно добиться надежной работы программатора при уменьшении напряжения питания до 11,8 В.

Стабилизатор собирают по схеме, изображенной на **рис. 3**, и подключают к показанным на **рис. 1** точкам А, Б и В. Микросхема DA2, транзистор VT2, резисторы R18—R21 и конденсатор C14 из программатора должны быть исключены.

Диод VD1 (см. **рис. 3**) при высоком логическом уровне в точке А закрыт, и выходное напряжение 5±0,03 В задает прецизионный делитель напряжения, находящийся внутри микросхемы DA1. При низком уровне в точке А диод открыт, резисторы R1 и R2 шунтируют одно из плеч внутреннего делителя. Выходное напряжение возрастает до 12 В (его регулируют подстроечным резистором R2). Конденсатор C1 подавляет выбросы напряжения при переходных процессах. Его емкость (аналогично конденсатору C14 на **рис. 1**) не должна быть слишком большой.

Микросхема KP1184EH2 имеет внутренний детектор понижения выходного напряжения, который срабатывает при его уменьшении более чем на 5 % от установленного значения. В результате открывается транзистор VT1 и включается светодиод HL1. Нагрузочная способность выхода невелика, поэтому номинал резистора R4 уменьшать нельзя.

Если микросхему KP1184EH2 (LP2951CL) приобрести не удалось, стабилизатор на микросхеме DA2 (см. **рис. 1**) можно заменить узлом, схема которого показана на **рис. 4**. Минимальное падение напряжения на

Программирование современных PIC16, PIC12 на PonyProg

A. СИЗОВ, г. Иваново

Как известно, программатор *PonyProg* предназначен для программирования ограниченного числа типов микроконтроллеров *PICmicro* фирмы *Microchip* (*PIC12C50x*, *PIC16F8x*, *PIC16F87x*). Однако с его помощью можно запрограммировать и другие, в том числе и новые микроконтроллеры серий *PIC12*, *PIC16*. О том, как это сделать, рассказывается в статье.

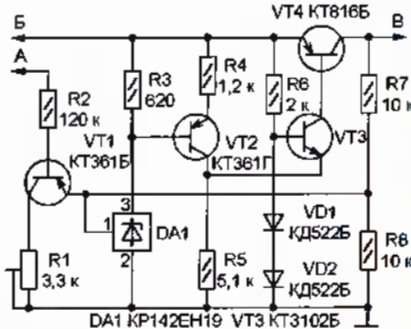


Рис. 4

нала не более 1 % или быть подобраны с такой точностью. Микросхему KP142EH19 можно заменить импортным аналогом TL431CLP.

ЛИТЕРАТУРА

- Using a Personal Computer to Program the AT89C51/C52/LV51/LV52/C1051/C2051. — <<http://www.atmel.com/atmel/acrobat/doc285.pdf>>.
- AT89 Series Programmer Interface — <<http://www.atmel.com/pub/atmel/aprpgm.exe>>.
- Рюмик С. Замена микросхем в фирменном программаторе. — Радиомир. Ваш компьютер, 2003, № 5, с. 32–34.

Редактор — А. Долгий, графика — А. Долгий, скриптор — авторы

От редакции. Упомянутые в статье программы и чертежи печатной платы программатора находятся на нашем FTP-сервере по адресу <<http://ftp.radio.ru/pub/2004/02/at89.zip>>.

МОДУЛЬНАЯ РЕКЛАМА

Условия см. в "Радио", 2004, № 1, с. 10

РАДИОДЕТАЛИ — ПОЧТОЙ

Комплектация предприятий. Оптовые поставки импортных радиодеталей по каталогу: www.dart.ru.

Приборы GEFTRAN, конденсаторы WIMA, диоды DC Components, импортные светодиоды, резисторы, конденсаторы и разъемы, фурнитура для электронных устройств.

Тел./факс: (095) 963-6625. Оптовый отдел: alex@dart.ru.

Розница: 125040, Москва, а/я 36. sales@dart.ru.

Многие радиолюбители строят свои конструкции на базе популярного PIC-контроллера PIC16F84 (PIC16F84A). Однако время не стоит на месте, и номенклатура выпускаемых микроконтроллеров (МК) PICmicro постоянно расширяется. Появились новые, более совершенные МК серии PIC16F и PIC12F (например, PIC12F629, PIC12F675, PIC16F628, PIC16F630, PIC16F676). Они содержат компаратор, способный работать с входным напряжением, близким к ну-

лю. PONYPROG [1]. Разберемся, как можно использовать его для программирования новых МК.

Все МК программируют по трехпроводнойшине. Для программирования необходимы сигналы U_{pp} (перевод в режим программирования), CLK (синхронизация) и DAT (данные).

Любители, не имеющие программатора, могут воспользоваться простейшим устройством, собранным по схеме на рис. 1. Его подключают к COM порту ПК, для питания МК используют отдельный источник с выходным напряжением 5 В. В "Настройке оборудования" указывают тип программатора — JDM API. Выходы подключают в соответствии с таблицей. Программирование можно произвести непосредственно в готовом устройстве, используя его источник питания (необходимо лишь устранить шунтирование выводов программирования МК элементами изделия). Напряжение питания при программировании должно быть в пределах 4,5...5,5 В (при необходимости подбирают стабилизатор VD1).

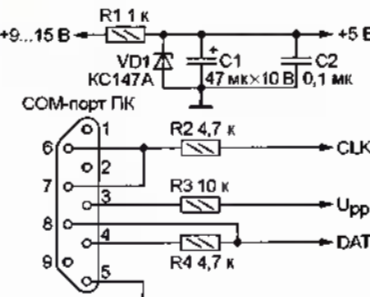


Рис. 1

ло, что при однополярном питании весьма заманчиво. Включенный в их состав 10-битный АЦП имеет точность не хуже, чем специализированные микросхемы, что, наряду с большими возможностями по обработке и отображению информации, позволяет создавать уникальные устройства с минимальным числом внешних элементов. Новые МК имеют память большего объема, дополнительные таймеры, универсальныйпорт связи и другие усовершенствования. При этом их стоимость значительно ниже, чем PIC16F84, а FLASH PIC16F630 дешевле PIC16C505 (оба в 14-выводных корпусах). Организация памяти PIC12Fxxx такая же, как у PIC16F84 (одна страница), что позволяет легко адаптировать программы, не требующие применения МК в многовыводных корпусах.

Если вы решились использовать в своих конструкциях новые МК, то прежде чем их изучать и писать программы, подумайте, на чем их программируют. Приобретение фирменного программатора при его стоимости, сопоставимой со стоимостью системного блока компьютера, для радиолюбителей почти нереально. Однако многие из них собрали programma-

Микроконтроллер	Номер вывода				
	U_{pp}	CLK	DAT	+5 В	GND
PIC12F629, PIC12F675	4	6	7	1	8
PIC16F630, PIC16F676	4	12	13	1	14
PIC16F627, PIC16F628, PIC16F84, PIC16F84A	4	12	13	14	5

Из таблицы видно, что назначение используемых при программировании выводов PIC16F84 и PIC16F628 одинаково, поэтому их можно программировать в одной розетке программатора. Для других микросхем придется установить дополнительные розетки, подключенные к адаптеру в соответствии с таблицей. Более подробную информацию о PIC-контроллерах можно найти на сайте [2].

Дальнейшие пояснения даны на примере PIC16F628, так как он не требует аппаратной доработки программатора *PonyProg* и более других доступен в магазинах.

Как отмечалось, все МК PICmicro программируются по трем проводам (точнее по двум). Протокол (команды) программирования тоже одинаковый.

Память программ начинается с адреса 0000, а заканчивается в зависимости от ее объема в конкретном типе микросхемы. Это означает, что, выбрав из списка RopyProg подходящий по этому параметру MK, можно записать нужную программу. В нашем случае подходит PIC16F871. Следует учитывать, что в нижней строке окна RopyProg указан объем памяти в байтах, а в технических характеристиках MK обычно приводится число слов (14 бит). Иными словами, программатор показывает больший объем. У PIC16F871 и PIC16F628 объем памяти — 2048 слов. Дополнительно это можно проверить в файле .lkr соответствующего MK (находится в папке установки MPLAB), прочитав его с помощью стандартной программы "Блокнот". Адрес памяти программ указан так:

CODEPAGE NAME=vectors

START=0x0 END=0x4

PROTECTED (переносы условные)

CODEPAGE NAME=page

START=0x5 END=0x7FF (перенос

условный)

На данном этапе уже можно попробовать записать информацию в память программ. Для этого подойдет любой HEX-файл размером не более 2048 слов. Запустив обслуживающую программу, присоедините устройство к порту компьютера, вставьте MK в соответствующую розетку, затем включите питание программатора. Выберите

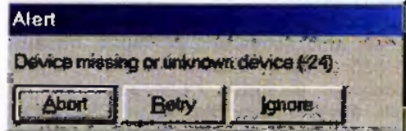


Рис. 2

те в меню PIC16F871, загрузите выбранный HEX-файл и нажмите кнопку "Запись памяти программ (FLASH)". Появится сообщение об ошибке, извещающее о проблемах с MK и содержащее три кнопки (рис. 2): "Abort" (прервать), "Retry" (повторить), "Ignore" (игнорировать). Нажмите последнюю ("Ignore"), и начнется процесс программирования. По его завершении должно появиться сообщение об успешной записи. Если программатор выдал "Ошибка записи", проверьте содержимое памяти программ, считав его соответствующей командой. Наличие ошибок свидетельствует о том, что, возможно, программатор работает слишком быстро (такое случается, если на компьютере установлена ОС WINDOWS XP; с WINDOWS 98 программа работает медленнее и пишет надежнее). Причиной могут быть также помехи (при слишком длинных соединительных проводах), а в редких случаях — и антивирусные и другие фоновые программы. Если же запись отсутствует полностью, то неисправна аппаратная часть программатора или неверно настроена программа (в меню).

Следующий, самый важный этап — запись слова конфигурации. Его адрес также можно посмотреть в файле .lkr соответствующего MK. Стока в файле выглядит так:

CODEPAGE NAME=.config
START=0x2007 END=0x2007
PROTECTED (переносы условные).

Слово конфигурации располагается по адресу 0x2007. В нашем случае PIC16F871 и PIC16F628 имеют адреса 2007, т. е. подходят для подмены (следует отметить, что слово конфигурации у всех PIC16 и PIC12F расположено именно по этому адресу). Устанавливать биты конфигурации непосредственно в программаторе нежелательно, так как их обозначение на панели программатора для PIC16F628 и PIC16F871 разное и возможны ошибки, а некоторые биты затенены и не могут быть установлены напрямую. Записать конфигурацию MK лучше при составлении программы. Для MPLAB эти строки могут выглядеть примерно так:

```
include <p16f628.inc>
list p=16f628
_config H'0242'
```

Значение '0242' составляется в соответствии с назначением каждого бита в слове конфигурации и в вашем конкретном случае может быть другим. Подробное описание всех бит можно найти на сайте [2].

Сокращенные обозначения бит конфигурации содержатся в файле .INC соответствующего MK в папке установки MPLAB. Примерный вид:

_BODEN_ON	EQU H'3FFF'
_BODEN_OFF	EQU H'3FBF'
_CP_ALL	EQU H'03FF'
_CP_75	EQU H'17FF'
_CP_50	EQU H'2BFF'
_CP_OFF	EQU H'3FFF'
_DATA_CP_ON	EQU H'3EFF'
_DATA_CP_OFF	EQU H'3FFF'
_PWRTE_OFF	EQU H'3FFF'
_PWRTE_ON	EQU H'3FF7'
_WDT_ON	EQU H'3FFF'
_WDT_OFF	EQU H'3FBF'
_LVP_ON	EQU H'3FFF'
_LVP_OFF	EQU H'3F7F'
_MCLRE_ON	EQU H'3FFF'
_MCLRE_OFF	EQU H'3FDF'
_ER_OSC_CLKOUT	EQU H'3FFF'
_ER_OSC_NOCLKOUT	EQU H'3FFE'
_INTRC_OSC_CLKOUT	EQU H'3FFD'
_INTRC_OSC_NOCLKOUT	EQU H'3FFC'
_EXTCLK_OSC	EQU H'3FEF'
_LP_OSC	EQU H'3FEC'
_XT_OSC	EQU H'3FED'
_HS_OSC	EQU H'3FEE'

С использованием этих обозначений строка записи может выглядеть так:

```
_config _CP_ALL & _WDT_OFF &
_BODEN_ON & _PWRTE_ON & _HS_OSC
& _LVP_OFF ; (переносы условные).
```

Таким образом вы сможете написать слово конфигурации для любого MK, используя его файл .INC. Это удобно при адаптации готовой программы, например, в случае замены PIC16F627 более дешевым PIC16F627A. При включении конфигурации в текст программы она войдет в HEX-файл, установятся и затененные биты. После того как вы ввели в программатор слово конфигурации, считав HEX-файл содержащий его программы, запись выполняется обычным образом, вводом соответствующей команды. Аналогично его можно и считать из MK. Убедитесь, что конфигурация записана, можно либо очистив по-

сле записи панель программирования конфигурации программатора, а затем считав конфигурацию из MK, либо считав память программ из защищенной от считывания микросхемы: до записи конфигурации она читается, а после записи — нет (если установлена защита), при этом конфигурация читается и в защищенной микросхеме.

Устанавливать биты защиты без особой необходимости не рекомендуется. Дело в том, что некоторые MK имеют отличающиеся команды стирания, и вы не сможете их перепрограммировать, так как на RopyProg биты защиты не сорются. Однако при записи в незащищенную микросхему поверх имеющейся в ней "прощивки" записываемый код сотрет предыдущую информацию и необходимость в стирании не возникнет. Впрочем, это не относится к PIC16F627, PIC16F628, информацию в них можно защищать без опасений.

Запись данных в EEPROM производится обычным способом, так как данные в MK PIC16F и PIC12F размещаются с адреса 2100h. Посмотреть это можно также в файле .lkr. Примерный вид строки:

```
CODEPAGE NAME=eedata
START=0x2100 END=0x217F
PROTECTED (переносы условные).
```

Разное у PIC-контроллеров — лишь окончание области данных (из-за разных объемов): у PIC16F628 — 128, у PIC16F871 — 64 байт, но если необходимый вам для работы объем не превышает объема EEPROM выбранной микросхемы подмены (у PIC16F871 — 64 байт), то можно программировать, не переключая типа MK в меню: избыточная память PIC16F628 просто не будет использована. Если необходимо записать больший объем, то следует в меню программатора заменить тип MK имеющим аналогичный с PIC16F628 объем памяти (в нашем случае — это PIC16F874 с EEPROM 128 байт) и произвести запись обычным способом. Заменять тип MK в меню можно на любом этапе программирования.

Следует отметить, что хотя PIC16F874 имеет память программ в два раза больший, чем PIC16F628, записать информацию в нее можно, установив в меню PIC16F874 и даже PIC16F877 (16K), однако при проверке записи программатор выдаст сообщение об ошибке. Дело в том, что при считывании нереализованной в PIC16F628 части памяти MK выдаст информацию, записанную в нижних адресах (старшие биты адреса игнорируются), т. е. память программ будет считана дважды (в PIC16F877 — четыре раза). Иными словами, это не ошибка в программе, а повторное считывание памяти, программа записывается нормально.

ЛИТЕРАТУРА

- Долгий А. Разработка и отладка устройств на MK. — Радио, 2001, № 6, с. 24—26; № 7, с. 19—21.
- <www.microchip.ru>.

Генератор видеосигнала на PIC-контроллере

Ю. ЛЫСЕНКОВ, г. Краматорск Донецкой обл., Украина

На практике нередко бывает, что надо отремонтировать, проверить или настроить VGA монитор, а персонального компьютера нет. В таком случае пригодится несложный генератор VGA видеосигнала на микроконтроллере PIC16F84 или PIC16C84. Схема устройства разработана Эриком Шлеффером (Eric Schlaepfer) и широко

реконструкции), а прилагаемая "прошивка" предназначена для CGA/MDA мониторов и с VGA мониторами не работает. Предлагаю исправленную схему (см. рисунок) и программу (коды "прошивки") приведены в таблице, адаптированную для VGA режима 640×480, 60 Гц. Исходный текст программы можно найти на сайте <<http://www.hardw.net/russian/vga-test.ph#vid-pic>> и ftp-сервере редакции (<ftp://ftp.radio.ru/pub/2004/02/genVGA.zip>).

Питать устройство можно от любого источника напряжением 4,5...5 В, в том числе и от батареи из трех гальванических элементов или четырех Ni-Cd аккумуляторов.

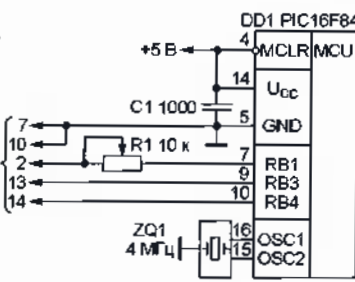
При работе движок переменного резистора R1 устанавливают в крайнее левое положение и включают питание вначале монитора, а затем генератора. Медленно уменьшая сопротивление введенной части резистора, добиваются появления на экране крупной надписи "TEST". Установ-

```

:020000002028B6
:100040008601831686018312061606120000000040
:10005000000000000000006168610D0308C008D00D5
:100060000F3090009100920093009400950096004C
:100070008610000000003421342100000000000040
:100080008611000086158C0B382800008610861417
:100090008614861486148610861486148614861494
:1000A0008614861486108614861486148614861488
:1000B000861086148614861486148610861086107C
:1000C0008611000008615900B4628000086108610C9
:1000D00086108614861086108614861086108610E8
:1000E00086108610861086148610861086108610E5
:1000F000861086108610861486108610861086104C
:100100008611000008615910B6628000086108610E7
:1001100086108614861086108614861086108610E27
:10012000861086108610861486108610861086101B
:10013000861086108610861486108610861086100B
:100140008611000008615920B9862800008610861006
:100150008610861486108610861486148614861486149F
:1001600086148614861086148610861086108610D3
:1001700086108610861086108610861086108610C8
:100180008611000008615930B4628000086108610A5
:1001900086108614861086108614861086108610A7
:1001A000861086108610861486108610861086109B
:1001B000861086108610861486108610861086109B8
:1001C0008611000008615940B462800008610861044
:1001D0008610861486108610861486108610861067
:1001E000861086108610861486108610861086105B
:1001F000861086108610861486108610861086104B
:1002000086110000086115950B2628000086108610E2
:10021000861086148610861086108614861486141E
:100220008614861486108610861486148614861406
:10023000861086108610861486108610861086100A
:100240008611000008615960B062900008610000016
:10025000000034213421000000000000861100005D
:1002600086158D0B26292528000000000000000000BF
:0602700000000000080080
:02400000P13F80
:00000001FF

```

К контактам разъема монитора



распространена в Интернете. К сожалению, в ней есть ошибка (неправильные указаны номер вывода питания мик-

ливатель большой яркость изображения не рекомендуется.

Редактор — В. Фролов, графика — В. Фролов

Музыкальный звонок на 120 мелодий

М. БЕЛЕЦКИЙ, г. Уфа

На страницах журналов можно встретить много схем и описаний музыкальных звонков, но все они имеют один недостаток — число мелодий ограничено (не более 16), поэтому они довольно быстро запоминаются и надоедают. Предлагаемое устройство способно синтезировать до 120 мелодий, которые воспроизводятся последовательно с каждым следующим нажатием звонковой кнопки.

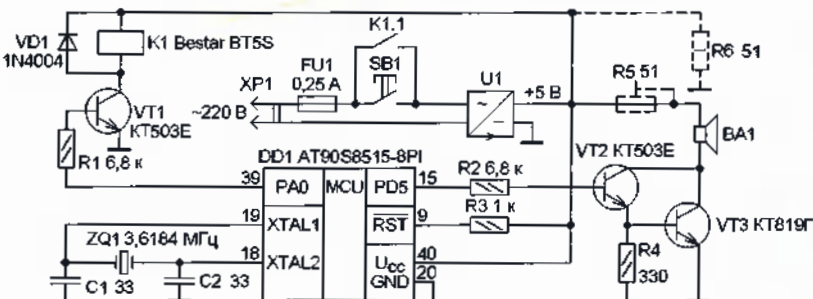
Принципиальная схема звонка изображена на рисунке. Её основа — микроконтроллер AT90S8515-8PI фирмы ATMEL. При нажатии на звонковую кнопку SB1 включается питание устройства, начинает работать программа, записанная в память микроконтроллера, и на выводе 39 (PA0) появляется напряжение лог. 1. В результате открывается транзistor VT1, срабатывает реле K1 и своими контактами K1.1 блокирует кнопку звонка.

Для формирования колебаний 3Ч используется таймер микроконтроллера и режим его работы на переключение внешнего вывода PD5 (для получения нужной звуковой частоты частоту работы таймера нужно умножить на два). Сигнал, снимаемый с этого выво-

да, усиливается составным транзистором VT2/VT3, в коллекторную цепь которого включена динамическая головка BA1. Для регулирования громкости последовательно с ней можно включить подстроечный резистор R5 (изображен штриховой линией).

сменяется низким и реле разрывает цепь питания до следующего нажатия на кнопку SB1.

Мелодии для звонка взяты из программы Melody Player for Motorola (находится в архиве mp4m.rar). Для конвертирования мелодий в ассемблерный вид написана программа motcv1 (находится в архиве motcv1.rar). Используя ее, нетрудно изменить/добавить/убрать любую мелодию. При запуске в командной строке указывают имя файла с мелодиями от mp4m и имя, под которым надо записать результирующий файл (например, mel.inc).



После проигрывания мелодии программа записывает в энергонезависимую память (EEPROM) микроконтроллера указатель на следующую мелодию, высокий уровень на его выводе 39

исходные тексты программы для микроконтроллера находятся в архиве zvonok.rar, основные моменты прокомментированы. При использовании кварцевого резонатора на другую час-

тоту необходимо в строке
.equ fsck = 3618400

файла zvonomk.asm изменить значение частоты (3618400) на фактически используемое (в герцах). Все остальное пересчитает ассемблер. Программа написана и отлажена с помощью AVRStudio 4.0 Build 181.

Источник питания U1 — любой стабилизированный с выходным напряжением 5 В (можно использовать и батарею, составленную из гальванических элементов или аккумуляторов). Вместо BESTAR BT-5S допустимо применение любого реле с напряжением срабатывания не более 4,5 В и контактами, рассчитанными на коммутацию сетевого напряжения 220 В.

В процессе отладки устройства обнаружено, что содержимое энергонезависимой памяти данных микроконтроллера может испортиться, если после выключения питающее напряжение падает до 0 медленно (более 10 мс). Дело в том, что при плавном его понижении микроконтроллер некоторое время продолжает работать, а это может вызвать неверные декодирования и (или) выборку команд, что, в свою очередь, способно спровоцировать несанкционированную запись в EEPROM. Для предотвращения порчи содержащегося памяти можно использовать так называемый детектор понижения напряжения питания (отечественный KP1171СП47 или его зарубежный аналог PST529), который при понижении напряжения питания ниже установленного порога выдает сигнал Reset, останавливающий работу микроконтроллера. Автор для этой цели использовал резистор R6, подключенный к выходу источника питания в качестве дополнительной нагрузки (на схеме показан штриховой линией).

Редактор — Б. Фролов, графика — В. Фролов

От редакции. Исходный текст программы zvonomk.asm, HEX-файл "прошитки" микроконтроллера zvonomk.hex, языке программное обеспечение, упомянутое в статье, желающие найдут на ftp-сервере редакции по адресу <<http://ftp.radio.ru/pub/2004/02/zvonomk120.zip>>.

МОДУЛЬНАЯ РЕКЛАМА

Условия см. в "Радио", 2004, № 1, с. 10

РАДИОДЕТАЛИ ДЛЯ ВАС!

Торгово-промышленный холдинг «Новэл» осуществляет поставку радиокомпонентов отечественных и зарубежных производителей всем юридическим и физическим лицам в любую точку России и СНГ.

У нас вы встретите внимательное и доброжелательное отношение.

Самые редкие компоненты тоже у нас.

Добро пожаловать! Будем вам очень рады!

www.nowel.ru.

Тел.: 194-1800, 194-0074,
190-5330.

Кварцевый резонатор преобразует неэлектрические величины в электрические

В. САВЧЕНКО, Л. ГРИБОВА, г. Иваново

Кварцевый резонатор находит применение не только для стабилизации частоты и фильтрации радиочастотных сигналов. Являясь высокодобротной электромеханической колебательной системой, он оказывается пригодным для измерения неэлектрических параметров в технологическом контроле изделий, полуфабрикатов и в мониторинге окружающей среды.

Кварцевый диссипативный преобразователь механической энергии выполнен на основе специализированного кварцевого резонатора, в котором пьезозлемент покрыт чувствительным к измеряемой незелектрической величине веществом. Выходной электрический сигнал преобразователя поступает на измерительный прибор или компьютер. Объектами контроля могут быть газообразные, жидкие и твердые среды, включая жидкые кристаллы и биополимеры, а измеряемыми неэлектрическими величинами — влажность, температура, электро-, тепло- и светопроводимость, вязкоупругие свойства и др.

При воздействии на преобразователь измеряемой незелектрической величины изменяется эквивалентное активное сопротивление кварцевого резонатора, являющееся мерой диссипации (рассения) упругих колебаний кварца. Известно, что резонатор представляет собой электромеханическую колебательную систему, содержащую пьезозлемент, его электроды с выводами и держатель. Пьезозлемент вырезают из природного или синтетического кристалла кварца. Электромеханические колебания в резонаторе происходят благодаря прямому и обратному пьезоэффектам, присущим кварцу.

В основном применении резонатора (стабилизация и фильтрация сигналов) его эквивалентное электрическое (активное) сопротивление R_a называют динамическим и рассматривают как единное целое [1]. В действительности оно может быть разделено на составляющие: R_o — сопротивление, обусловленное потерями энергии колебаний в самом кварце; R_e — в электродах; R_n — потерями излучения ультразвука; R_s — на связанные колебания; R_d — потери в держателе.

При использовании кварцевого резонатора в преобразователе энергии необходимо было получить формулы для расчета всех составляющих сопротивления R_a , включая R_n , отражающую дополнительные потери в чувствительном покрытии, — его наносят на поверхность пьезозлемента для обеспечения информативного выходного сигнала, пропорциональному значению контролируемого неэлектрического параметра [2]. Вместе с этим преобразователь должен иметь постоянное активное сопротивление при изменении неинформативных параметров. Для достижения независимости R_a от темпе-

ратуры должны быть исключены, например, потери на связанные колебания в резонаторе, что достигается изменением конструкции электродов на пьезозлементе [3].

Расчет составляющих по формулам в [2] позволил выбрать вид среза пьезозлемента и определить его оптимальные размеры. Оптимальным для кварцевого диссипативного преобразователя механической энергии оказался срез ДТ ($u/x/-52$ град.) с размерами пьезозлемента $14,5 \times 6,1 \times 0,25$ мм; резонансная частота — 300 кГц, $R_o = 236$ Ом (без чувствительного покрытия).

Значение информативного сигнала преобразователя (изменение активного сопротивления) определяют по формуле

$$R_{i.c} = K_{pr} \cdot \Delta \tau, \quad (1)$$

где K_{pr} — коэффициент преобразования, равный 5416,74 кОм·с/гт; Δ и τ — толщина чувствительного покрытия и его вязкость (внутреннее трение).

Применив в качестве чувствительного покрытия пленку карбона (поликапроамида), внутреннее трение которого зависит от влажности воздуха, удалось создать преобразователь — датчик влажности, ставший основой влагомера [4]. Динамическое сопротивление преобразователя в сухом воздухе (при относительной влажности 20...30 %) равно 1,2 кОм, а во влажном (90...95 %) — 3,265 кОм, что соответствует чувствительности не менее 26 Ом/%. Влагомер нашел применение в тепличном хозяйстве совхоза "Тепличный" (г. Иваново), а также в волноводах ивановских городских и областных телевизионных станций. Заметим, что в зимнее время в волноводе температура может снижаться до $-35\ldots45$, а летом достигать $+45^{\circ}\text{C}$.

Интересно, что в известных влагомерах воздуха "ВОЛНА" в качестве датчика также применен кварцевый резонатор с карбоновой влагочувствительной пленкой, но в нем использована зависимость резонансной частоты кварца от массы чувствительного покрытия. Такой прибор трудно выполнить малогабаритным (карманным), так как он должен содержать два кварцевых резонатора и два автогенератора.

Механизм рассеяния энергии упругих колебаний пьезозлемента в резонаторе значительно сложнее, он связан с релаксационными процессами в полимерном чувствительном покрытии и тубиной проникновения упругой волны в него. Для получения оптимальной

влагочувствительности полимерная пленка, наносимая на пьезоэлемент, должна иметь определенное соотношение между ее вязкостью и упругостью, чего достигают добавлением к вязкому капрону жесткого фенолополивинилацетатного кляя (БФ-2).

Отметим, что некоторые полимеры, имеющие значительное приращение массы во влажной среде, имеют малую зависимость внутреннего трения от влажности и поэтому непригодны для датчика влажности из-за низкой его чувствительности.

Конструкция преобразователя, используемого в качестве датчика влажности воздуха, схематически показана на рис. 1 [5]. На пьезокварцевую пластину 1 ДТ-среза с собственной частотой колебаний 300 кГц нанесено проводящее покрытие 2, к которому припаяны токоподводы 3. На пьезоэлементе отмечены места максимальных смещений Б и деформации В. Эти места соединены полосами 4 клея, нанесенного 50%-ным раствором его в этиловом спирте. Влагочувствительная пленка 5 на поверхности пластины состоит из слоев полимеров с разными влагочувствительностью и вязкоупругостью.

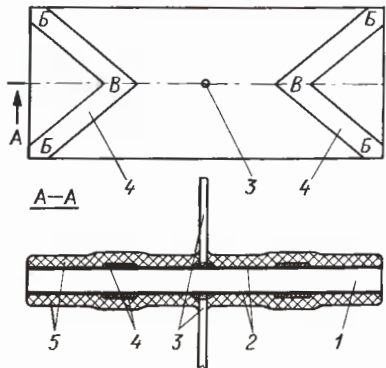


Рис. 1

Технология наложения слоев несложна. После нанесения полос клея пластины сушат при температуре 150 °C в течение 60±10 мин для полимеризации клея. Затем ее окунают в 30 %-ный раствор клея в этиловом спирте и центрифугируют на воздухе с частотой вращения 2000...2500 мин⁻¹ вокруг оси выводов в течение 30...40 с. На эту тонкую пленку клея, высушенную на воздухе, наносят слой капрона из 6 %-ного раствора в муравьиной кислоте. Пленки еще раз сушат при температуре 150 °C. При этом происходят не только полимеризация клея и взаимная диффузия пленок, но и стабилизация свойств покрытия.

Затем наносят второй тонкий слой клея, сушат на воздухе, и второй слой капрона 3%-ным раствором в муравьиной кислоте. Пластину снова подвергают горячей сушке, после чего проверяют выходной параметр преобразователя — его динамическое сопротивление R_c в сухом воздухе. Если оно мало, наносят дополнительные слои клея и капрона до тех пор, пока R_c не станет равным 1,2±0,1 кОм.

Описанная технология позволяет получать воспроизводимые по эксплуатационным параметрам датчики влажнос-



Рис. 2

ти. Они имеют линейную характеристику преобразования, малую инерционность и температурную погрешность.

На базе этого датчика создан карманный гигрометр (рис. 2), способный контролировать влажность воздуха в пределах 20...95 % с точностью ±1 %. Принципиальная электрическая схема измерительного узла прибора изображена на рис. 3.

Датчик BQ1 включен в одно из плеч измерительного самобалансирующегося моста, работающего на частоте 300 кГц, последовательно с компенсационным элементом, содержащим резистор R1, конденсатор C1 и варикап VD1. Подстроенный резистор R5 служит для установки режима моста, например, при замене преобразователя. Выход моста через конденсатор C2 соединен с его входом через усилитель на транзисторах VT1, VT2 и фазирующий трансформатор T1.

Емкость варикапа VD1 (из серий KB102, KB104 или аналогичного им) без подачи управляющего постоянного напряжения максимальна, а активное сопротивление на частоте 300 кГц минимально. По этой причине активное сопротивление цепи VD1R1 на частоте 300 кГц также минимально. В результате выполняется условие самовозбуждения усилителя: активное сопротивление измерительного плеча моста меньше сопротивления плеча сравнения, мост разбалансирован, его выходное напряжение максимально. Оно после усиления по току эмиттерным повторителем на транзисторе VT3 поступает на вход детектора, выполненного по схеме удвоения напряжения (диоды VD4, VD5). Полученное напряжение постоянного тока подают на аналого-цифровой преобразователь с жидкокристаллическим индикатором. Преобразователь и индикатор выполнены по стандартной схеме, поэтому на рис. 3 не показаны. Резистором R17 регулируют пределы контролируемой влажности.

Переключателем SB1 выбирают режим "Работа" или "Контроль напряжения питания" (которое поддерживает резистором R16).

Таким образом, одновременно с получением информативного сигнала, определяемого изменением динамического сопротивления преобразователя, которое, в свою очередь, зависит от влажности, обеспечивается автоматическое самобалансирование моста: высокочастотное напряжение с переменного резистора R15 поступает на детектор (диоды VD2, VD3) и через резистор R6 на компенсационный элемент (VD1R1C1). Выходное постоянное напряжение детектора управляет активным сопротивлением компенсационного элемента, а изменение емкости варикапа VD1 реализует автоматическое балансирование моста.

При включении питания активное сопротивление компенсационного элемента минимально, что обеспечивает самовозбуждение усилителя из-за разбаланса моста. Затем постоянное управляющее напряжение, зависящее от степени разбаланса, изменяет сопротивление компенсационного элемента, уменьшая сопротивление измерительного плеча моста и приближая его к сопротивлению плеча сравнения.

Полного баланса моста не происходит, так как в этом случае автоколебания не возбуждаются. Но при коэффициенте усиления усилителя K_y > 1000, разбаланс моста незначителен (около 10 Ом). Такой режим работы измерительного моста обеспечивает вторичному преобразователю высокую стабильность и необходимую чувствительность, регулируемую резистором R15.

Прибор питается от батареи "Крона" (GB1), подключаемой тумблером SA1. Потребляемый от источника ток — 2...3 мА.

Трансформатор выполнен на магнитопроводе типоразмера K12×5×5 из феррита M1000HM-A. Обмотка I и II содержит соответственно 90 и 35 витков провода ПЭЛШО 0,01. Обмотка I с конденсатором C4 образуют резонансный контур, настроенный на частоту 300 кГц. При правильной фазировке обмоток трансформатора возникает положительная ОС.

Кварцевые диссипативные преобразователи механической энергии нашли весьма широкое применение. С их помощью измеряют реологические свойства крови человека при диагностике заболеваний [6], вязкоупругие свойства полимеров, определяют температуру фазовых переходов в жидкых кристаллах и другие важные параметры.

Отметим, что метод исследования вязкоупругих покрытий кварцевых пластин был разработан нами раньше за рубежных ученых. Они используют для этих целей пьезоэлемент среза АТ, который менее информативен, чем ДТ.

В журнале "Радио" [7] была помещена фотография экспоната с всесоюзной радиовыставки, применяемого для индикации наличия воды в авиационном топливе (авторы В. Е. Савченко и Н. И. Лобацевич, г. Иваново). Известно, что находящаяся в топливе растворенная вода (тысячные доли процента)

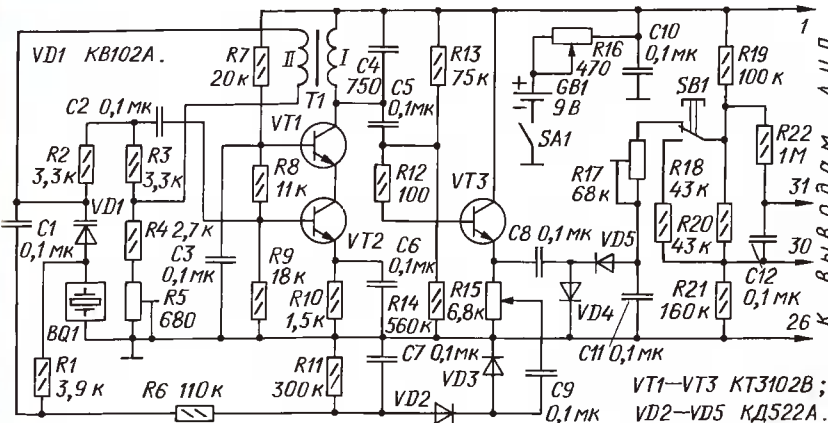


Рис. 3

с понижением температуры замерзает и, выпадая в осадок, способна забивать топливные фильтры, что может явиться причиной аварии летательного аппарата. Этот прибор успешно применялся на аэродромах. В нем реализовано изобретение [8], положившее начало использования вакуумированных кварцевых резонаторов в диссипативных преобразователях электрической энергии для контроля параметров рассеяния диэлектриков. Такие приборы получили название кварцевых диэлькометров.

Из рассмотрения эквивалентной схемы замещения кварцевого резонатора в [1] можно видеть, что при возбуждении на частоте последовательного резонанса его динамические индуктивность и емкость взаимно компенсируются. Если последовательно с резонатором включить емкостный датчик C_d , происходят расстройка резонатора относительно резонансной частоты и увеличение динамического сопротивления из-за неполной компенсации индуктивного сопротивления емкостным. Полной компенсации препятствует межэлементная емкость C_o резонатора.

Значение активного сопротивления R цепи резонатор—емкостный датчик можно рассчитать по формуле

$$R = R_a \left(1 + \frac{C_o}{C_d} \right)^2. \quad (2)$$

При наличии в емкостном датчике диэлектрических потерь, определяемых сопротивлением R_d , к сопротивлению R следует прибавить активное сопротивление датчика R_{ad} , связанное с диссипацией энергии электрического поля в контролируемой среде, где находится датчик:

$$R_{ad} = \frac{R_d}{1 + \omega^2 \cdot C_d^2 \cdot R_d^2}. \quad (3)$$

Частичная компенсация емкостного сопротивления датчика индуктивным сопротивлением резонатора и дает возможность измерять очень незначительные активные потери в диэлектриках.

Известные приборы с колебательными контурами, содержащими катушку и конденсатор, не могут надежно контролировать малые диэлектрические

потери. Так, измеритель добротности Е4-7 на частоте 50 кГц может измерять активное сопротивление не более 100 МОм и с погрешностью $\pm 5\%$.

Определение активного сопротивления с помощью диссипативного преобразователя не требует ручной настройки на резонанс. Измерительный мост автоматически самобалансируется подобно тому, как описано выше (рис. 3). Он может легко контролировать активное сопротивление до 10 ГОм с погрешностью не более $\pm 1\%$ при емкости датчика 4 пФ на частоте 50 кГц. С датчиком емкостью 1 пФ возможно будет измерять сопротивление потерь более 100 ГОм. Таким образом, описываемый преобразователь существенно расширяет возможности исследования новых материалов с малыми потерями.

На его базе созданы и принятые Государственной комиссией кварцевые влагомеры ВК-2, используемые в текстильном производстве для контроля и регулирования влажности движущихся текстильных материалов и полубаффиатов. В отличие от зарубежных приборов аналогичного назначения фирмы Mahlo влагомер ВК-2 с высокой точностью контролирует влажность материалов из синтетических волокон, отличающихся малыми влагопоглощением и диэлектрическими потерями.

В приборе ВК-2 нет ролика со щеточным контактом, катящегося по ткани. Он заменен воздушным конденсатором емкостью примерно 150 пФ, образованным неподвижным цилиндром, соединенным с прибором, и цилиндром, катящимся по контролируемому материалу. Между цилиндрами имеется воздушный зазор около 0,5 мм. Проведенная в последнее время модернизация влагометра с переходом на новую элементную базу позволила улучшить его характеристики. Новый прибор ИВК-4 упрощает методику эксплуатации.

Разработан переносной прибор для контроля влажности сыпучих материалов, например, зерна, семян огурцов, помидоров и др. Он контролирует влажность таких объектов в пределах 2...30 %. Абсолютная погрешность не превышает $\pm 1\%$ при влажности до 15 % и $\pm 1,5\%$ — при 15 % и более. Использование в диссипативном преобразователе индуктивного датчика позволило со-

здать дефектоскоп для обнаружения скрытых дефектов в углепластиках, применяемых на важных промышленных объектах.

Важные результаты были получены при исследовании с помощью преобразователя активного сопротивления льда, подтвердившие возможность регистрации не только воды в жидким топливе, но и льда при температуре до -50°C .

ЛИТЕРАТУРА

1. Белых А. Кварцевые фильтры для трансиверов. — Радио, 2002, № 7, с. 64—67.

2. Савченко В. Энергетический метод измерения незелектрических величин с помощью кварцевых резонаторов. — Инженерно-физический журнал, 1997, № 1, с. 163—167.

3. Савченко В. Е., Грибов Л. К. Датчик влажности газов. Описание изобретения к авторскому свидетельству № 1003003. — Бюллетень "Открытия, изобретения, ...", 1983, № 9.

4. Савченко В. Кварцевые датчики влажности газов. — Радио, 1975, № 11, с. 26, 27.

5. Грибова Л. К., Савченко В. Е. Способ изготовления пьезокварцевого датчика влажности газов. Патент РФ № 2035731. — Бюллетень "Открытия, изобретения, ...", 1995, № 14.

6. Савченко В. Е. и др. Датчик контроля реологических свойств крови. Описание изобретения к авторскому свидетельству № 1399686. — Бюллетень "Открытия, изобретения, ...", 1988, № 20.

7. Лысиков А. Радиолюбительский вклад в народное хозяйство. — Радио, 1987, № 11, с. 47, 48.

8. Савченко В. Е. Устройство для измерения параметров диэлектриков. Описание изобретения к авторскому свидетельству № 321770. — Бюллетень "Открытия, изобретения, ...", 1971, № 35.

9. Савченко В. Е. Параметрический преобразователь малых влагосодержаний диэлектриков в электрический сигнал. Патент РФ № 1049816. — Бюллетень "Открытия, изобретения, ...", 1983, № 39.

Редактор — Л. Ломакин, графика — Л. Ломакин,
фото — автора

МОДУЛЬНАЯ РЕКЛАМА

Условия см. в "Радио", 2004, № 1, с. 10

ПОСЫЛТОРГ — ЖИВ!

Более 25000 радиокомпонентов, 2500 компакт-дисков и 2000 книг и альбомов вы можете заказать и получить по нашим каталогам. Впервые каталоги ПОСЫЛТОРГА на компакт-диске: до 700 Mb полезной и нужной информации всего за 25 рублей. Высылается только по предоплате. По заявкам предприятий и членам клуба "Мастер" — БЕСПЛАТНО.

Каталоги заказывают здесь: 107113, г. Москва, а/я 10 "Посылторг".

* * *

Принципиальные радиосхемы на заказ. Стоимость схемы от 40 до 80 руб. без почтовых расходов. Заказы направлять по адресу: г. Солнечногорск, ул. Почтовая, 11, а/я 13. Мартынову С. Л.

E-mail: ser-martynov@yandex.ru.

Еще один способ изготовления печатной платы

А. КУРИЛОВ, г. Тында Амурской обл.

На страницах журнала "Радио" можно найти описание множества способов изготовления печатных плат. Добавить к ним еще что-либо кажется уже невозможным. Но время идет, а распоряжении радиолюбителей появляются новые технические средства, открывающие новые возможности и способы. Об одном из них пойдет речь в этой статье.

Сама идея не нова — она мелькала в Интернет-конференциях, но мне удалось довести ее до совершенства. Платы, изготовленные в домашних условиях, соперничают с заводскими.

Неудобство указанного способа заключается в том, что для каждой платы, независимо от того, предоставил или нет автор рисунок ее проводников, его приходится рисовать снова. Но и из этого можно и нужно извлечь пользу, попутно скорректировав печать под те детали, которые есть в наличии. Мне, например, приходилось заменять обычные компоненты на поверхности монтируемые.

Для изготовления платы потребуются компьютер с установленной программой ACCEL EDA 15.0, лазерный принтер (автор применял HP LaserJet 1100 и Lexmark Optra R+, но, думаю, подойдет любой имеющийся), утюг (паровые, имеющие отверстия на "подошве", лучше не применять) и специальная бумага, о которой надо сказать отдельно.

В каждой пачке фирменной бумаги для струйных принтеров EPSON есть специальный клейкий лист для чистки тракта принтера. Этот лист используют по прямому назначению, а вот бумажная подложка, на которую он на克莱ен, как раз и потребуется для описываемой цели. Подложка имеет формат А4 и глянцевое покрытие, на которое лазерный принтер прекрасно печатает и не портит нагреванием. Более того, подложку (будем далее называть ее специлистом) можно использовать повторно много раз, если не повредить глянец.

Начинают процесс с подготовки рисунка проводников. Я использовал для этого программу ACCEL EDA версии 15.0. Несколько советов тем, кто будет с ней работать.

Во-первых, не оставляйте принятый по умолчанию в программе диаметр отверстий 0,965 мм в контактных площадках (PAD) — это слишком много, нужно заменить на 0,5...0,6 мм. Полученные точки потом используют как места кернения.

Во-вторых, на слое BOARD обязательно нанесите границы платы — программа автотрассировки PROROUTE работает только в границах, определенных на слое BOARD. По этим границам потом удобно будет обрезать плату, а заготовка должна иметь припуск 4...5 мм с каждой стороны.

В-третьих, не следует предусматривать слишком широкие проводники — более 4...5 мм и заливку крупных участков. Чем крупнее отдельный объект на рисунке, тем хуже он переводится. Оптимальная ширина проводников — 0,5...3,5 мм.

Закончив подготовку рисунка, дают команду на печать. В зависимости от того, в прямом или зеркальном виде готовили рисунок, в задании отмечают или не отмечают значок MIRROR. По умолчанию программа печатает рисунок в верхнем правом углу листа. Поэтому надо так отрегулировать задание, чтобы рисунок получил примерно по центру.

Обязательно заметьте, какой стороной вкладывали лист в принтер (сделайте на листе пометку), — позже это пригодится. Пробный оттиск печатают на простой бумаге, и только после проверки его качества и правильности выполняют печать на подготовленном специалисте.

Здесь уместно заметить, что размеры радиолюбительской платы редко выходят за рамки четверти листа формата А4 и еще реже — за рамки половины. Значит, целесообразно специалист разрезать пополам поперек и одну из половин еще раз пополам. Это позволит не нагревать лишний раз весь лист, каждый раз можно выбрать часть подходящих размеров.

На пробный оттиск накладывают отрезок специалиста, убеждаются, что он с запасом закрывает отпечатанный рисунок. Прикрепляют этот отрезок рабочей стороной наружу бумажными наклейками от аудио- или видеокаскет так, чтобы наклейки не перекрывали поля рисунка. Вставляют получившуюся заготовку в принтер помеченной стороной и печатают рисунок платы на специалисте. Отметим, что никакие другие доступные материалы для приклеивания специалиста не годятся, так как плавятся в принтере.

Поскольку принтер имеет сложный тракт печати со многими перегибами листа, лучше воспользоваться нижним выходом (такая возможность, например, есть у принтера HP LaserJet 1100). Эта мера уменьшит риск повредить оттиск. Если дорожки на отпечатке имеют видимые треугольники или места, где краска отсутствует, процесс придется повторить.

Полученный на специалисте рисунок платы в зеркальном отображении переносят на фольгированый матери-

ал горячим утюгом. Для этого отделяют специалист от бумаги, кладут его рисунком вверх на ровную упругую поверхность (на толстый журнал или стопку газет), чтобы обеспечить прилегание рисунка печати к заготовке платы по всей площади, и накрывают заготовкой платы фольгой к отпечатку. У заготовки обязательно снимают фаски и заусенцы с краев — это позволит без зазоров прижать ее к специалисту и не повредить оттиска. Заготовка, конечно же, должна быть очищена от грязи и жира.

Утюг лучше всего использовать современный, мощностью 1 кВт. Регулятор его температуры устанавливают на отметку посередине между делениями 2 и 3. Оптимальную температуру, возможно, придется уточнить опытным путем.

Заготовку платы сверху прижимают прогретым утюгом на 10...15 с (при толщине стеклотекстолита 1,5 мм). За это время порошок рисунка расплавится и сцепится с заготовкой хотя бы в нескольких местах.

Далее утюг снимают, аккуратно переворачивают заготовку с приглаженным к нему оттиском бумагой вверх, снова прижимают утюгом и плавными его движениями и придавливаниями переводят рисунок на фольгу в течение 10...20 с. При большем времени нагревания и большей температуре может разрушиться глянцевая поверхность спецбумаги или растечься краска рисунка, а это неминуемо приведет к браку.

После того как заготовка остынет до комнатной температуры, осторожно приподнимают специалист, начиная с углов. Если обнаружилось, что часть краски осталась на специалисте, можно еще раз прогреть утюгом эти места и снова остыть.

Травят заготовку как обычно. Применять кислотные и горячие растворы не следует во избежание подтравливания проводников. После промывания протравленной заготовки краску удаляют тканевым тампоном, пропитанным ацетоном, и сверлят отверстия под выводы.

Если плата двусторонняя, сначала травят одну сторону, защитив фольгу другой стороны широкой липкой лентой. Затем сверлят два-три отверстия малого диаметра — 0,4...0,5 мм, необходимые для совмещения рисунков обеих сторон. Отверстия следуют выбирать такие, которые ближе к периметру, на противолежащих краях рисунка. Перед травлением второй стороны готовую первую заклеивают широкой липкой лентой. Отверстия под выводы сверлят после полной обработки второй стороны заготовки.

Для повторного использования специалиста, если, конечно, не был поврежден глянец, его поверхность тщательно протирают мягкой тканью с ацетоном для удаления следов краски. После этого поверхность приобретает чистый желтоватый цвет.

Редактор — Л. Ломакин

Сравнительные характеристики гальванических элементов типоразмера AA

И. ПОДУШКИН, г. Москва

Сегодня в магазинах и на рынках можно встретить множество различных гальванических элементов. Какие выбрать? Предлагаемая статья поможет принять правильное решение.

Для питания различной радиоэлектронной аппаратуры широко применяют гальванические элементы и батареи. Наибольшее распространение получили элементы типоразмера AA. На торговых прилавках можно встретить подобные изделия разных фирм в основном двух электрохимических систем: солевые и щелочные. Совсем недавно фирма Energizer начала выпуск литиевых гальванических элементов типоразмера AA напряжением 1,8 В.

Важнейшая характеристика гальванического элемента — емкость (коли-

чество) питания, которое он способен отдать в нагрузку — почти никогда не указана на этикетке. Покупателю остается ориентироваться на телевизионные рекламные ролики об элементах, которые "работают до десяти раз дольше обычных солевых", или поверить на слово фирме Energizer, утверждающей, что ее новые литиевые элементы e² типоразмера AA работают в пять раз дольше обычных щелочных [1]. Причем остается не вполне понятным, какие именно элементы называются "обычными".

противление литиевого, резко уменьшившись в начале разрядки, до самого ее конца остается практически неизменным, а затем столь же резко увеличивается.

Конечно, проведенные эксперименты нельзя назвать исчерпывающими. Емкость элемента не строго фиксированная величина, она зависит от многих внешних факторов. У разных элементов ее максимум может достигаться при существенно различающихся условиях разрядки. Чтобы учесть все это, пришлось бы провести очень большую, нереальную в любительских условиях серию экспериментов.

Однако попробуем проверить полученные результаты расчетом. Чтобы оценить теоретически максимально возможную емкость элементов различных электрохимических систем, нужно знать химический состав их электродов, электролита и происходящую в элементе химическую реакцию. У солевых и щелочных элементов катод — цинк, анод — двуокись марганца. Именно по этой причине такие элементы обобщенно называют марганцево-цинковыми. Но электролит в них разный: соль (обычно хлорид аммония)

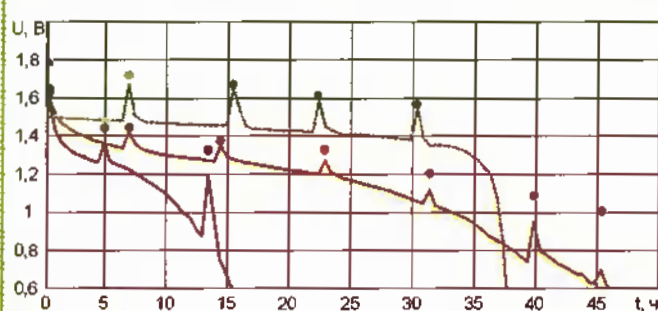


Рис. 1

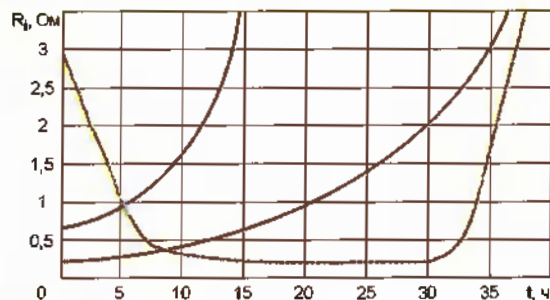


Рис. 2

чество электричества, которое он способен отдать в нагрузку) — почти никогда не указана на этикетке. Покупателю остается ориентироваться на телевизионные рекламные ролики об элементах, которые "работают до десяти раз дольше обычных солевых", или поверить на слово фирме Energizer, утверждающей, что ее новые литиевые элементы e² типоразмера AA работают в пять раз дольше обычных щелочных [1]. Причем остается не вполне понятным, какие именно элементы называются "обычными".

Чтобы количественно сравнить параметры элементов разных электрохимических систем, необходимо испытать их в одинаковых условиях. Такие испытания были проведены с элементами трех типов: солевым Philips Long Life (ЭДС "свежего" элемента — 1,65 В), щелочным Duracell Ultra M3 (1,62 В) и литиевым Energizer e² (1,8 В). Каждый из них был нагружен резистором номиналом 15 Ом, что соответствует начальному току разрядки приблизительно 100 мА. Для элементов типоразмера AA такой ток нагрузки — типовой. Разрядка проводилась циклами по

Если принять в качестве критерия полной разрядки элемента уменьшение напряжения на его нагрузке до 0,9 В, экспериментально определенная емкость солевого элемента составила 1 А·ч, щелочного — 2,9 А·ч, а литиевого — 3,5 А·ч. Следовательно, ни о каких пяти- и десятикратных отличиях в емкости элементов разных электрохимических систем говорить не приходится.

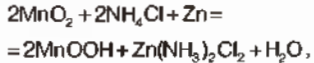
На рис. 2 приведена еще одна серия кривых. Они показывают, как изменяется внутреннее сопротивление элементов в процессе разрядки. Соответствие между типом элемента и цветом кривой здесь такое же, как на рис. 1. Значения внутреннего сопротивления R_i были вычислены по формуле

$$R_i = R_h \left(\frac{E}{U} - 1 \right),$$

где E — ЭДС элемента; U — напряжение под нагрузкой; R_h — сопротивление нагрузки.

Внутреннее сопротивление солевого и щелочного элементов по мере разрядки монотонно возрастает. А со-

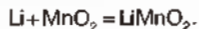
или щелочь (гидроксид калия). По данным [2] в солевом марганцево-цинковом элементе происходит реакция



а в щелочном



О материале электродов и химической реакции в литиевом элементе нет достоверных сведений. Можно лишь предположить, что электроды — литий и двуокись марганца, а электролит — раствор перхлората лития в пропиленкарбонате. Если эта догадка верна, согласно [2] в литиевом элементе идет реакция



Используя закон Фарадея, получим выражение для определения емкости гальванического элемента C , А·ч:

$$C = \frac{mFp}{3600M},$$

где m — масса реагирующих веществ; $F = 96,5 \cdot 10^3$ Кл/г-экв — число Фарда; n — валентность (для солевого и щелочного гальванических элементов — 2, для литиевого — 1); M — суммарная молекулярная масса реагирующих веществ.

Взвешиваем гальванические элементы типоразмера AA: солевой — 17 г, щелочной — 24 г, литиевый — 15 г. Предположим, что по сравнению с массой реагирующих веществ масса корпуса элемента и веществ, не принимающих участия в реакции (угольный электрод, электролит в щелочном и литиевом элементах), ничтожно мала и ее можно пренебречь.

Суммарную молекулярную массу реагирующих веществ вычислим из приведенных выше уравнений химических реакций: у солевого — 346 г, щелочного — 257 г, у литиевого — 94 г. Подставляя в формулу числовые значения, получим максимально возможную емкость солевого элемента — 2,6 А·ч, щелочного — 5 А·ч, литиевого — 4,3 А·ч. Отличия рассчитанных значений емкости от измеренных можно объяснить довольно грубыми допущениями, принятыми при расчете.

Так что пяти- и десятикратных отличий не обнаружено. Теоретическая емкость щелочного элемента примерно вдвое больше емкости солевого, а литиевый не имеет в этом отношении никакого преимущества перед щелочным. Это соответствует результатам эксперимента. По итогам всей проделанной работы можно заключить следующее:

1. Литиевые гальванические элементы обладают наиболее стабильным напряжением, наименьшим внутренним сопротивлением, которое практически не зависит от степени разряженности, и наибольшей, хотя и не намного, емкостью. Их предпочтительнее применять для питания аппаратуры с большим потребляемым током, а также в устройствах, которые автоматически отключаются при снижении напряжения источника питания (например, цифровые фотоаппараты).

2. Щелочные элементы имеют емкость, сравнимую с емкостью литиевых, и также способны отдавать в нагрузку большой ток, однако при меньшем напряжении. Их лучше применять в устройствах со средним током потребления без автоматического контроля напряжения. Во многих случаях щелочные элементы предпочтительнее литиевых, поскольку они в три-четыре раза дешевле.

3. Солевые элементы имеют наименьшую емкость и наибольшее внутреннее сопротивление. Их целесообразно применять в аппаратуре с малым потребляемым током.

ЛИТЕРАТУРА

- Energizer. Battery Products. — <http://www.energizer-eu.com/en/e2_lithium/default.htm>.

- Загорский В. Лекции по общей и неорганической химии. Лекция 5. — <<http://www.chem.msu.su/rus/teaching/general/lections5.html#3>>.

Редактор — А. Долгий, графика — автора

Стабилизатор напряжения с двойной защитой

Ю. КУРБАКОВ, г. Тула

В предлагаемой вниманию читателей статье описан линейный регулируемый стабилизатор с выходным напряжением от 3 до 30 В, обеспечивающий ток нагрузки до 2 А. Его особенность — наличие раздельных ступеней защиты от перегрузки по току и короткого замыкания на выходе.

Схема устройства показана на рис. 1. При замыкании на выходе стабилизатора срабатывает электронный узел защиты на транзисторе VT3, а в случае перегрузки по току — электромеханический узел — реле K1, управляемое триистором VS1. Электронная защита срабатывает, когда в результате замыкания напряжение на выходе ста-

ля SA1 "I" измеряет ток, а в нижнем "U" — напряжение.

Детали стабилизатора, за исключением транзистора VT1, светодиодов HL1 и HL2, кнопки SB1, миллиамперметра PA1 и резисторов R2, R14 и R15, смонтированы на плате из односторонне фольгированного стеклотекстолита. Чертеж платы по-

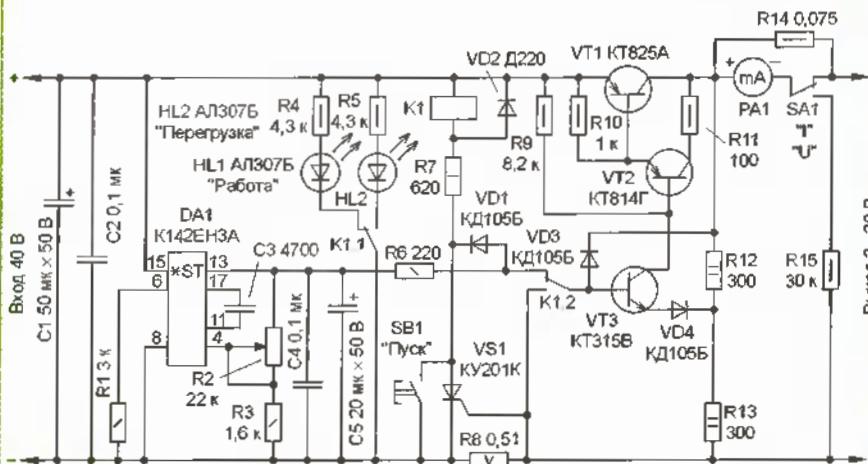


Рис. 1

билизатора уменьшается практически до нуля. Транзистор VT3, а вслед за ним и транзисторы VT2 и VT1 закрываются.

В случае перегрузки ток нагрузки создает на резисторе R8 падение напряжения приблизительно 1 В, достаточное для открывания триистора. База транзистора VT3 через открытые триистор и диод VD1 оказывается соединенной с общим проводом, поэтому транзистор VT3 закрывается, закрывая регулирующий транзистор VT1. Через несколько миллисекунд после этого (время зависит от используемого электромагнитного реле K1) срабатывает реле K1. Его контакты K1.2 замыкают базу транзистора VT3 на общий провод, а контакты K1.1 включают светодиод HL2, сигнализирующий о срабатывании защиты.

После устранения причины перегрузки достаточно кратковременно нажать на кнопку SB1, чтобы восстановить нормальный режим работы устройства.

На вход стабилизатора подают постоянное напряжение 40 В. Выходное стабилизированное напряжение от 3 до 30 В устанавливают переменным резистором R2. Выходное напряжение и ток нагрузки контролируют с помощью миллиамперметра PA1, который в верхнем по схеме положении переключате-

лан на рис. 2. Регулирующий транзистор VT1 устанавливают на ребристом теплоотводе площадью не менее 100 см². Микросхему DA1 припаивают со стороны печатных проводников, а между ее корпусом и платой следует поместить изолирующую прокладку.

Транзистор KT825A (VT1) можно заменить на KT825B, KT825G, KT818VM, KT818GM, транзистор KT814Г (VT2) — на KT814Б, KT814В, KT816Б—KT816Г, транзистор KT315В (VT3) — на KT315Г—KT315Е.

Триистор KU201K заменим на KU201В—KU201И, KU201Л, KU202В—KU202Н. Вместо диода D220 (VD2) подойдут диоды серии D219, D223, KД102, KД103 с любыми буквенно-индексами, а вместо диода KД105Б (VD1, VD3, VD4) — KД106А или любой другой кремниевый с допустимыми прямым током до 300 мА и обратным напряжением не менее 50 В.

Реле K1 — РЭС9 исполнения РС4.529.029-00 (паспорт РС4.524.200) или другое с двумя группами переключающих контактов, срабатывающее при напряжении не более 30 В.

Переменный резистор R2 — любой с характеристикой A. Резистор R8 — несколько витков константанового, никромового или магнанинового провода,

Рис. 2

намотанного на корпус резистора МЛТ-1. Его сопротивление определяется выбранным значением тока срабатывания защиты, что, в свою очередь, зависит от напряжения включения используемого триистора. Возможно применение резисторов С5-16В, С5-16МВ соответствующей мощности.

Более точно сопротивление резистора подбирают в таком порядке. К выходу стабилизатора подключают проволочный переменный резистор сопротивлением 22–30 Ом. Включают устройство, и резистором R3 устанавливают на выходе напряжение 10...15 В. Затем переменным резистором, выполняющим функцию эквивалента нагрузки, устанавливают по амперметру ток, равный 2 А, и, подбирая сопротивление резистора R8, добиваются срабатывания защиты.

В радиолюбительской практике нередко требуется защита с регулируемым порогом. В этом случае в стабилизатор можно ввести ступенчатую регулировку, как показано на рис. 3. Здесь резистор R8, рассчитанный на ток срабатывания защиты 50 мА, включен постоянно, а параллельно ему переключателем SA2 подключают резисторы R16–R19 четырех других ступеней: 100, 500 мА, 1 и 2 А. Резисторы R16–R19 припаиваются непосредственно к контактам переключателя SA2.

Указанные на схеме сопротивления резисторов — ориентировочные. Их можно рассчитать точно, лишь зная напряжение открытия триистора. Измерить это напряжение можно так. Движок переменного резистора R2 устанавливают в крайнее нижнее по схеме

положение и подключают к нему управляющий электрод триистора, предварительно отпаяв его от правого по схеме вывода резистора R8. Затем включают питание и медленно увеличивают резистором R2 напряжение на управляющем электроде. В момент от-

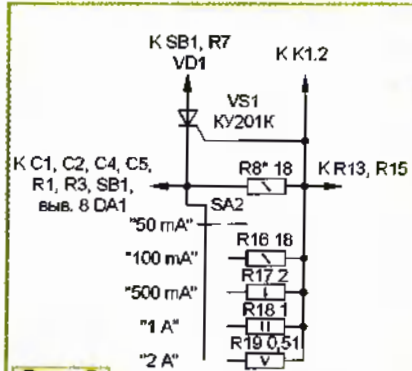


Рис. 3

крытия триистора, о чем просигнализирует светодиод, измеряют вольтметром это напряжение.

Резисторы R14 и R15 подбирают под конкретный миллиамперметр РА1. В авторском варианте применен доработанный вольтметр М4259 на 30 В, у которого удален добавочный резистор сопротивлением 30 кОм. Резистор R14 составлен из двух сопротивлений 0,2 и 0,12 Ом, соединенных параллельно.

Редактор — В. Чуднов, графика — В. Чуднов



Все отечественные микросхемы Справочник

М.: Издательский дом «Додэка-ХХI», 2003. - 400 с.
2-е изд., перераб.

Прошедшее десятилетие для отечественной электронной (полупроводниковой) промышленности стало периодом серьезных испытаний, но слухи о ее смерти сильно преувеличены. В настоящее время полупроводниковая промышленность продолжает выпуск новых приборов и микросхем, конкурентоспособных зарубежным аналогам как по электрическим, климатическим и надежностным характеристикам, так и по цене.

Цель настоящего справочника — ознакомить широкий круг специалистов и радиолюбителей с номенклатурой выпускаемых приборов и микросхем, облегчить отечественному разработчику переход на новую элементную базу, уточнить адрес производителей и модель зарубежного аналога изделий.

Справочник является логическим продолжением первого издания 1997 г. Он устанавливает связь между типом отечественной микросхемы, ее зарубежным аналогом, функциональным назначением, отечественным и зарубежным производителем. В нем перечислены все когда-либо разработанные и произведенные на территории СНГ микросхемы — всего около 8000 типов. По сравнению с первым изданием значительно расширен перечень приборов, уточнены аналоги многих микросхем. Добавлена информация о состоянии производства, появилась таблица функционального назначения микросхем, таблица типономиналов, рекомендуемых к применению. Полностью обновилась таблица с адресами отечественных производителей микросхем.

В первую очередь, справочник адресован разработчикам электронной аппаратуры и работникам материально-технического снабжения, но может быть полезен студентам вузов соответствующих специальностей и радиолюбителям.

**Издательский дом
«Додэка»**

Заказать книги
можно на сайте
www.dodeca.ru

105318 Москва, а/я 70, ул. Щербаковская, 53
Тел./факс: (095) 366-8145, 366-2429, 366-0922
E-mail: book@dodeca.ru

Мощный импульсный стабилизированный блок питания

R. КАРОВ, С. ИВАНОВ, г. София, Болгария

В предлагаемой вниманию читателей статье описан мощный импульсный источник для питания различной электронной аппаратуры. Он собран по схеме полумостового инвертора, управляемого ШИ-контроллером TL494.

Появление мощных высоковольтных полевых транзисторов явилось предпосылкой для развития сетевых высокочастотных блоков питания с широтно-импульсным (ШИ) управлением [1, 2]. Основные преимущества подобных источников перед традиционными линейными — получение большей мощности на нагрузке при меньших габаритах и, соответственно, большего КПД [3].

Схема предлагаемого импульсного блока питания показана на рис. 1. Основа устройства — преобразователь, собранный по полумостовой схеме. В источнике питания выполнена полная гальваническая развязка между входной высоковольтной и выходной цепями. Узел управления собран на основе ШИ-контроллера TL494.

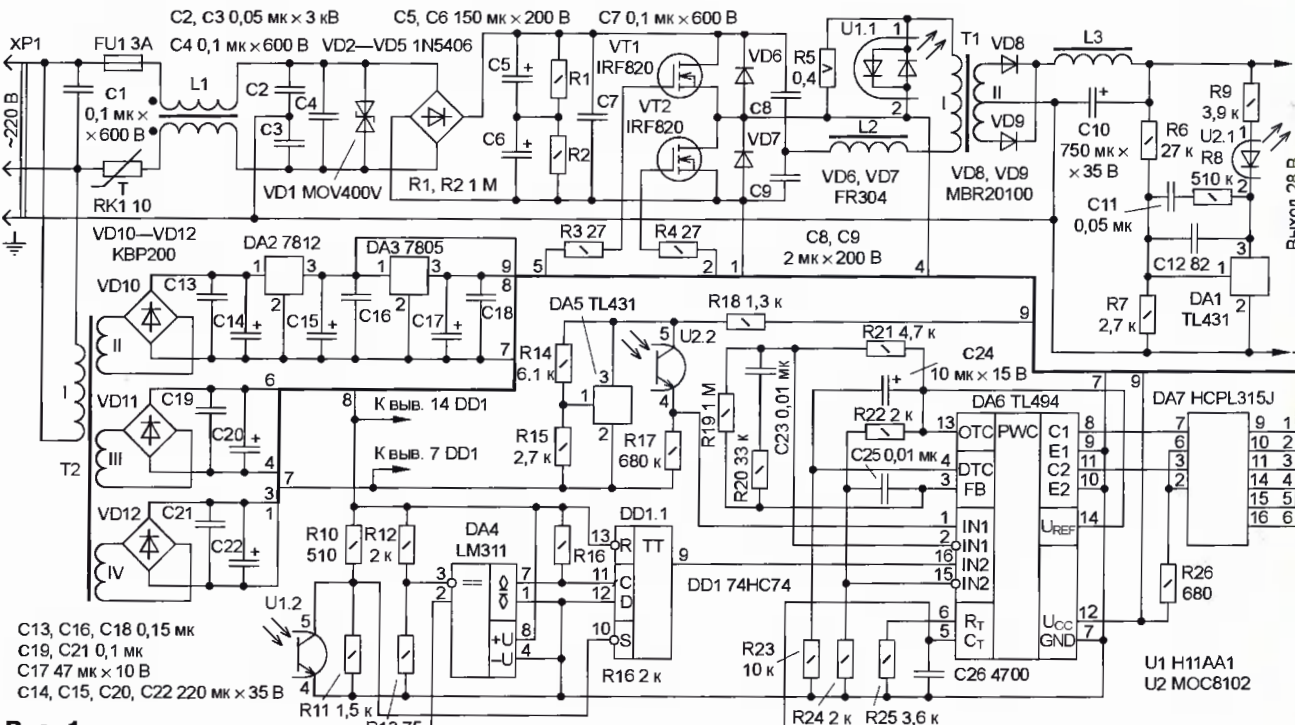


Рис. 1

Основные технические характеристики источника питания

Выходное напряжение, В	28
Максимальный ток нагрузки, А	10
Номинальная частота преобразования, кГц	100

чий ток стабилизатора DA1. При выбранном токе в этой цепи I_2 (значение тока должно быть в допустимых пределах для стабилизатора DA1) сопротивление резистора R9 рассчитывают по формуле

$$R9 = \frac{U_{\text{вых}} - (2,5 + U_F)}{I_2},$$

где U_F — падение напряжения на излучающем диоде оптрана U2.1.

Микросхема DA5 стабилизирует напряжение 8 В для питания делителя, состоящего из фототранзистора оптрана U2.2 и резистора R17. Напряжение от средней точки делителя поступает на неинвертирующий вход первого усилителя сигнала ошибки ШИ-контроллера DA6.

Напряжение для питания узла управления и драйверов (микросхема DA7) полевых транзисторов обеспечивает вспомогательный источник на сетевом трансформаторе T2 и аналоговых стабилизаторах напряжения DA2 и DA3.

Узел защиты по току собран на компараторе DA4 и триггере DD1.1. Функцию датчика тока выполняет резистор R5, включенный в диагональ полумоста. На неинвертирующий вход компаратора DA4 подается напряжение треугольной формы с конденсатором (С26) частотозадающей цепи тактового генератора ШИ-контроллера (рис. 2). На выходе компаратора формируются тактовые импульсы, поступающие на вход С триггера DD1.1.

Если падение напряжения на резисторе R5 достигнет 1,1 В, включаются излучающие диоды и открывается фототранзистор оптрана U1. На вход S триггера DD1.1 поступит низкий уровень. На прямом выходе триггера DD1.1 и, следовательно, на неинвертирующем входе второго усилителя сигнала ошибки ШИ-контроллера DA6 установится

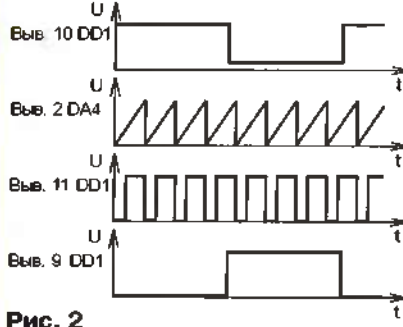


Рис. 2

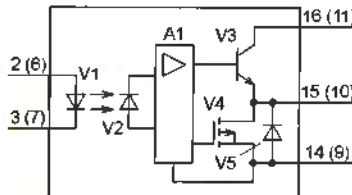


Рис. 3

мера выводов второго канала. Каждый канал содержит оптрон и усилитель с мощным токовым выходом. Подобные микросхемы широко используются для управления как асинхронными, так и электродвигателями постоянного тока.

Параметры драйвера позволяют непосредственно управлять полевыми транзисторами с изолированным затвором, коммутирующими ток до 50 А при напряжении не более 1200 В.

Основные параметры микросхемы HCPL315J

Максимальный пиковый выходной ток, А	0,6
Максимальное выходное напряжение, В	1
Максимальный потребляемый ток, мА	5
Интервал напряжения питания, В	15...30
Рабочий интервал температуры, °C	-40...+100

Сопротивление резисторов R3 и R4 в цепях затворов коммутирующих транзисторов рассчитывают по формуле

$$R_3(R_4) \geq \frac{U_{C20(C22)} - U_L}{I_L}$$

где $U_{C20(C22)}$ — напряжение питания драйвера (напряжение на конденсаторе C20 или C22); U_L — выходное напряжение драйвера; I_L — максимальный пиковый выходной ток.

В диагональ полумоста включены первичная обмотка трансформатора T1 и дроссель L2 (индуктивность дросселя может включать в себя индуктивность рассеивания трансформатора) [4]. Трансформатор выполнен на магнитопроводе Е-Е типоразмера F-43515 фирмы Magnetics Inc. Первичная обмотка содержит 38 витков провода #19AWG, а вторичная — 5+5 витков, намотанных проводом #12AWG. Дроссель L2 наматывают на магнитопроводе F-41808ЕС фирмы Magnetics Inc. Обмотка дросселя L2 состоит из 8 витков провода #19AWG.

Дроссель L3 выполнен на магнитопроводе торOIDальной формы MPP 55930A2 фирмы Magnetics Inc. Обмотка дросселя L3 содержит 20 витков провода #12AWG. Дроссель входного фильтра L1 — E3993 фирмы Coilcraft, его индуктивность — 900 мГн.

При включении транзистора VT1 (или VT2) через первичную обмотку трансформатора T1 за время управляющего импульса t_1 начинает протекать линейно нарастающий ток (рис. 4). Когда транзистор VT1 (или VT2) закроется, вследствие накопленной в первичной обмотке трансформатора и дросселе L2 энергии в цепи за время t_2 в этом же направ-

лении продолжает протекать линейно уменьшающийся ток. Он замыкается через диод VD7, если выключился транзистор VT1 (или через диод VD6, если выключился транзистор VT2).

Не учитывая активные потери мощности в цепи первичной обмотки трансформатора, запишем уравнения для интервалов времени t_1 и t_2 :

$$E_0 = U'_0 - L_1 \frac{dI}{dt}; U'_0 + L_1 \frac{dI}{dt} = -E_0,$$

где $E_0 = U_{nm}/2$ — половина напряжения питания; U'_0 — выходное напряжение источника, приведенное к первичной обмотке трансформатора T1 и дросселя L2.

Отсюда получим выражения для времени t_1 и t_2 (см. рис. 4):

$$t_1 = \frac{L_1 I_m}{E_0 - U'_0}, t_2 = \frac{L_1 I_m}{E_0 + U'_0},$$

где I_m — максимальный ток первичной обмотки трансформатора.

Время протекания тока через первичную обмотку трансформатора в одном направлении $t_n = t_1 + t_2$ можно выразить следующим образом:

$$t_n = L_1 \frac{2E_0}{(E_0 - U'_0)(E_0 + U'_0)}.$$

Если принять, что

$$E_0 + U'_0 \approx 2E_0,$$

то время протекания тока равно

$$t_n = L_1 \frac{1}{E_0 - U'_0}.$$

Из этого равенства получим уравнение для внешней характеристики источника питания. Например, для коэффициента заполнения управляющих импульсов

$$t_n = \frac{1}{4} T_y = \frac{1}{4f_y},$$

следует

$$\frac{E_0 - U'_0}{L_1} = 4f_y I_m,$$

откуда

$$\frac{U'_0}{E_0} = 1 - 4L_1 f_y \frac{I_m}{E_0}.$$

Если обозначить

$$Q_k = \frac{\omega L_1}{E_0 I_m},$$

то уравнение внешней характеристики источника питания имеет вид

$$\frac{U'_0}{E_0} = 1 - \frac{2}{\pi} Q_k.$$

Внешняя характеристика блока питания показана на рис. 5. Выходное на-

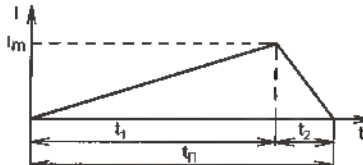


Рис. 4

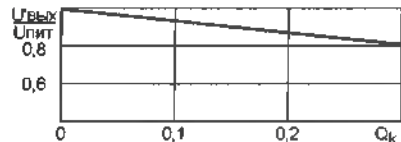


Рис. 5

пряжение источника зависит от сопротивления резистора R17 — чем меньше сопротивление, тем меньше напряжение на выходе. Ток срабатывания защиты определяется сопротивлением датчика — резистора R5.

ЛИТЕРАТУРА

1. Hexfet designer's manual, vol. I. — Published by International Rectifier, 1993.
2. Carmelo L. A New Driving Circuit for IGBT Devices. — IEEE Transaction On Power electronics, vol. 10, № 3, May 1995, pp. 373—378.
3. Brown M. Practical Switching Power Supply Design. — San Diego, Academic Press, 1990.
4. Ivensky G. Reducing IGBT Losses in ZCS Series Resonant Converters. — IEEE Transactions on industrial electronics, vol. 46, № 1, February 1999.

Редактор — В. Чуднов, графика — В. Чуднов

От редакции. Диаметр провода #19AWG — 0,912 мм, #12AWG — 2,05 мм.

МОДУЛЬНАЯ РЕКЛАМА

Ульяновск, г. Радио, 2004, № 1, с. 10

«ПОЗЫВНОЙ»

ПРЕДЛАГАЕТ РАДИОНАБОРЫ
(корпус, печ. платы с р/дет.,
цифр. шкала)

РН-1 АМ р/ст. на 160 м
РН-3 СSB р/ст. на 160, 80 м

РН-5 ЧМ р/ст. на 10 м

РН-7 SSB р/ст. на 160, 80, 40 м

РН-9 частотомер

РН-13 ЧМ р/ст. на 2 м (синтез.
частоты).

Реализуем ЭМФ-500-3В(Н)
603163, г. Н. Новгород, а/я-49
“ПОЗЫВНОЙ” Тел. (8312) 32-46-53
E-mail: pozvnoi@vrc.ru

* * *

Доставка почтой по России. Радиостанции. Радиодетали. Приборы. Инструменты. Электроника для автомобилей. Все для телефонии и TV. Для бесплатного каталога — конверт. 107031, г. Москва, а/я. ящ. 101.

Детектор излучения сотового телефона

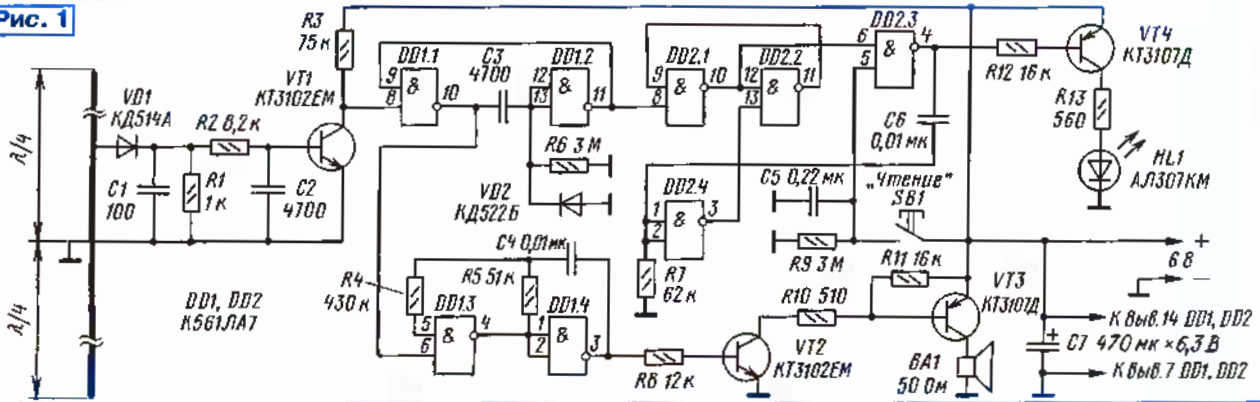
Ю. ВИНОГРАДОВ, г. Москва

Предлагаемое устройство фиксирует факт включения передатчика находящегося неподалеку сотового телефона. Это может потребоваться при ремонте аппарата или при экспериментах с антеннами для него. А учитывая, что телефон всегда кратковременно выходит в эфир в ответ на поступивший вызов, прибор может послужить и своеобразным дублером звонка.

Излучение телефона нетрудно обнаружить по высокочастотному сигналу, наведенному в расположенной поблизости антенне. Для этого достаточно изготовить прибор, схема которого показана на рис. 1. Амплитудным детектором СВЧ колебаний служит диод VD1.

яние триггера, достаточно нажать кнопку SB1: "загорелся" светодиод HL1, значит, за время, прошедшее с прошлого ее нажатия, был принят СВЧ сигнал. Импульс, сформированный на выходе элемента DD2.3 при отпускании кнопки, возвратит триггер в исходное состояние.

Рис. 1



Если амплитуда принятого сигнала достаточно велика, выходное напряжение детектора откроет транзистор VT1. Это приведет к тому, что на выходе элемента DD1.1, образующего с элементом DD1.2 одновibrator, возникнет импульс высокого логического уровня длительностью приблизительно 10 мс (0,7R6C3). Он разрешит работу мультивибратора (элементы DD1.3, DD1.4) на частоте приблизительно 1,5 кГц, зависящей от номиналов резистора R5 и конденсатора C4. Пакет импульсов, усиленных по мощности транзисторами VT2 и VT3, будет воспроизведен динамической головкой BA1 как громкий щелчок. Так прибор отреагирует на выход сотового телефона в эфир даже на очень короткое время.

Но как не информативен акустический сигнал, он не будет услышан, если поблизости нет человека. Поэтому прибор дополнен узлом памяти и световой индикации, аналогичным описанному автором в статье "Электронная "метка" ("Радио", 2002, № 11, с. 33, 34).

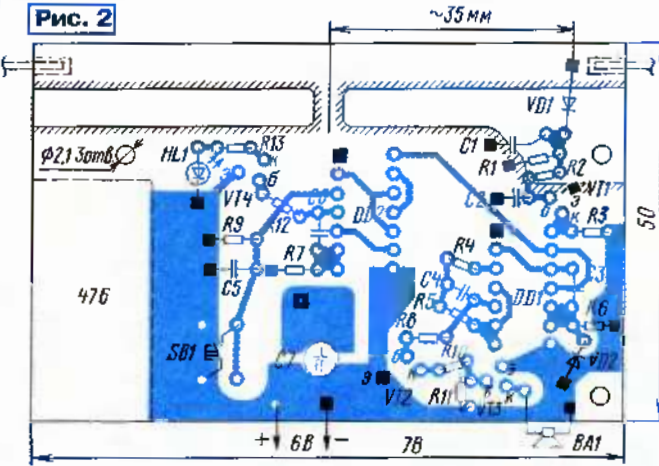
При срабатывании одновибратора на выходе DD1.2 возникает импульс низкого логического уровня, который переводит триггер на элементах DD2.1, DD2.2 в состояние высокого уровня на выходе элемента DD2.1. Чтобы выяснить состо-

ходящих размеров с возможно меньшей утечкой (она не должна оказаться на общем энергопотреблении прибора). Светодиод HL1 — любой, имеющий достаточно яркое свечение при токе 7...8 мА. Звукоизлучающая головка BA1 — любая сопротивлением 50 Ом.

Очень важный элемент — диод VD1 — должен иметь возможно меньшую собственную емкость. Вот некоторые из подходящих по параметрам и конструкции диодов (в скобках указана их емкость при нулевом смещении): 2Д926А (0,35 пФ), АД516А (0,5 пФ), АД516Б (0,35 пФ), КД413А, КД413Б (0,7 пФ), КД417А (0,4 пФ), КД514А (0,9 пФ).

Длина полуволнового вибратора для диапазона 900 МГц должна составлять приблизительно 150 мм, а для 1800 МГц — вдвое меньше. Однако опыт показал, что в большинстве случаев надобности в полноразмерной антенне нет.

Рис. 2



Печатная плата прибора показана на рис. 2. Ее изготавливают из двухсторонне фольгированного стеклотекстолита толщиной 1,5 мм. Фольга со стороны установки деталей использована в качестве общего провода и экрана, из нее же образован антенный вибратор. Соединения выводов деталей с общим проводом показаны зачерненными квадратами. Квадратом со светлой точкой в центре — проходящая сквозь плату перемычка, соединяющая с общим проводом миниусовый вывод конденсатора С7.

Все резисторы — МЛТ-0,125. Конденсаторы С1 — КД-1, С2—С6 — КМ-6 или К10-176, С7 — любой оксидный под-

сигнал сотового телефона LX677 Ericsson частотой 860 МГц надежно принимается на "печатный" вибратор прибора с расстояния 0,15 м.

При необходимости длину антенны можно увеличить, припаяв к концам вибратора гнезда от штыревого разъема, как показано на рис. 2. В них вводят отрезки жестких проводов нужной длины. Для диапазона 900 МГц — приблизительно 35 мм, для 450 МГц — 110 мм. Для удлинителей потребуются небольшие отверстия в боковых стенках корпуса.

Чрезвычайно низкое энергопотребление прибора в дежурном режиме (менее 5 мА) позволяет использовать для его питания практически любой источник напряжением 6 В. Очень удобна малогабаритная батарея 476 (диаметр 13 мм, длина 25 мм) емкостью 105 мАч. Именно под нее рассчитан вырез платы, показанный штриховыми линиями на рис. 2. Батарея соединена короткими проводами с соответствующими контактными площадками на плате. Выключатель питания не обязательен — энергии такой батареи хватает по меньшей мере на год непрерывной работы.

Корпус прибора можно склеить из ударопрочного полистирола, его размеры — 85×57×25 мм.

Редактор — А. Долгий, графика — Ю. Андреев

Устройство защиты маломощных ламп накаливания

А. БУТОВ, с. Курба Ярославской обл.

Срок службы осветительных ламп накаливания по сравнению, например, с люминесцентными невелик. К тому же продолжительность жизни лампы нередко оказывается значительно меньше ожидаемой по причине повышенного напряжения в сети или в результате больших бросков тока в момент включения. Предлагаемое простое устройство устраняет перегрузки, не позволяя току, текущему через лампу, превысить номинальное значение ни при каких обстоятельствах, даже во время пуска.

Ранее было предложено немало устройств для "мягкого" включения ламп накаливания [1—5], в основном на симисторах и триисторах. Ни одно из них, конечно, не в состоянии предотвратить постепенную деградацию вольфрамовой нити, ведущую к ее перегоранию, однако реальный срок службы ламп с "замедлителями" все же возрастает в 1,5...3 раза.

Чтобы лампу мощностью больше той, на работу с которой было настроено. Например, если установить в оснащенный им холодильник вместо стандартной лампы на 15 Вт внешне очень похожую на нее мощностью 25 Вт и замкнуть выключатель, загорится не лампа, а светодиод "Перегрузка". Такое свойство очень полезно при пользовании распространенными сегодня светиль-

разрядки времязадающего конденсатора или охлаждения до комнатной температуры нагревшегося терморезистора.

Устройство защиты собирают по схеме, показанной на рис. 1, и включают в разрыв любого из идущих к лампе EL1 сетевых проводов. После замыкания контактов выключателя SA1 переменное сетевое напряжение поступает на диодный мост VD1—VD4. В диагонали моста находится ключ на составном транзисторе VT1—VT3. Благодаря резистору R2 и большому коэффициенту передачи тока составного транзистора ключ открыт, цепь лампы EL1 замкнута.

Подстроечным резистором R6 устройство регулируют таким образом, чтобы триистор VS1 открывался при падении напряжения на датчике тока — резисторе R7, чуть большем соответствующего номинальной для лампы EL1 амплитуде тока. Открывание триистора приводит к закрыванию транзисторов и отсечке тока, текущего через лампу. Его небольшая часть, продолжающая течь через резистор R2 и открытый триистор, для заметного нагрева нити накаливания недостаточна. Триистор закроется, когда его ток на границе двух полупериодов уменьшится до нуля.

Сопротивление холодной вольфрамовой нити накаливания лампы EL1 во много раз меньше, чем разогретой до рабочей температуры. В результате в первом после замыкания контактов выключателя SA1 полупериоде отсечка происходит задолго до его окончания, так как ток очень быстро достигает установленного подстроечным резистором R6 предельного значения. В следующем полупериоде сопротивление слегка нагревшейся нити уже больше и отсечка происходит немного позже. Так продолжается до полного прогрева, когда ток уже не достигает порогового значения и лампа светит в полный накал.

Интегрирующая цепь C1R3 немного задерживает открытие триистора VS1. Без нее в первых после замыкания выключателя SA1 полупериодах отсечка происходит настолько быстро, что нить накаливания не успевает заметно нагреться. В результате процесс зажигания лампы может затянуться на неопределенное время. Следует отметить, что разогрев идет сравнительно медленно, пока яркость лампы не достигнет приблизительно половины номинальной, после чего она возрастает скачком.

Напряжение на выходе диодного моста VD1—VD4 по достижении лампой EL1 мощностью 60 Вт максимальной яркости не превышает 5 В, что соответствует суммарной мощности, рассеиваемой всеми элементами устройства защиты, менее 2 Вт. Немного сниженное по сравнению с сетевым напряжением, приложенное к лампе, благоприятно влияет на срок ее службы, практически не сказываясь на яркости.

Устройство защиты смонтировано на односторонней печатной плате размерами 90×55 мм (рис. 2) и помещено в пластмассовый защитный корпус. Самый ответственный элемент конструкции — транзистор VT3. Он должен быть высоковольтным, выдерживать сравнительно большой ток и иметь достаточный коэффициент передачи тока базы

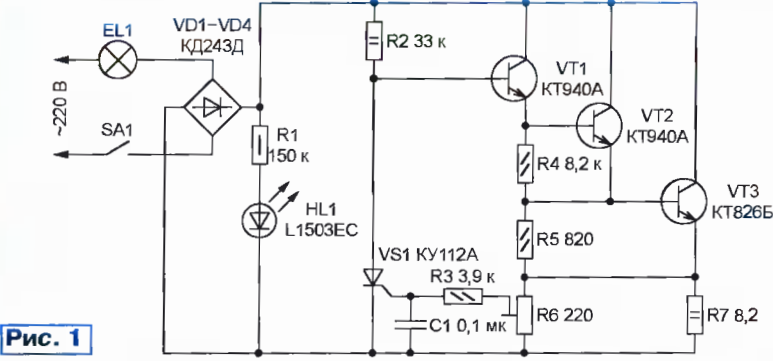


Рис. 1

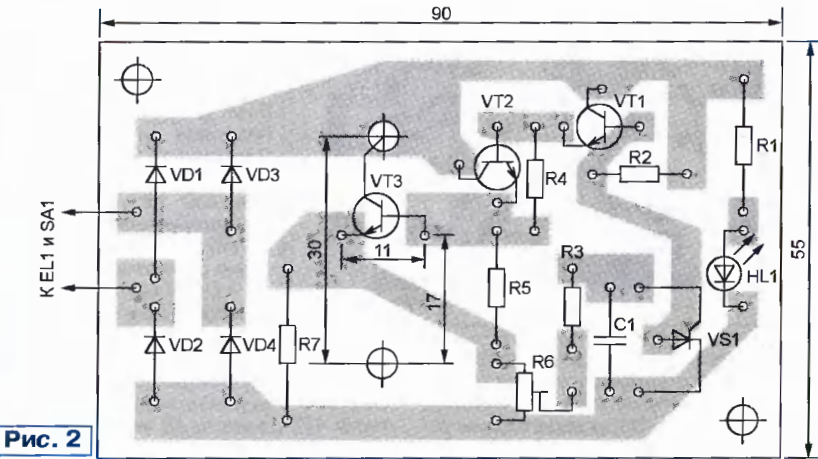


Рис. 2

Предлагается аналогичное устройство на дешевых высоковольтных транзисторах, которое, хотя и было первоначально предназначено для защиты лампы мощностью 15 Вт (подсветка холодильника), вполне обеспечивает мягкое включение любых ламп накаливания на 220 В мощностью до 60 Вт. Уникальная особенность рассматриваемого устройства — оно не позволит вклю-

чиками из нетермостойкой пластмассы, предназначенными для ламп накаливания мощностью не более 40...60 Вт. Включение такого светильника с лампой большей мощности неизбежно приведет к его порче, а то и к пожару.

В отличие от других "замедлителей", предлагаемый готов к повторному включению немедленно после выключения, не требуя, например, ожидания полной

Дверной звонок на микросхеме ISD25xxx

И. НЕЧАЕВ, г. Курск

Дверные звонки, оповещающие о приходе гостей какой-либо мелодией или другими звуками, в журнале описывались не раз. В последние годы их стали собирать на основе микроконтроллеров, что вместе с упрощением конструкции значительно расширило их возможности. Однако не секрет, что повторение устройств на микроконтроллерах пока еще доступно не всем, так как требует наличия компьютера, программатора и соответствующего программного обеспечения. Предлагаемый звонок выполнен на базе специализированной микросхемы семейства ChipCorder компании Winbond Electronics. Главная его особенность — возможность использования в качестве звукового сигнала любых звуковых фрагментов (речи, музыки и т. д.), которые просто записываются в память микросхемы, как на обычный магнитофон.

Принципиальная схема дверного звонка показана на рис. 1. Его основа — микросхема серии ISD25xxx [1], представляющая собой устройство записи—воспроизведения звуковой информации. Принцип действия микросхемы аналогичен используемому в приборах серий ISD1200, ISD1400 [2] и основан на технологии хранения аналогового сигнала в многоуровневых энер-

Работает устройство следующим образом. В исходном состоянии микросхема DA1 находится в дежурном режиме и потребляет небольшой ток — несколько микроампер. Кнопку звонка с замыкающими контактами подключают к гнезду XS3. При кратковременном нажатии на нее микросхема воспроизводит первый звуковой фрагмент, а по его окончании снова возвращается в дежурный режим.

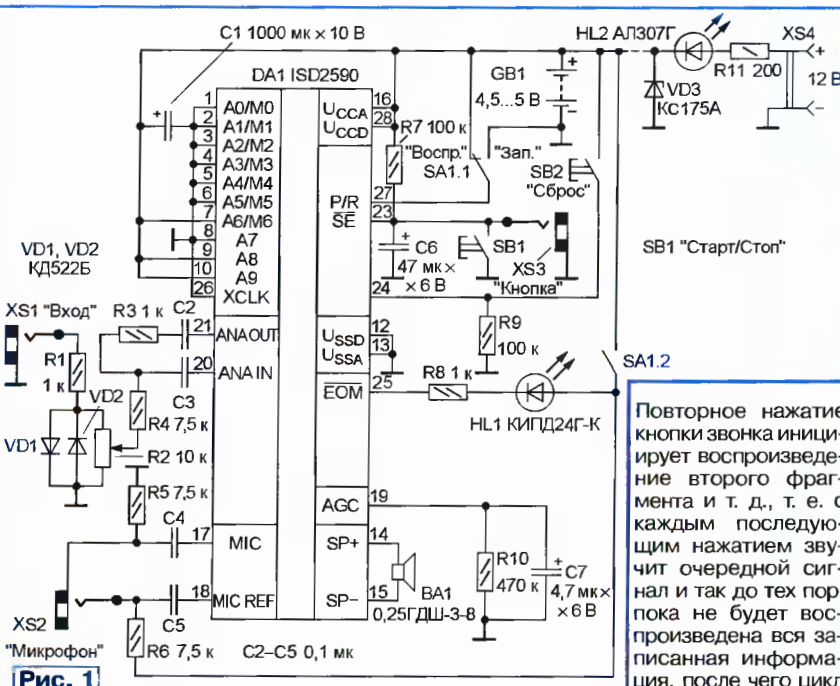


Рис. 1

гонезависимых ячейках памяти. Срок хранения информации 100 лет, число циклов запись—воспроизведение не менее 100 000.

(не менее 8 при $I_k=1$ А и $U_{ce}=12$ В). Подходят транзисторы серий KT826, KT809, KT812, KT840, KT841, KT845, KT847, KT848. Естественно, годятся и аналогичные транзисторы с префиксом 2 вместо K. Из импортных можно назвать 2SC2555, 2SC3306, BU526, BU931. Транзисторам в пластмассовом корпусе потребуется теплоотвод.

Транзисторы KT940A при необходимости заменяют на KT6135A, KT969A, KT9179A, 2SC2330, MJE340, BF459 с учетом различий в назначении выводов. Вместо диодов КД243Д пригодны КД209А, КД243Г, КД257Б, КД226Г, 1N4004 и другие аналогичные. Светодиод HL1 может быть любым, желательно красного свечения, ведь он сигнализирует о нештатной ситуации. Конденсатор C1 — K73-17 или K73-9, постоянные резисторы — С1-4, С2-23, МЛТ, подстроечный R6 — СП3-386. Лампу EL1 предпочтительнее взять новую, еще не работавшую.

Прежде чем подать сетевое напряжение, движок подстроечного резистора R6 установите в верхнее по схеме положение. Замкните выключатель SA1 и, плавно перемещая движок резистора R6, добейтесь загорания лампы. Желательно, чтобы свет лампы достигал полной яркости за 0,3...0,6 с. Можно добиться значительно более продолжительного нарастания яркости (до 3...5 с), но отрегулированное таким образом устройство будет слишком чувствительным к изменениям температуры окружающего воздуха и параметров защищаемой лампы в результате ее старения.

При правильной регулировке подключение параллельно горящей 40-ваттной лампе еще одной 15-ваттной должно приводить к погасанию или резкому уменьшению яркости ранее включенной.

Если устройство предполагается использовать для защиты ламп мощностью не менее 40 Вт, номинал резистора R7 допустимо уменьшить вдвое. Можно поступить и таким образом: правый (по схеме) вывод резистора R3 соединить непосредственно с эмиттером транзистора VT3, исключив подстроечный резистор R6. Постоянный резистор R7 заменить низкоомным подстроечным проволочным, например, ППБ-ЗА, СП5-50М, ППЗ-12, соединив его подвижный контакт с одним из крайних выводов. Это уменьшит до минимума падение напряжения на датчике тока и на приборе в целом.

Цели и элементы устройства непосредственно связаны с сетью 220 В, при работе с ним необходимо соблюдать меры электробезопасности.

ЛИТЕРАТУРА

- Нечаев И. Регулируем яркость светильника. — Радио, 1992, № 1, с. 22; 1995, № 9, с. 63.
- Бенинов В. Защита электроосветительных приборов. — Радио, 1990, № 12, с. 53.
- Нечеев И. Регулятор яркости светильника с плавным включением. — Радио, 1995, № 11, с. 33.
- Коломойцев К. Лампа накаливания служит дольше. — Радио, 1993, № 9, с. 53.
- Вяхирев В., Духновский М. Терморезистор — ограничитель пускового тока лампы накаливания. — Радио, 1996, № 1, с. 58, 59.

Редактор — А. Долгий, графика — А. Долгий

Разработано
в лаборатории
журнала "РАДИО"

фрагментов может быть любым, но их суммарная продолжительность определяется типом микросхемы (см. таблицу).

Кнопка SB1 ("Старт/Стоп") дублирует звуковую и используется при записи, а также для проверки содержимого памяти микросхемы в режиме воспроизведения. Конденсатор C6 снижает чувствительность устройства к помехам. При нажатии кнопки SB2 ("Сброс") микросхема возвращается в начало первого фрагмента.

Микросхема	Длительность записи (воспроизведения), с	Полоса пропускания, кГц
ISD2560	60	3,4
ISD2575	75	2,7
ISD2590	90	2,3
ISD25120	120	1,7

Для записи сигналов можно использовать электретный микрофон (его подключают к гнезду XS2) или любой другой источник сигнала — телевизор, радиоприемник, звуковую карту компьютера и т. д. (их подсоединяют к гнезду XS1). Диоды VD1, VD2 защищают вход микросхемы от недопустимого уровня сигнала, с помо-

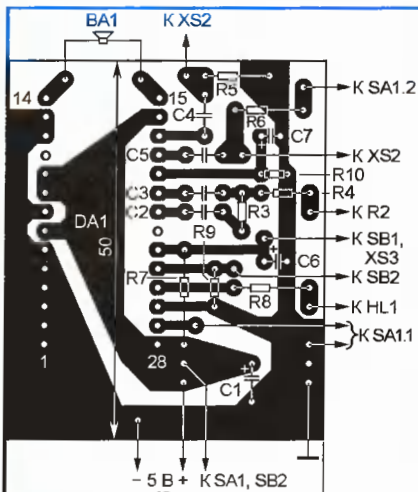


Рис. 2

щью переменного резистора R2 устанавливают необходимый уровень записи.

Чтобы записать фрагмент, переключатель SA1 переводят в правое (по схеме) положение (при этом зажигается светодиод HL1) и кнопкой SB2 "Сброс" устанавливают микросхему в начало записываемого блока сигналов. Затем кратковременно нажимают кнопку SB1, при этом светодиод гаснет и начинается запись первого фрагмента. Завершают запись нажатием этой же кнопки (SB1), в результате чего светодиод снова зажигается.

Аналогично записывают остальные фрагменты. Сигнал заполнения памяти микросхемы — постоянное свечение индикатора HL1. Для записи через гнездо XS2 удобно применить мультимедийную микрофонную гарнитуру с электретным микрофоном, например, MHS101, MHS111 или аналогичную. Если используется отдельный микрофон, его вывод "+" подключают к центральному контакту этого гнезда.

Завершив запись, переключатель SA1 переводят в исходное (показанное на схеме) положение и, кратковременно нажав кнопку SB1, прослушивают первый фрагмент, нажав ее еще раз — второй и т. д.

Поскольку в дежурном режиме потребляемый ток невелик, специальный выключатель питания в устройстве не предусмотрен. Если же звонок необходимо отключать, например, на ночь, выключатель вводят в цепь источника пи-

тания. При отсутствии надобности в записи от микрофона схему можно упростить, исключив элементы C2, C4, C5, R3—R6, XS2, а взамен R4 установить перемычку. Для записи только с микрофона из схемы исключают элементы R1, R2, R4, VD1, VD2, XS1.

В устройстве можно применить любую микросхему серии ISD25xxx, но при этом надо учесть, что чем больше ее емкость, тем меньше полоса пропускания (см. таблицу). Наилучшее качество звучания обеспечивает ISD2560, если же необходимо иметь большую продолжительность записи — воспроизведения, следует применить ISD2575, ISD2590 (использовать ISD25120 не рекомендуется из-за слишком узкой полосы пропускания). Светодиод HL1 — любой малогабаритный, желательно с повышенной яркостью свечения, диоды VD1, VD2 — КД503, КД521, КД522 с любым буквенным индексом, полярные конденсаторы — любые малогабаритные, неполярные — K10-17а, переменный резистор R2 — СП3-4, СП4-1 и т. п., постоянные — МЛТ, С2-33, Р1-4. Кнопки SB1, SB2 — любые малогабаритные без фиксации в нажатом положении, переключатель SA1 — двухполюсный любого типа, гнезда XS1, XS2 — стандартные для подключения головных стереотелефонов. Динамическая головка BA1 — любая мощностью 0,1...1 Вт, для увеличения громкости следует применять головку с повышенной отдачей. Для соединения с кнопкой звонка желательно использовать экранированный провод (оплетку соединяют с общим проводом).

Питать звонок можно от стабилизированного блока с выходным напряжением 5 В при токе до 100 мА, а также от батареи, составленной из трех гальванических элементов или четырех никель-кадмевых аккумуляторов. В последнем случае для подзарядки батареи используют блок питания с напряжением 12 В (его подключают к розетке XS4), а в устройство вводят элементы VD3, HL2 и R11. Номинал последнего выбирают исходя из необходимого зарядного тока. Стабилитрон VD3 ограничивает напряжение на микросхеме в процессе зарядки. Светодиод HL2 — индикатор зарядки.

Большинство деталей монтируют на печатной плате, изготовленной в соответствии с рис. 2. Вместе с батареей питания ее помещают в корпус подходящих размеров, на стенках которого закрепляют переменный резистор R2, кнопки SB1, SB2, переключатель SA1, гнезда XS1—XS3 и светодиод HL1 (а при питании от аккумуляторной батареи — еще и розетку XS4 и светодиод HL2). Диоды VD1, VD2 и резистор R1 монтируют на выводах резистора R2, резистор R11 — на выводах розетки XS4.

ЛИТЕРАТУРА

1. Описание микросхем серии ISD25xxx. — <http://www.winbond-ueb.com/products/isd_products/chipcorder/datasheets/2560/ISD2560.pdf>.

2. Подорожный С. Микросхемы ChipCorder для записи и воспроизведения речи. — Радио, 2001, № 10, с. 20.

Редактор — В. Фролов, графика — В. Фролов

Выключателем управляют с помощью передатчика ИК импульсов (пульта), по команде которого выключенная в момент ее подачи светильная лампа будет включена, и наоборот. В прибор встроен дополнительный ИК передатчик, что избавляет от необходимости постоянно носить пульт с собой или тратить время на его поиски. Достаточно поднести к выключателю руку на расстояние приблизительно десять сантиметров и он сработает.

Выключатель реагирует на импульсное ИК излучение, не расшифровывая содержащийся в нем код. Поэтому подойдет любой пульт ДУ от импортного или отечественного электронного прибора (например, телевизора), причем нажимать можно на кнопку любой команды. Можно сделать и самодельный пульт, например, по схеме, приведенной в статье Ю. Виноградова "ИК датчик в охранной сигнализации" ("Радио", 1996, № 7, с. 42, рис. 2). Там же можно найти чертеж печатной платы и рекомендации по изготовлению устройства.

Схема самого простого варианта пульта управления показана на рис. 1. Это — генератор импульсов на транзисторах разной структуры, нагрузкой которого служит излучающий диод ИК диапазона АЛ147А. Генератор питают

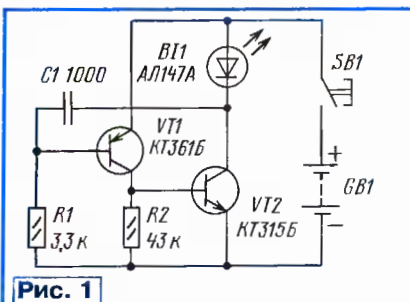


Рис. 1

от трех-четырех гальванических элементов, команду подают кратковременным нажатием на кнопку SB1.

Схема выключателя показана на рис. 2. Приемник ИК импульсов со-

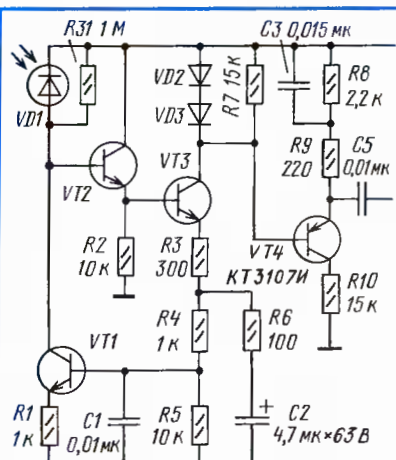


Рис. 2

Выключатель освещения на ИК лучах

А. РУСИН, г. Москва

Дистанционное управление на ИК лучах вторглось в повседневную жизнь и значительно экономит наше время. К сожалению, оборудованы ДУ далеко не все электроприборы, в частности и выключатели освещения. Предлагаемое устройство поможет сделать управление ими более удобным.

Бран по схеме, подобной применяемой в блоках управления телевизоров "Рубин" и "Темп". На транзисторах VT1—VT4 собран усилитель импульсов, в которые преобразует принятые ИК излучение фотодиод VD1 — ФД265 или любой другой, чувствительный к ИК лучам. Далее принятый сигнал проходит через активный фильтр с двойным Т-мостом, собранный на транзисторе VT5. Фильтр устраняет помехи от осветительных ламп, излучение которых захватывает ИК область спектра и промодулировано удвоенной частотой сети переменного тока. Возможное иногда самовозбуждение этого фильтра устраняют заменой транзистора другим, с меньшим значением h_{210} .

Отфильтрованный сигнал, пройдя через усилитель-ограничитель на транзисторе VT6 и элементе DD1.1, поступает на накопитель (диод VD4 и цепь R19C12). Параметры элементов накопителя выбраны таким образом, что конденсатор C12 успевает зарядиться до уровня срабатывания элемента DD1.2 только за три—шесть принятых импульсов. Это предотвращает срабатывание выключателя от одиночных световых импульсов: фотографических ламп-вспышек, грозовых разрядов. Разрядка конденсатора C12 занимает 1...2 с.

Узел на логических элементах DD1.2, DD1.3, DD1.6, благодаря обратной связи через конденсатор C13, формирует импульсы с крутыми перепадами уровня, поступающие на счетный вход триггера DD2. С каждым из них триггер изменяет состояние. При лог. 1 на выводе 1 триггера открыт

щие включено. Свечение двухцветного светодиода HL1 — зеленое. В противном случае (лог. 1 на выводе 2 триггера) освещение выключено, свечение светодиода HL1 — красное. В это же состояние приводит триггер импульс, формируемый цепью C19R24. Таким образом устраняют самопроизвольное включение освещения после перебоя в подаче электроэнергии.

Встроенный ИК передатчик — собранный на элементах DD1.4, DD1.5 генератор импульсов частотой 30...35 Гц — позволяет пользоваться выключателем, не имея в руках пульта

ты транзисторы VT9, VT10 и триистор VS1. Цель лампы EL1 замкнута, осве-

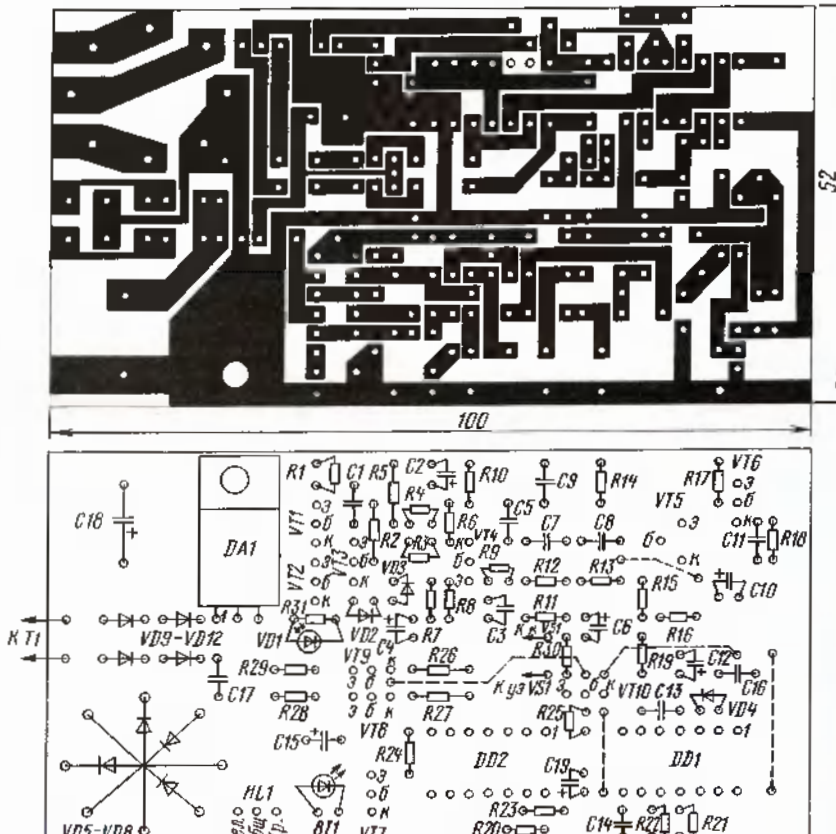
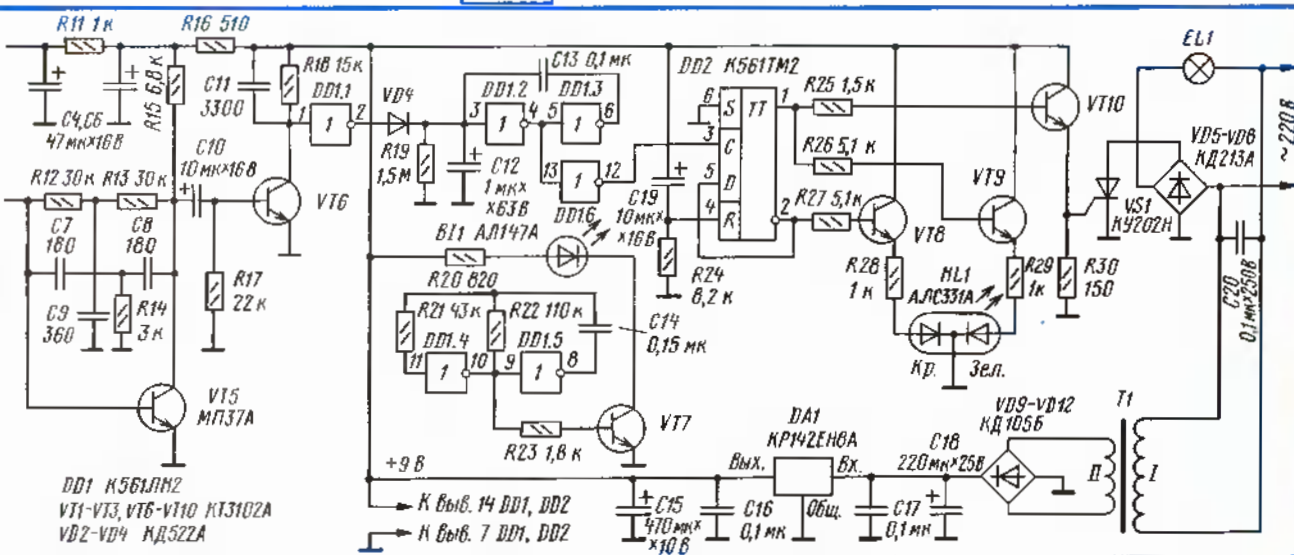


Рис. 3



ДУ. Излучающий диод В11 установлен рядом с фотодиодом ВD1, но отделен от него светонепроницаемой перегородкой. Излучение диода В11 направлено в ту сторону, откуда фотодиод его принимает. Выключатель должен срабатывать от ИК импульсов встроенного передатчика, отраженных от ладони, поднесенной на расстояние 5...20 см. Необходимую для этого мощность излучаемых импульсов устанавливают, изменяя номинал резистора R20.

Выключатель собирают на печатной плате из односторонне фольгированного стеклотекстолита толщиной 1,5 мм, изображенной на рис. 3. Диоды VD5—VD8 с целью экономии места на плате установлены друг над другом.

Редактор — А. Долгий, графика — Ю. Андреев

МОДУЛЬНАЯ РЕКЛАМА

Услуги см. в "Радио", 2004, № 1, с. 40

КОМПЛЕКСНОЕ СНАБЖЕНИЕ РЕМОНТНИКОВ РЭА

Ремонтным организациям и частным лицам предлагаем:

- отечественные и импортные радиоэлементы;
- электро-, радиоизмерительные приборы, оборудование, инструменты, материалы;
- схемы, сервис-мануалы, литература по ремонту.

Каталог — 50 руб. без почтовых расходов.

По заявкам предприятий —

БЕСПЛАТНО.

111401, г. Москва, а/я 1 "Посылторг"

Интернет-магазин:

WWW.SOLON.RU

E-mail: post@solon.ru

* * *

"НТЦ "МАГИСТР" реализует Саратовские аналоговые и цифровые паяльные станции (паяльник с керамическим нагревателем). Цена — от 1000 до 2800 руб.

www.magistr-sar.narod.ru.

magistr@overta.ru

Тел. 8452-45-95-44.

* * *

ФИЛЬТРЫ ДЛЯ КАБЕЛЬНОГО ТЕЛЕВИДЕНИЯ И MMDS

Разработка, производство, сбыт: ООО "Фильтр КТВ", г. Таганрог; (8634) 318-025.

www.filter.tsure.ru

oaoopb@tsure.ru

* * *

Высыпаем почтой радиолюбительские наборы, радиодетали. Каталог бесплатный. Конверт с обратным адресом обязателен.

426034, г. Ижевск, а/я 3503.

E-mail: ppelecom@udm.ru

* * *

Высококачественные печатные платы для сборки УМЗЧ ВВ Николая Сухова (ver. 2001)

<http://www.amp.renet.ru>.

E-mail:for-x@yandex.ru

УПРОЩЕНИЕ ИНДИКАТОРА НАПРЯЖЕНИЯ

A. МАРТЕМЬЯНОВ, г. Северск Томской обл.

Автор этой статьи предлагает вниманию читателей модернизированный вариант некогда популярного индикатора бортового напряжения.

Опубликованный почти десять лет назад Е. Климчуком индикатор бортового напряжения автомобиля [1], по моему мнению, до сих пор остается одной из самых удачных конструкций подобного назначения. Этот индикатор не требует переделки приборной панели автомобиля, показания легко "читаются". Прибор позволяет достоверно судить об основных параметрах работы системы: аккумуляторная батарея — стабилизатор напряжения. Индикатор проработал на моем автомобиле уже более пяти лет, подтвердив свою полезность, высокую стабильность и надежность.

Тем не менее, если применить несколько иной принцип реализации дополнительных режимов работы контрольной лампы и воспользоваться появлением на рынке элементов, ранее малодоступных радиолюбителям, то появится возможность заметно упростить индикатор, повысив его эксплуатационные качества, особенно

использовано не высокое, а низкое выходное напряжение нижнего по схеме компаратора. Усилитель DA1.3 инвертирует выходной сигнал компаратора DA1.2.

Таким образом, по мере увеличения напряжения на выводах аккумуляторной батареи на выходах ОУ DA1.1 и DA1.3 последовательно формируются логические комбинации 01, 11, 00 и 10.

На ОУ DA1.4 собран генератор прямоугольных импульсов, частота следования которых зависит от номиналов цепи C2R15. "Гистерезис" напряжения обеспечивает положительная ОС через резистор R14. Обычно у подобных генераторов "гистерезис" симметричен относительно напряжения переключения ОУ, что обеспечивает применением в делителе напряжения R11R12 одинакового сопротивления резисторов. При этом скважность импульсов на выходе генератора равна двум.

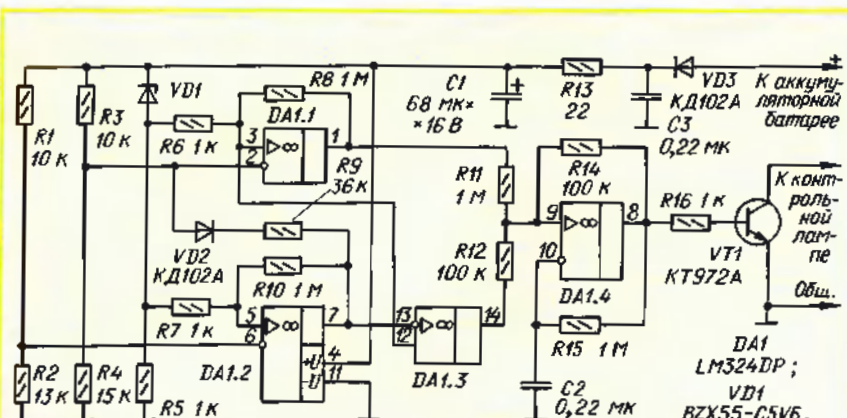


Рис. 1

при совместной работе с термокомпенсированным стабилизатором напряжения [2]. Число микросхем при этом уменьшается с трех до одной, сокращается число пассивных элементов, допустимый интервал напряжения питания расширяется до 3...30 В.

Принципиальная схема индикатора напряжения показана на рис. 1. Как и в прототипе, для организации четырех режимов работы контрольной лампы применены два компаратора напряжения на ОУ DA1.1 и DA1.2. Отличие заключается в том, что для получения дополнительного порога переключения верхнего по схеме компаратора

При изменении соотношения номиналов резисторов делителя "гистерезис", не меняя ширины петли, перестает быть симметричным, а следовательно, время зарядки и разрядки конденсатора C2 оказывается неодинаковым, т. е. изменяется скважность импульсов. Причем, если напряжение переключения компаратора превышает половину напряжения питания, скважность увеличивается. Этот принцип использован для оперативного распознавания двух генераторных режимов работы контрольной лампы.

Визуальная проверка работы индикатора показала, что при некоторой

оптимальной частоте генератора можно получить два режима: в одном — лампа периодически гаснет, а в другом — периодически включается. Замечено, что при значительном снижении частоты погасания лампы (назовем этот режим так) длительность выключенного состояния лампы становилась такой, что в зрительной памяти нарушалась "целостность картины", иначе говоря, процесс перехода лампы из включенного состояния в выключенное и обратно как бы разбивался на отдельные элементы. Это субъективно делало оба режима в чем-то похожими, и для определения истинного требовалось на секунду-другую остановить взгляд на индикаторе, сосредоточиться и определить, что в работе лампы больше — сумма пауз или сумма включений.

В то же время подборкой частоты удалось добиться того, что оба режима стали органичным продолжением соседних основных состояний контрольной лампы — непрерывного свечения и полного его отсутствия.

Так, если при включенном зажигании, но при выключенном стартере и неработающем двигателе (положение I замка зажигания), лампа постоянно горит, это говорит о том, что батарея аккумуляторов, если и разряжена, то в меру.

Если же в постоянном свечении лампы появляются провалы яркости, батарея нуждается в подзарядке.

Аналогичная картина наблюдается и при работающем двигателе. Если напряжение, вырабатываемое генератором, находится в допустимых пределах, лампа выключена и не отвлекает водителя. Как только напряжение превысит опасный для электрооборудования уровень, начнутся равномерные короткие вспышки контрольной лампы.

Естественно, все сказанное справедливо при соответствующем выборе порогов компарирования, т. е. значений напряжения, при которых происходит смена режимов индикации. При указанных на схеме номиналах резисторов R2, R4 и R9 эти пороги примерно равны 12,2, 13,6 и 14,4 В.

Следует, однако, заметить, что значения частоты генератора все же неодинаковы, хотя и соответствуют благоприятному для психологического восприятия сочетанию. Так, частота погасания лампы несколько меньше частоты включения (при указанных на схеме номиналах пассивных элементов — около 1,2 и 1,5 Гц соответственно).

Переключение режимов работы генератора происходит в результате смены полярности напряжения на делителе R11R12 — уровни 01 и 10 на выходах ОУ DA1.1 и DA1.3. Если выходные уровни совпадают (11 и 00), генератор заторможен и ОУ DA1.4 работает повторителем напряжения, т. е. на его выходе либо высокое, либо низкое напряжение. При работе без нагрузки генератор может возбуждаться на гармоничной частоте.

На транзисторе VT1 собран усилитель тока, нагруженный индикаторной лампой накаливания. В случае применения вместо лампы светодиода его

включают непосредственно между резистором R16 и общим проводом, анодом к резистору.

Несколько слов необходимо сказать о "гистерезисе" порогов компарирования. Как и в исходной конструкции, его можно регулировать изменением соотношения значений сопротивления резисторов делителей R6R8 и R7R10. Однако рассматриваемый индикатор имеет особенность, связанную с изменением нагрузки генератора на ОУ DA1.4. В зависимости от режима выходной ток генератора может меняться от нескольких микроампер до нескольких миллиампер. Это приводит к изменению падения напряжения на резисторе R13 стягивающего фильтра C1R13 и, следовательно, по-

к правому (по схеме) выводу резистора R13. Тем не менее я не стал этого делать, поскольку подобная неодинаковость показалась мне даже предпочтительней.

Дело в том, что второй порог компарирования разделяет два, в общем-то, нормальных состояния электрооборудования. С другой стороны, возможны незначительные колебания напряжения в бортовой сети вблизи этого порога (на холостых оборотах двигателя или при слабом натяжении ремня привода генератора), что с учетом тепловой инерционности лампы затрудняет "считывание" информации. В то же время малый "гистерезис" крайних значений контролируемого напряжения обеспечивает высокую точность контроля, что особенно важно при определении степени разряженности аккумуляторной батареи.

Вместо микросхемы LM324DP в индикаторе можно использовать ее отечественный аналог K1401UD2, необходимо только иметь в виду, что он имеет противоположное расположение выводов питания: на вывод 4 нужно подавать $-U_{пит}$, а на вывод 11 — $+U_{пит}$ [3]. Составной транзистор VT1 может быть заменен обычным из серий KT815 или KT817. Стабилитрон VD1 — любой на напряжение стабилизации 4,7...7,5 В (например, KC147Г, KC156Г, KC168А). Конденсатор C1 желательно применить танталовый (K53-1А, K53-18 и др.). Конденсатор C2 (K73-17 на номинальное напряжение 63 В) следует выбрать с возможно меньшим температурным коэффициентом емкости.

Все детали индикатора смонтированы на печатной плате из фольгированного стеклотекстолита толщиной 1,5 мм. Чертеж платы представлен на рис. 2. Плату помещают в пластмассовую коробку, которую крепят за панелью приборов.

Налаживание индикатора заключается в установке порогов компарирования подборкой резисторов R2, R4 и R9. Как это сделать, подробно рассказано в [1]. Отметчу только, что считаю целесообразным отказаться от использования подстроечных резисторов. Как показала практика эксплуатации индикатора, необходимости в подстройке порогов напряжения не возникает.

В заключение остается добавить, что нелишним будет попробовать немного изменить частоту генератора для приведения алгоритма индикации в более полное соответствие с индивидуальными особенностями восприятия. Выполнять это желательно с лампой того же типа, с которой будет работать индикатор.

ЛИТЕРАТУРА

- Климчук Е. Индикатор напряжения. — Радио, 1993, № 6, с. 35, 36.
- Бирюков С. Простой термокомпенсированный регулятор напряжения. — Радио, 1994, № 1, с. 34, 35.
- Петропавловский Ю. Компоненты в бытовой видеотехнике. — Радио, 2001, № 7, с. 9—11.

Редактор — Л. Ломакин, графика — Л. Ломакин

НАША КОНСУЛЬТАЦИЯ

СТАШКОВ С. ЧЕТЫРЕХУРОВНЕВЫЙ ЭКОНОМИЧНЫЙ ПРОБНИК. — РАДИО, 2002, № 8, с. 30.

Печатная плата.

Чертеж возможного варианта печатной платы пробника изображен на рис. 1. На ней монтируют все детали, кроме батареи питания и выключателя SA1. Резисторы — любые малогабаритные.

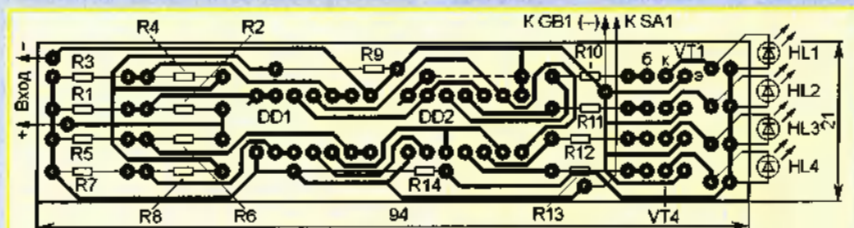
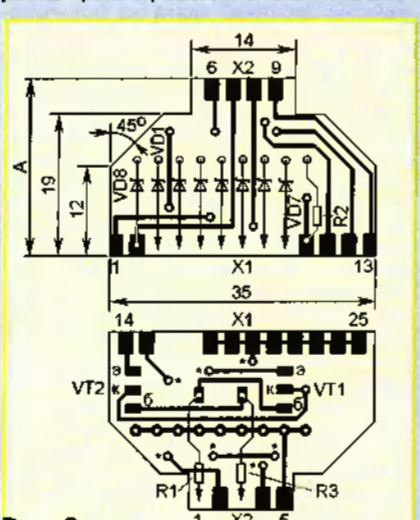


Рис. 1

РЮМИК С. КАК ПОДКЛЮЧИТЬ К КОМПЬЮТЕРУ ДЖОЙСТИК ОТ ИГРОВОЙ ПРИСТАВКИ "SEGA". — РАДИО, 2003, № 12, с. 28, 29.

Печатная плата.

Чертеж печатной платы переходника для подключения джойстика от игровой приставки "Sega", которая умещается в корпусе вилки DB-25M (X1), показан на рис. 2. Плату изготавливают из двухсторонне фольгированного стеклотекстолита толщиной 1,5 мм, вставляют широкой стороной между рядами контактов вилки X1 таким образом, чтобы печатные плошки оказались напротив контактов, и соединяют их пайкой. Анодные выводы диодов VD1—VD8 и нижний (по чертежу) вывод резистора R2 припаивают непосредственно к контактам вилки.



На аналогичном образом на противоположном краю платы устанавливают вилку DB-9M (X2) и резисторы R1, R3. Для вторых выводов этих резисторов предназначены прямоугольные контактные плошки без отверстий. К таким же плошки припаивают выводы транзисторов VT1 и VT2, корпус которых располагают параллельно плате. Знаком "*" помечены отверстия, в которые при монтаже вставляют отрезки луженого провода и припаивают их к контактным плошки проводников на обеих сторонах платы.

Размер А выбирают наиболее удобным для установки вилки X2 в примененном корпусе.

непрерывной генерации, временно соединив выводы 8 и 9 элемента DD2.2 с общим проводом.

РЕКУНОВ Н. ПРОСТОЙ УМЗЧ. — РАДИО, 2000, № 11, с. 58.

Печатная плата.

Чертеж возможного варианта печатной платы усилителя изображен на рис. 4. На ней размещены все детали, кроме диодов VD1—VD4 и транзисторов VT3, VT4. Плата рассчитана на установку резисторов МЛТ, конденсаторов КМ-6

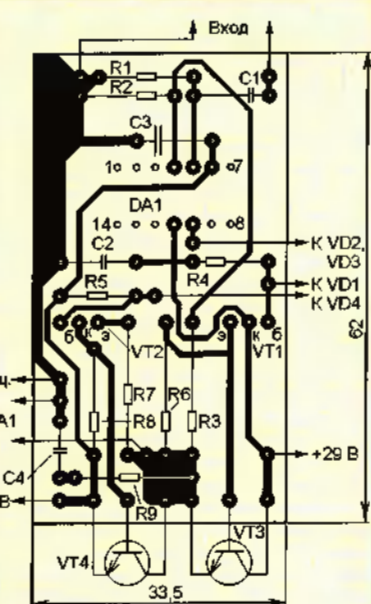


Рис. 4

и операционного усилителя KP1408УД1 в пластмассовом корпусе.

ОБРАТИТЕ ВНИМАНИЕ

ПЛЕТНЕВ Е. ПЕРЕГОВОРНОЕ УСТРОЙСТВО НА 100 АБОНЕНТОВ. — РАДИО, 2003, № 6, с. 30—32.

В тексте статьи (с. 32, средняя колонка, 2-й абзац сверху) вместо слов "транзистор KT645A (VT2 в базовом блоке...)" следует читать: "транзистор KT645A (VT3 в базовом блоке)...", а вместо "VT3 (см. рис. 1)... — "VT2 (см. рис. 1)..."

ЖУК В. ГЕНЕРАТОР СВЧ. — РАДИО, 1995, № 10, с. 34—36.

На принципиальной схеме прибора (см. рис. 1 в статье) позиционное обозначение резистора, включенного между точкой соединения резисторов R47, R53, R58 и общим проводом, — R56, его номинальное сопротивление — 910 Ом.

В тексте статьи (с. 36, 1-я колонка, предпоследний абзац, 4-я и 5-я строки сверху) вместо слов "...дроссель L6 отпаиваются от конденсатора C12..." следует читать: "...дроссель L6 отпаиваются от конденсатора C18 и резистора R79..."

Редактор — В. Фролов, графика — В. Фролов

ЖУРНАЛ В ЖУРНАЛЕ

10

наши наставники

Программаторы и программирование микроконтроллеров

А. ДОЛГИЙ, г. Москва

Цепь PGM имеется только у микроконтроллеров с двумя вариантами режима программирования: обычным для PICmicro "высоковольтным", включаемым подачей в цепь MCLR напряжения +12 В, и "низковольтным" (low voltage programming, LVP), для которого достаточно +5 В. Режим LVP имеет некоторые отличия от обычного, и учтены они далеко не во всех программах, управляющих программированием. Чтобы независимо от установленной ранее конфигурации микроконтроллера разрешить высоковольтное программирование, вывод PGM необходимо соединить с VSS (общим проводом). Учтите, это должно быть сделано до подачи на микроконтроллер напряжения питания.

Иногда рекомендуют включать в цепь PGM последовательно резистором номиналом 240 Ом. Логический уровень на соответствующем выводе микроконтроллера во время программирования остается низким, но вывод будет защищен от перегрузки в случае, если записанная в память программа "вдруг" начнет исполняться и окажется, что в ней предусмотрена настройка соответствующего разряда порта на вывод и запись в него лог. 1.

К выводу OSC1 в рабочем режиме микроконтроллера подключают один из выводов кварцевого резонатора или другого частотозадающего элемента. Хотя тактовый генератор во время программирования заблокирован, некоторые управляющие программы переводят микроконтроллер в этот режим слишком медленно. Если в процессе переключения генератор все-таки успеет совершить несколько колебаний, исходное состояние программного счетчика микроконтроллера станет не нулевым. Это приведет к записи программных кодов не в те ячейки, для которых они предназначены. Чтобы исключить сбои по этой причине и надежно заблокировать работу тактового генератора, вывод OSC1 рекомендуют на время программирования соединить с общим проводом непосредственно или через конденсатор сравнительно большой емкости (C3 на рис. 2), хотя "официальные" протоколы программирования этого и не требуют.

Не указанные в табл. 2 выводы микроконтроллеров во время программирования можно оставить свободными. Они находятся, как правило, в высокомпе-

данном состоянии. Если же к ним все-таки подключены какие-нибудь внешние элементы, на ход и результат программирования они не повлияют.

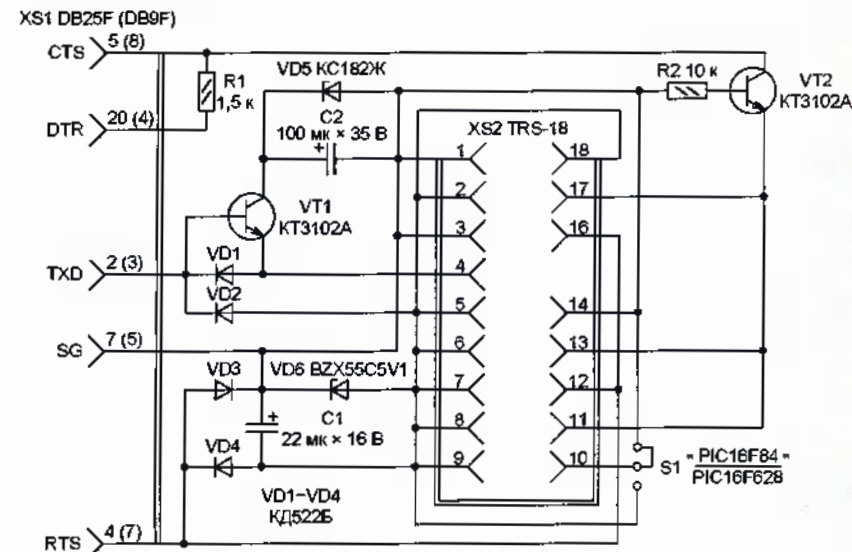
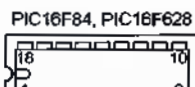
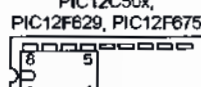


Рис. 3



PIC12C50x, PIC12F629, PIC12F675



24Cx

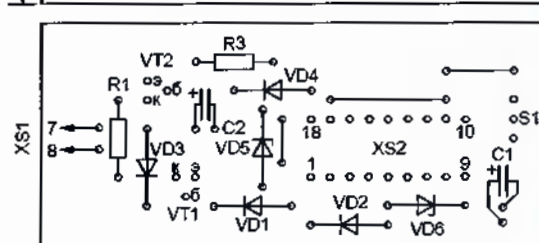
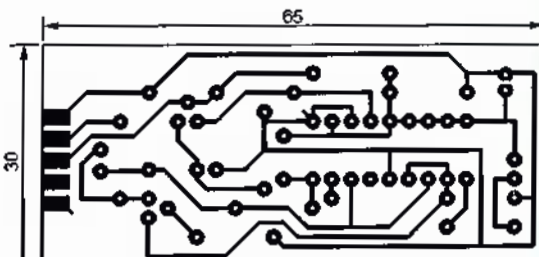
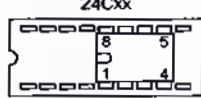


Рис. 4

Рис. 5

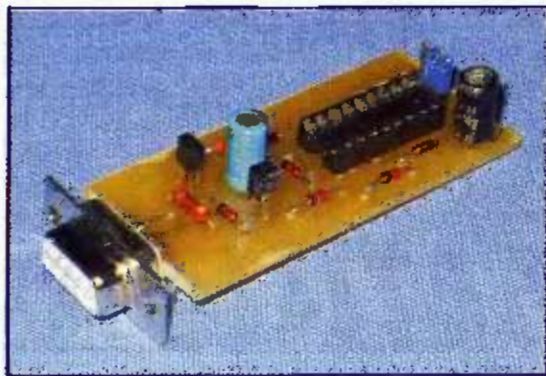


Рис. 6

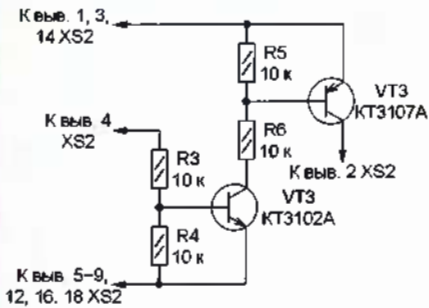


Рис. 7

Среди адаптеров для PICmicro, подключаемых к порту COM и не требующих дополнительного источника питания, популярностью пользуется так называемый JDM. Его схема, изображенная на рис. 3, содержит ряд решений "на грани фола", тем не менее адаптер зарекомендовал себя с наилучшей стороны.

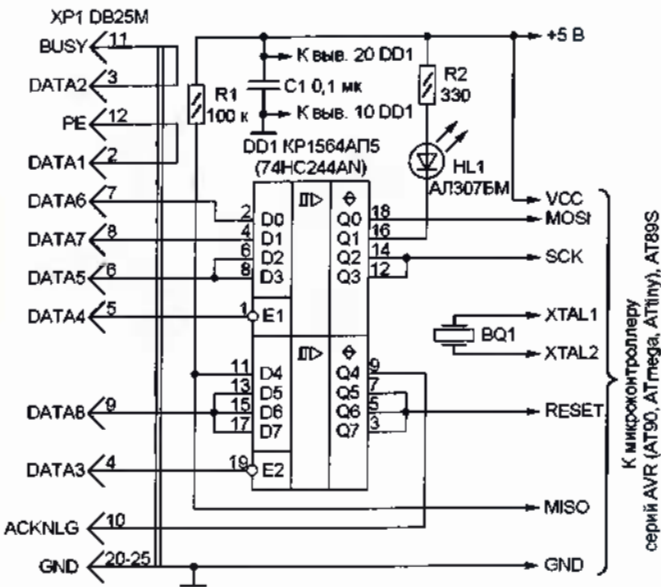


Рис. 8

В исходном варианте он предназначен для микроконтроллеров PIC12C508, PIC12C509, PIC16C84 (устаревший вариант PIC16F84) и микросхем памяти с интерфейсом I²C. Их программируют, вставляя в панель XS2 различным образом, как показано на рис. 4. Имеющаяся на схеме рис. 3 перемычка S1 (в прототипе она отсутствует) позволяет соединить вывод 10 панели XS2 с общим проводом, что необходимо для программирования микроконтроллеров PIC16F628, устанавливаемых в панель аналогично PIC16F84. Адаптер пригоден и для других микроконтроллеров серии

PICmicro (см. табл. 2), если предусмотреть для них соответствующие панели.

Печатная плата адаптера JDM с розеткой XS1 DB9F и расположение элементов на ней изображены на рис. 5. Плата односторонняя, ее ребром вставляют между рядами выводов розетки XS1, но лишь выводы 1—5 припаивают непосредственно к контактным площадкам. Выводы 7 и 8 соединяют с соответствующими площадками проволочными перемычками. Внешний вид готового адаптера показан на рис. 6.

В некоторых случаях с помощью JDM не удается запрограммировать восемьмивыводные микроконтроллеры PIC12F629 и PIC12F675. Причина этого — слишком большой интервал между включением напряжения питания и подачей команды перехода в режим программирования. Японский радиолюбитель, адрес электронной почты которого <hohepiyohamu@hotmail.com>, предложил устранить недостаток, дополнив адаптер JDM узлом, схема которого приведена на рис. 7. Цепь, шедшую ранее к выводу 2 панели XS2 (см. рис. 3), следует разомкнуть.

Адаптеры для микроконтроллеров фирмы Atmel

Схема стандартного адаптера для микроконтроллеров серий AVR (в нее входят микросхемы с названиями, начинавшимися с AT90, ATmega, ATTiny) и AT89S показана на рис. 8. Его вилку XP1 подключают к розетке порта LPT компьютера. Перемычки между контактами 3 и 11, 2 и 12 вилки позволяют управляющей программе "опознать" адаптер. Светодиод HL1 служит для сигнализации о режиме работы устройства, но делает это лишь в том случае, если управляющая программа вырабатывает соответствующий сигнал. Напряжение +5 В подают от внешнего стабилизированного источника, более высокое здесь не требуется.

С выводами программируемой микросхемы адаптер соединяют в соответствии с табл. 3.

Редактор — Б. Иванов, графика и фото — А. Долгий

(Продолжение следует)

Примечание. Назначение выводов модификаций микроконтроллеров в корпусах других типов может не совпадать с указанным в таблице.

серий AVR (AT90, ATmega, ATTiny), AT89S

MK	Корпус	RESET	MOSI	MISO	SCK	XTAL1	XTAL2	VCC (+U _{пит})	GND (Общ.)
AT90S2323									
AT90S2343	PDIP-8	1	5	6	7	2	3	8	4
ATTiny12									
ATTiny13									
ATTiny15	PDIP-8	1	5	6	7	—	—	8	4
AT90S1200									
AT90S2313	PDIP-20	1	17	18	19	5	4	20	10
ATTiny26	PDIP-20	10	1	2	3	7	8	5, 15	6, 16
AT90S4433									
ATmega8	PDIP-28	1	17	18	19	9	10	7, 20	8, 22
AT89S51									
AT89S52									
AT89S53									
AT89S8252	PDIP-40	9	6	7	8	19	18	40	20
AT90S8515									
ATmega161									
ATmega162									
AT90S8535									
ATmega8535									
ATmega16									
ATmega163									
ATmega32									
ATmega323									
ATmega64									
ATmega103									
ATmega128									
ATmega169	TQFP-64	20	12	13	11	24	23	21, 52, 64	22, 53, 63

Телефонная связь между двумя абонентами

П. СЕВАСТЬЯНОВ, Узбекистан, г. Ташкент

В быту может понадобиться телефонная связь между двумя абонентами (с родственниками, гаражом, мастерскими). Решить эту задачу можно и не создавая сложные электронные устройства, а взяв за основу обычные телефонные аппараты.

Предлагаемое устройство состоит из двух стандартных телефонных аппаратов (ТА) — базового и абонентского. В базовый добавляются детали, обеспечивающие посылку вызовов и питание разговорных узлов. Базовый ТА питается от сети переменного тока. Линия связи — двухпроводная. Дальность связи — несколько километров.

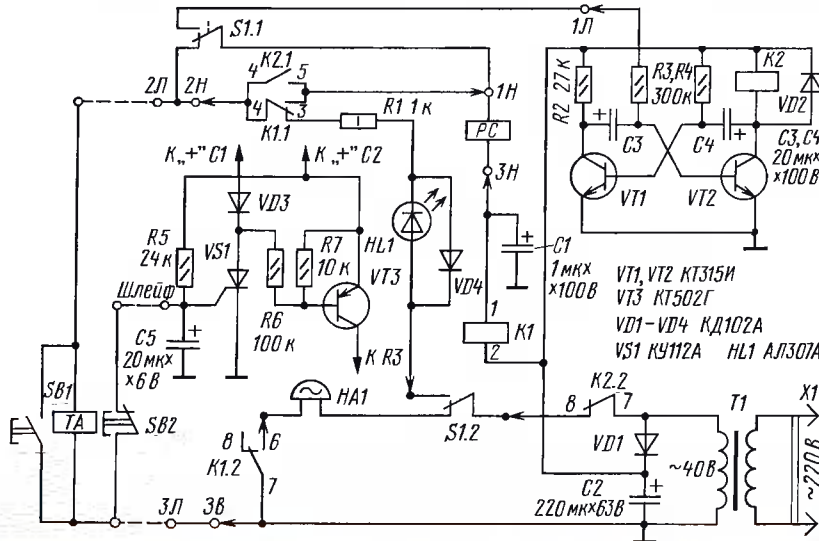
Схема (см. рисунок) составлена применительно к болгарскому телефонному аппарату ТА-4100, из которого удаляются номеронабиратель, конденсатор С1, резистор R1 (обозначены на плате ТА). Стрелки на схеме показывают, к каким точкам базового ТА подключаются дополнительные детали.

Принцип действия устройства таков: при снятии трубки удаленным абонентом образуется цепь: «+» С2 выпрямителя, обмотка реле K1, третья клемма номеронабирателя ЗН, разговорный узел базового телефона РС, контакты рычажного переключателя S1.1, вторая линейная клемма 2Л, линия, клемма ЗЛ, освободившаяся клемма звонка Зв, «-» С2. Сработает реле K1. Звонит звонок, питающийся по цепи: вторичная обмотка трансформатора T1, контакты 7—8 реле K2, контакты

S1.2, звонок HA1, контакты 6—7 К1.2, T1. Звонок непрерывный. Трубка снимается во время звонка, и в контактах S1.2 цепь звонка размыкается. Контакты 4—5 К2.1 дублируют S1.1, чтобы при снятии трубки сохранилась цепь питания разговорных узлов обоих телефонов.

При посылке вызова с базового аппарата снимается трубка. При этом переменный ток с T1 проходит через контакты 7—8 реле K2, S1.2, светодиод HL1, R1, контакты 3—4 К1.1, 2Н, 2Л, ТА, ЗЛ, Зв, T1. Звонит звонок абонента. Через контакты S1.1 запускается мультивибратор, реле K2 через контакты 7—8 группы К2.2 периодически подключает в линию вызывной ток или через 4—5 группы К2.1 постоянное напряжение. При снятии трубки ТА абонента, в момент замыкания контактов 4—5 реле K2, сработает реле K1 и устанавливается связь. Напряжение на линии уменьшается до нескольких вольт, и мультивибратор останавливается. Прохождение вызова контролируется светодиодом HL1.

Если несколько усложнить посылку вызова с базового ТА, то мультивибратор не нужен. В этом случае, через несколько секунд после снятия трубки (в течение



Знаете ли вы?

Что такое инфрадин?

Современные всеволновые (ДВ, СВ и КВ) приемники и приемные тракты трансиверов, работающие на частотах до 30 МГц, часто выполняются по супергетеродинной схеме с преобразованием вверх, с первой промежуточной частотой (ПЧ) в диапазоне от 45 МГц и выше. В таких приемниках обычно используют несколько преобразований частоты, причем вторая и третья ПЧ могут быть низкими.

Главное достоинство такого решения — в большом подавлении помех, проникающих по зеркальному каналу, а главный недостаток — в трудности создания фильтров ПЧ с хорошими характеристиками на высоких частотах.

Однако мало кто знает, что приемники с преобразованием вверх имели раньше специальное название — инфрадин. Исторически оно было дано в 1920-х го-

дах Е. М. Сержентом (E. M. Sargent, Remloc Radio Co.) выпускаемому его компанией СВ приемнику с ПЧ 3500 кГц. Главной целью было обойти патенты на супергетеродинные приемники, принадлежавшие "Радио группе" компаний (RCA, GE, Westinghouse и др.). Любопытно, что в первом инфрадине ПЧ служила не разность частот гетеродина и принимаемого сигнала, а их сумма.

Итак, инфрадин — это супергетеродинный приемник с ПЧ, более высокой, чем частоты принимаемых радиостанций. Детали: T1 — трансформатор питания, магнитопровод Ш16×16 мм. Первичная обмотка содержит 4000 витков провода ПЭЛ 0,08; вторичная — 750 витков провода ПЭЛ 0,2. T1 может быть другим, с выходным напряжением 38...43 В. K1, K2 — реле РЭС 9, аспорт РС4.524.205. Реле могут быть другие, с сопротивлением обмоток 2..3 кОм и соответствующими контактами. Транзисторы KT315И можно заменить на KT503Г — KT503Е, а KT502Г — на KT502Д, KT502Е. Диоды — серии КД105, Д226Б — Д226Г. Конденсаторы любого типа, подходящие по емкости и рабочему напряжению. Конденсатор С1 можно заменить керамическим или металлогубажным.

Базовый можно заменить телефонным аппаратом другого типа. Обе группы kontaktов S1 должны быть переключающие.

При снятом номеронабирателе дополнительные детали размещаются внутри корпуса; трансформатор крепится к основанию, а печатная плата — к стойке номеронабирателя. Если детали в корпусе не размещаются, то трансформатор выносится в отдельный блок.

Телефон может работать как простейшая охранная сигнализация. Замыкание kontaktов микропереключателя SB1 (МП1) равнозначно снятию трубки, что вызывает звонок. Такая сигнализация не контролирует обрыв линии. Добавление третьего провода-шлейфа и небольшое усложнение схемы устраняют этот недостаток. При срабатывании SB2 (МП1), обрывы шлейфа или общего провода через резистор R5 открывается триистор VS1 и срабатывает реле K1, включая контактами 6—7 звонок. Одновременно триистор открывает транзистор VT3, через который запускается мультивибратор, и звонок становится прерывистым. Этим он отличается от вызывного звонка. Для прекращения звонка отключается питание. Если самоблокировка звонка в режиме охранной сигнализации не желательна, то триистор заменяется на транзистор KT315И (KT503В). Если микропереключатели SB1 и SB2 установить в разных местах, то по характеру звонка можно определить, какой из них сработал. Проверялась (в пределах дома) возможность использования труб отопления в качестве общего провода — наводки незначительны, что позволяет в схеме с сигнализацией применить двухпроводную линию.

В телефонах при положенной трубке разговорная схема шунтируется контактами. В данной схеме шунтирование можно осуществить, соединив клемму 1Н с контактом 8 реле K1 через конденсатор (1—3 мкФ на рабочее напряжение 63—100 В).

Редактор — В. Поляков, графика — Ю. Андреев

Кружок радиотехнического конструирования

А. ЧЕРЕПАНОВ, г. Комсомольск-на-Амуре

Игра "Фарватер"

Фарватер — это безопасный в навигационном отношении проход по реке, озеру, морю и другому водному пространству, характеризующийся достаточными глубинами и отсутствием препятствий для судоходства. Фарватер обозначают средствами навигационного оборудования — buoyами, бакенами, различными знаками. Такое определение можно прочитать, скажем, в политехническом словаре.

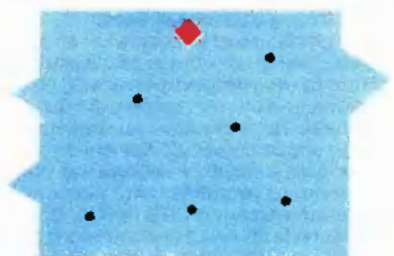
В нашей игре фарватер не обозначен, его нужно пройти, пользуясь своим

вобразной навигационной картой, на которой нанесен предполагаемый путь модели корабля от условного старта к одному из портов (финишу 1 или финишу 2) — в зависимости от предложенного задания.

Играющему даются три попытки, чтобы провести вручную корабль на другой берег. В случае отклонения от карты, корабль попадает на "мину" — включаются звуковая и световая сигнализации. Если же удалась правильная швартовка к одному из портов, звучит торжественная мелодия. Самое сложное задание — за три попытки постараться достичь от старта точки "финиш 1", пройдя через точку "финиш 2", как промежуточный этап.

Окончание.

Начало см. в «Радио», 2004, № 1



a)



b)

Рис. 1



Индикатор взрыва мины

Звуковое сопровождение взрыва мины

Звуковое сопровождение финиш 1

Звуковое сопровождение финиш 2

блок питания

г)



На рис. 1, а показано расположение "мин" (их шесть, но может быть и больше) под игровым полем. Каждая "мина" — геркон, контакты которого замыкаются при приближении к нему постоянного магнита (от старой динамической головки), прикрепленного к днищу корабля. На рис. 1, б показано игровое поле сверху. Красный ромб на обоих рисунках — это световой индикатор взрыва мины, составленный из двенадцати светодиодов (рис. 1, в).

Структурная схема игры показана на рис. 1, г. Как видите, в состав игры входят пять блоков, с устройством которых познакомимся подробнее.

Световой индикатор взрыва мины (рис. 2). На транзисторах VT1—VT3 собран трехфазный мультивибратор, каждый каскад которого нагружен на гирлянду из четырех светодиодов. Резисторы R1, R3, R5 и конденсаторы C1—C3 задают скорость переключения каскадов мультивибратора, а значит, частоту вспышек светодиодных гирлянд. Резисторы R2, R4, R6 ограничивают яркость светодиодов.

Каждый из герконов SF1—SF6 закреплен снизу игрового поля вместе со "своим" герконом "мины". Как только корабль окажется, например, над герконом SF1, его контакты под действием поля постоянного магнита корабля замкнутся и подадут питающее напряжение на мультивибратор. Начнут поочередно вспыхивать светодиодные гирлянды.

Транзисторы в этом блоке могут быть, кроме указанных на схеме, KT315Е, KT3102Г. Надежного переключения каскадов мультивибратора добиваются (если это необходимо) подбором резисторов R1, R3, R5. Конденсаторы — K50-6,

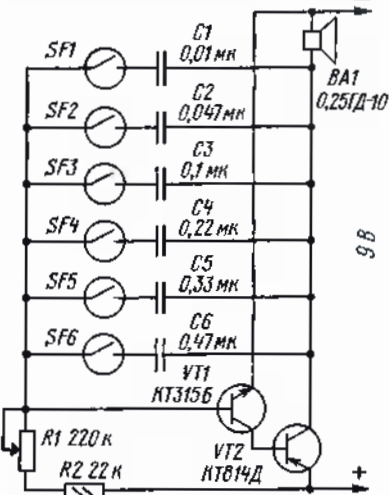


Рис. 3

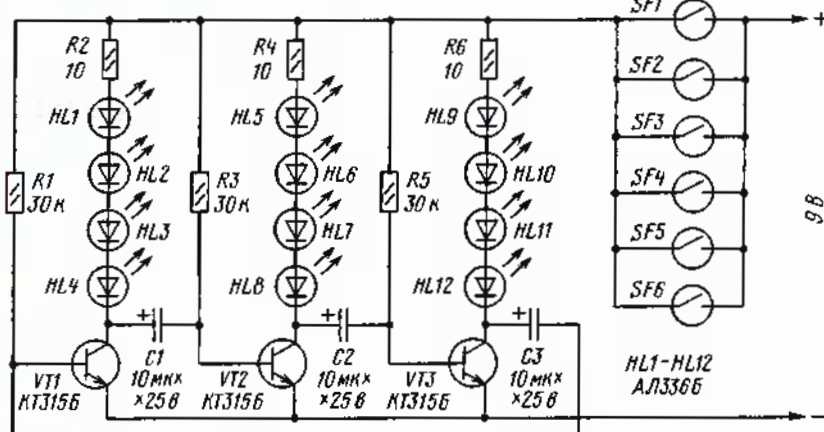


Рис. 2

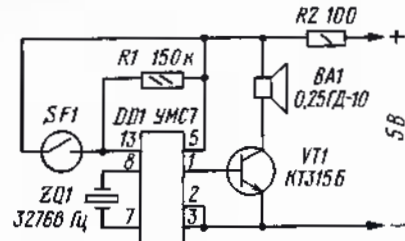


Рис. 4

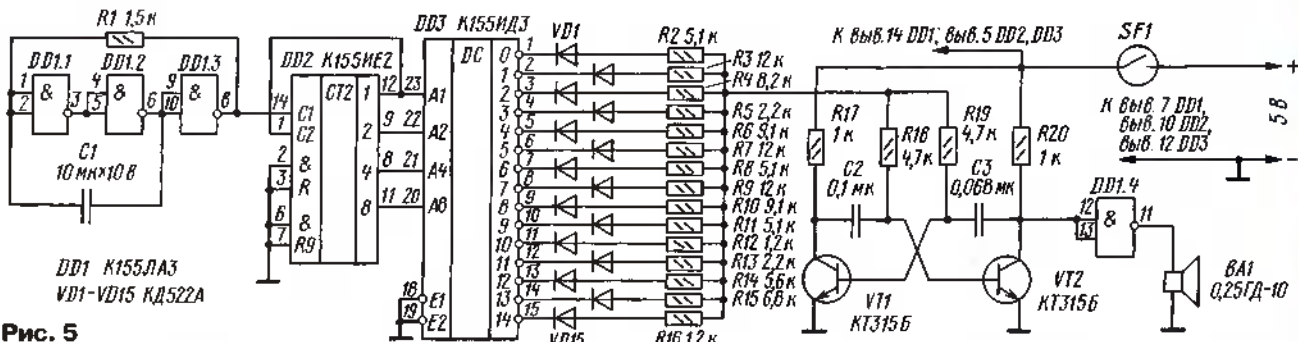


Рис. 5

резисторы — МЛТ-0,125, светодиоды — любые из серии АЛ336.

Звуковой имитатор взрыва мины (рис. 3). Он представляет собой несимметричный мультивибратор, выполненный на транзисторах разной структуры с положительной обратной связью. Работать мультивибратор начнет только после того, как окажутся замкнутыми контакты геркона, над которым появится корабль с постоянным магнитом. Причем в зависимости от того, контакты какого геркона окажутся замкнутыми, прозвучит мелодия определенной тональности. В небольших пределах тональность можно изменять подбором соответствующего частотогаздающего конденсатора, смещающей же диапазон тональностей можно переменным резистором R1. Резистор R2 ограничивает ток базы транзистора VT1, а значит, и VT2 при случайной установке движка переменного резистора в нижнее по схеме положение.

Транзистор VT1 — любой из серий KT315, VT2 может быть, кроме указанного на схеме, любой из серий KT816, P213-217 (последние придется установить на радиатор). Переменный резистор — СП-3, постоянный — МЛТ-0,125, динамическая головка — любая малогабаритная, мощностью 0,25–0,5 Вт.

Звуковой индикатор финиш 1 (рис. 4). В качестве источника звукового сопровождения достижения финиша 1 применена популярная микросхема-синтезатор. Как известно, она представляет собой ПЗУ, в котором записаны несколько музыкальных отрывков. Приведенная схема включения микросхемы не нуждается в дополнительной настройке.

После того как контакты геркона SF1 окажутся замкнутыми (корабль удачно при-

швартовался), к источнику питания будет подключен вход возбуждения сигнала (выход 13) микросхемы. На выводе 1 появится звуковой сигнал, который усилятся каскадом на транзисторе VT1 и воспроизведется динамической головкой BA1.

При повторении конструкции, в зависимости от музыкального вкуса радиолюбителя, можно применить микросхему УМС7 или УМС8 с соответствующим буквенным индексом. Кварцевый резонатор ZQ1 — от электронных часов, транзистор — любой из серий KT315, резистор — МЛТ-0,125, динамическая головка — мощностью 0,25 Вт.



Рис. 7

Звуковой индикатор финиш 2 (рис. 5). Звучание более торжественное (пройти к финишу сложнее), поэтому схема автомата несколько усложнена. В данной конструкции применены три микросхемы. Три элемента микросхемы DD1 (DD1.1—DD1.3) работают в тактовом генераторе, вырабатывающем импульсы частотой следования 1...3 Гц. Они поступают на двоично-десятичный четырехразрядный счетчик DD2, выходы которого соединены с входами преобразователя двоично-десятичного кода в десятичный (DD3).

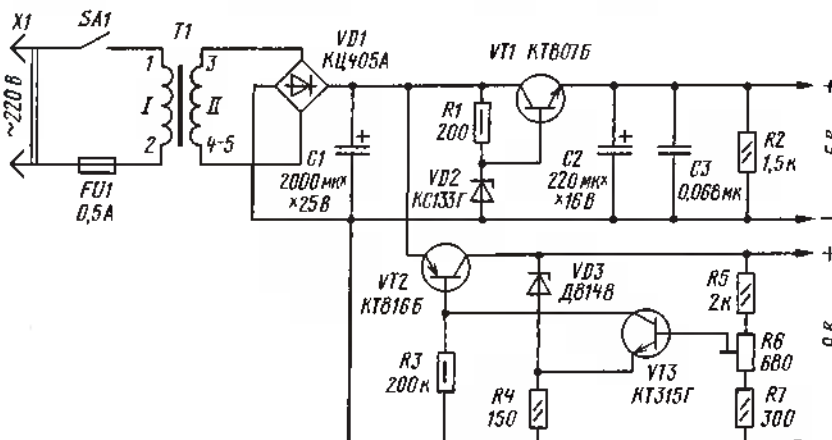


Рис. 6

После преобразования сигнал с выхода дешифратора поступает через развязывающие диоды VD1—VD15 и резисторы R2—R16 на генератор 34, собранный на транзисторах VT1, VT2. Через инвертор DD1.4 к генератору подключена динамическая головка BA1. Резисторы R2—R16 подбирают (при необходимости) в зависимости от выбранного звукового тона. Конечно, работа устройства начнется только после того, как корабль пришвартуется к финишу 2 и окажется своим постоянным магнитом над герконом SF1.

Кроме указанных на схеме, транзисторы могут быть любые из серий KT312, KT315, KT342, KT3102. Диоды — любые кремниевые, оксидный конденсатор — K50-6, остальные — K10-17, резисторы — МЛТ мощностью 0,125 или 0,25 Вт, динамическая головка — малогабаритная мощностью 0,1–0,25 Вт.

Блок питания (рис. 6). Для питания блоков игры разным напряжением (5 и 9 В) нужен был, конечно, блок питания с двумя стабилизаторами, собранный с применением готового доступного понижающего трансформатора. Просмотрев немало публикаций на страницах журнала "Радио", кружковцы выбрали стабилизатор напряжения к автомобильному аккумулятору в "Радио", 1985, № 1, с. 54. Оба стабилизатора питаются от выпрямителя, выполненного на выходном трансформаторе кадровой развертки черно-белого телевизора ТВК-110ЛМ. В первом стабилизаторе хорошая работа наблюдалась со стабилитроном КС133Г (VD2), но при появлении сбоев или недостаточном выходном напряжении его лучше заменить на КС156А. Со вторым стабилизатором проще — его выходное напряжение можно точно установить равным 9 В подстроечным резистором R6.

Все блоки размещены внутри корпуса от старого телевизора (рис. 7). Герконы (любые малогабаритные на замыкание контактов, например, КЭМ-2) звуковой и световой индикации взрыва мины смонтированы на нижней стороне игровой панели в соответствии с рис. 1, а, а герконы индикации достижения финиша — под соответствующими треугольными выступами игрового поля.

Динамические головки сигнализации прихода на финиш размещают вблизи треугольных выступов игрового поля, а индикации взрыва мины — в любом месте.

Редактор — Б. Иванов,
графика — Ю. Андреев, фото — А. Черепанов

56 Электронный выключатель

И. НЕЧАЕВ, г. Курск

В настоящее время в радиоэлектронной аппаратуре часто применяют электронные выключатели, в которых одной кнопкой можно осуществлять как ее включение, так и выключение. Сделать такой выключатель мощным, экономичным и малогабаритным можно, если применить полевой переключательный транзистор и цифровую КМОП микросхему.

Схема простого выключателя приведена на рис. 1. Транзистор VT1 выполняет функции электронного ключа, а триггер DD1 им управляет. Устройство постоянно подключено к источнику питания и потребляет небольшой ток — единицы или десятки микроампер.

Если на прямом выходе триггера высокий логический уровень, то транзистор открыт, нагрузка обесточена. При замыкании контактов кнопки SB1 триггер переведется в противоположное состояние, на его выходе появится низкий логический уровень. Транзистор VT1 откроется, и напряжение поступит на нагрузку. В таком состоянии устройство будет находиться до тех пор, пока снова не окажутся замкнутыми контакты кноп-

койной таблице, приведенной в статье "Мощные переключательные транзисторы фирмы International Rectifier" в "Радио", 2001, № 5, с. 45.

На такой выключатель можно возложить и другие функции, например, автоматическое отключение нагрузки при снижении или превышении питающим напряжением заранее установленного значения. В первом случае это может понадобиться при питании аппаратуры от аккумуляторной батареи, чтобы не допустить ее чрезмерного разряда, во втором — для защиты аппаратуры от повышенного напряжения.

Схема электронного выключателя с функцией отключения при снижении напряжения приведена на рис. 2. В

не превысит 0,7 В, т.е. будет иметь низкий логический уровень. Если напряжение на нагрузке станет больше установленного подстроечным резистором значения, на базу транзистора поступит напряжение, достаточное для его открывания. В этом случае на входе "S" триггера останется низкий логический уровень, а кнопкой можно включать и выключать питание нагрузки.

Как только напряжение снизится ниже установленного значения, напряжение на движке подстроечного резистора станет недостаточным для открывания транзистора VT2 — он закроется. При этом на коллекторе транзистора напряжение увеличится до высокого логического уровня, который поступит на вход "S" триггера. На выходе триггера появится также высокий уровень, что приведет к закрыванию полевого транзистора. Нагрузка обесточится. Нажатия на кнопку в этом случае приведут только к кратковременному подключению нагрузки и последующему ее отключению.

Для введения защиты от превышения питающего напряжения автомат следует дополнить транзистором VT3, стабилитроном VD2 и резисторами R5, R6. В этом случае устройство работает

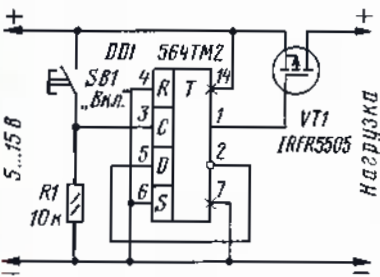


Рис. 1

ки. Тогда транзистор закроется, нагрузка обесточится.

Указанный на схеме транзистор имеет сопротивление канала 0,11 Ом, а максимальный ток стока может достигать 18 А. Следует учитывать, что напряжение затвор-сток, при котором транзистор открывается, составляет 4...4,5 В. При напряжении питания 5...7 В ток нагрузки не должен превышать 5 А, в противном случае падение напряжения на транзисторе может превысить 1 В. Если напряжение питания больше, ток нагрузки может достигать 10...12 А.

Когда ток нагрузки не превышает 4 А, транзистор можно использовать без теплоотвода. Если ток больше, необходим теплоотвод, либо следует применить транзистор с меньшим сопротивлением канала. Подобрать его нетрудно по спра-

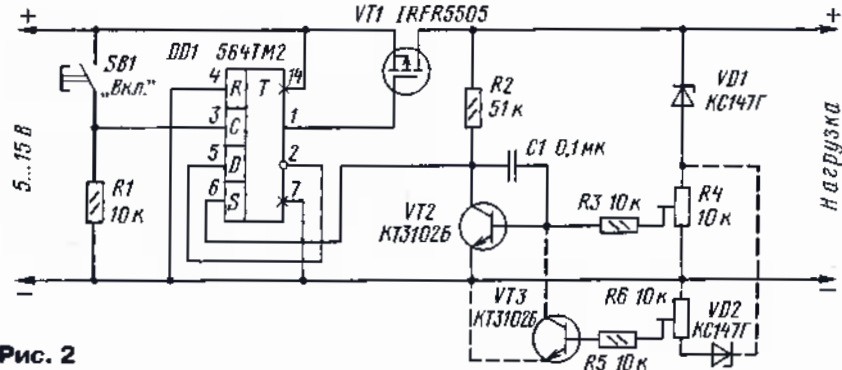


Рис. 2

nego дополнительно введены транзистор VT2, стабилитрон, конденсатор и резисторы, один из которых — подстроечный (R4).

При нажатии на кнопку SB1 полевой транзистор VT1 открывается, напряжение поступает на нагрузку. Из-за зарядки конденсатора C1 напряжение на коллекторе транзистора в начальный момент

аналогично описанному выше, но при увеличении напряжения выше определенного значения транзистор VT3 открывается, что приведет к закрыванию VT2, появлению высокого уровня на входе "S" триггера и закрыванию полевого транзистора VT1.

Кроме указанных на схеме, в устройстве можно применить микросхему

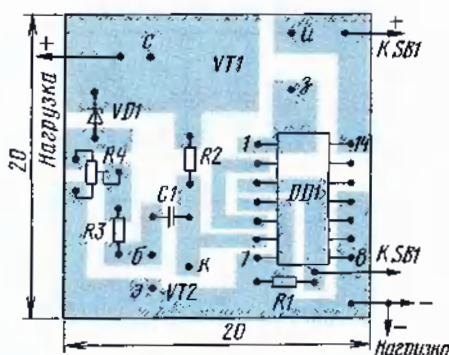


Рис. 3

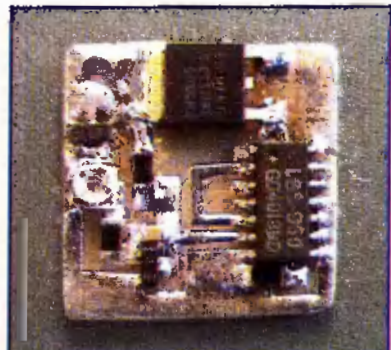


Рис. 4

Разработано
в лаборатории
журнала "РАДИО"

Пробники автолюбителя

A. МЕДВЕДЕВ, г. Ярославль

При поиске неисправностей в электропроводке автомобиля часто приходится использовать измерительные и тестирующие приборы. Данный пробник представляет собой комбинацию простейших индикаторов напряжения и сопротивления. Применение этого устройства дает определенные преимущества по сравнению с другими, так как пробник всегда готов к работе, зарядка аккумуляторов происходит в процессе работы, пробник не содержит переключателей, что удобно при его использовании. Пробник можно контролировать наличие напряжения от 6...7 В, проверять исправность диодов, транзисторов, конденсаторов, трансформаторов, коммутаторов.

На рис. 1 приведена принципиальная схема пробника. В режиме "прозвонки" при замыкании щупов загорается светодиод HL1. При подключении к

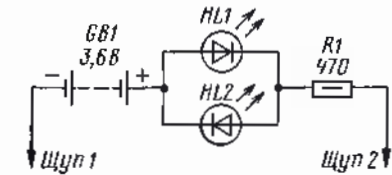


Рис. 1

щупу 1 минуса, а к щупу 2 соответственно плюса источника тока, загорается светодиод HL2. Резистор R1 является ограничительным, его сопротивление подобрано для работы с напряжениями до 28 В. Светодиоды HL1 — красный, HL2 — зеленый.

На рис. 2 приведена доработанная схема пробника с мигающим светодиодом.

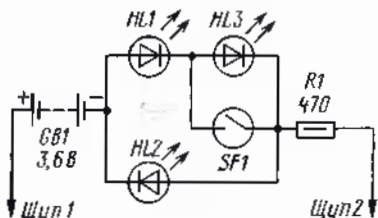


Рис. 2

одом HL3. Когда геркон замкнут, т. е. к корпусу пробника поднесен магнит, пробник работает в схеме по рис. 1. При разомкнутом герконе пробник используется как генератор сигнала, щуп 1 подключается к проводу, который необходимо прозвонить, щуп 2 замыка-

ется на массу. На другом конце провода подключается пробник, схема которого изображена на рис. 1 (щуп 2 на массу). При замыкании цепи, т. е. нахождении нужного провода в жгуте, светодиоды пробников начинают мигать. Устройство очень экономично, так как генератор начинает работать только при нахождении нужного провода. Светодиоды HL1 — красный, HL2 — зеленый, HL3 — красный мигающий.

На рис. 3 приведена принципиальная схема еще одного пробника. Он позволяет контролировать уровень напряжения. Принцип его работы такой же, как в пробнике по схеме рис. 1, за исключением того, что в зависимости от уровня напряжения будет загораться различное число светодиодов. Светодиоды HL1 — красный, HL2—HL5 — зеленые.

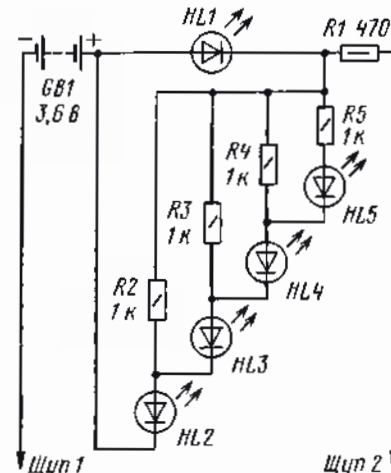


Рис. 3

На рис. 4 приведена схема пробника, позволяющего контролировать наличие напряжения от 2,5 В (т. е. этот пробник можно использовать для проверки устройств на логических микросхемах). В конструкции предусмотрена подсветка для работы в труднодоступных местах. При замыкании щупов между собой на базу транзистора VT1 подается минус, он открывается и загорается светодиод HL2. Щуп 1 соединяется с корпусом. Если на щуп 2 подать напряжение порядка 2...3 В, то откроется транзистор VT2 и загорится светодиод HL3. При увеличении напряжения при-

мерно до 6...7 В, загорится светодиод HL1, транзистор VT2 остается открытм и светодиод HL3 будет постоянно гореть. Резистор R4 определяет порог открытия транзистора VT1. Зарядка аккумулятора подсветки осуществляется через ограничительный резистор R2 и диод VD1, при замыкании SA1.

Светодиоды HL2 — красный, HL1, HL3 — зеленые.

Резисторы R1—R5 — МЛТ-0,25. Светодиоды HL1—HL5 рекомендую типа КИПД-40, но возможно использование любых других (в схеме на рис. 2 HL3 — любой мигающий светодиод). Транзисторы VT1 — серии KT361, VT2 — серии KT315 или им подобные, VD1 — любой диод на ток от 0,26 А. GB1 — аккумуляторная батарея из трех элементов. Аккумуляторы рекомендую от слуховых аппаратов емкостью 0,03 А·ч, но возможно использование любых других. GB2 — аккумуляторная батарея, составленная из пяти элементов емкостью 0,26 А·ч или им подобных. Щуп 1 выполнен в виде провода с зажимом

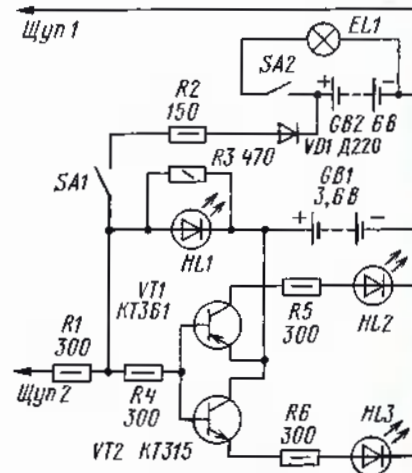


Рис. 4

типа «крокодил» на конце. Щуп 2 — игла, изготовленная из распаянного и заточенного куска пружины, для возможности разбирать автомобильные разъемы. Пробники собираются на винтовом монтаже, проверяется их работоспособность. Затем они помещаются в форму из пластилина или картона и заливаются эпоксидной смолой. После затвердевания смолы пробник обрабатывается напильником. Для зарядки аккумуляторов пробник включается в цепь измерения напряжения.

Редактор — В. Полтков, графика — Ю. Андреев

K561TM2, биполярные транзисторы KT342А—KT342В, KT3102А—KT3102Е, стабилитрон КС156Г. Постоянные резисторы — МЛТ, С2-33, Р1-4, подстроечные — СП3-3, СП3-19, конденсатор — К10-17, кнопка — любая малогабаритная с самовозвратом.

При использовании деталей для поверхностного монтажа (микросхема CD4013, биполярные транзисторы

KT3130А-9 — KT3130Г-9, стабилитрон BZX84C4V7, постоянные резисторы Р1-12, конденсатор К10-17в) их можно разместить на печатной плате (рис. 3) из односторонне фольгированного стеклотекстолита размерами 20×20 мм. Внешний вид смонтированной платы показан на рис. 4.

Налаживание автомата сводится к установке подстроечными резисторами

напряжений срабатывания устройства. Емкость конденсатора С1, возможно, придется увеличить — она должна быть такой, чтобы переходные процессы в питаемом устройстве завершились до того, как конденсатор зарядится до высокого логического уровня.

Редактор — Б. Иванов, графика — Ю. Андреев, фото — И. Некрасов

Двухчастотный генератор на мигающем светодиоде

А. Бутов, с. Курба Ярославской обл.

Мигающие светодиоды быстро завоевали симпатии радиолюбителей. Простота их применения окупает некоторые недостатки, например, относительно высокую стоимость и невозможность управлять частотой и скважностью световых импульсов. Радиолюбители не были бы таковыми, если бы не искали нестандартные варианты схем включения и применения различным радиодеталям. Не остались без внимания и мигающие светодиоды.

В технической литературе уже были опубликованы описания устройств, в которых мигающие светодиоды использовались как низкочастотные генераторы прямоугольных импульсов, см., например, статьи [1, 2]. Учитывая, что в составе мигающего светодиода имеется высокочастотный задающий генератор с делителем

Этот генератор имеет одну интересную особенность: если последовательно со светодиодом HL1 включить дроссель с индуктивностью несколько десятков микрогенри, то сигнал на высокочастотном выходе "окрашивается" множеством высокочастотных гармоник. Такое свойство можно использо-

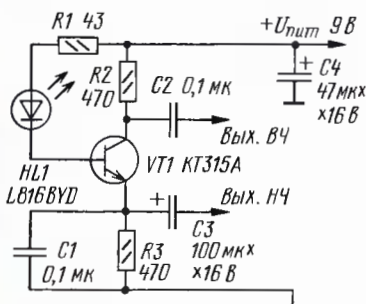


Рис. 1



Рис. 2

частоты, не составляет труда собрать устройство по схеме на рис. 1, в котором мигающий светодиод будет одновременно работать и как низкочастотный генератор с частотой следования импульсов 1...3 Гц, и как генератор пачек импульсов с частотой заполнения 100...350 кГц.

Биполярный транзистор VT1 работает как усилитель-разделитель высокочастотной и низкочастотной составляющих потребляемого светодиодом HL1 тока. На выводе эмиттера транзистора VT1 выделяется низкочастотная составляющая, амплитуда импульсов здесь составляет около 2 В. Амплитуда пачек высокочастотных импульсов (рис. 2) на выводе коллектора того же транзистора будет около 4 В. Развернутая осциллографом высокочастотного заполнения импульсов показана на рис. 3. Конденсатор C4 выполняет роль блокировочного по цепи питания.

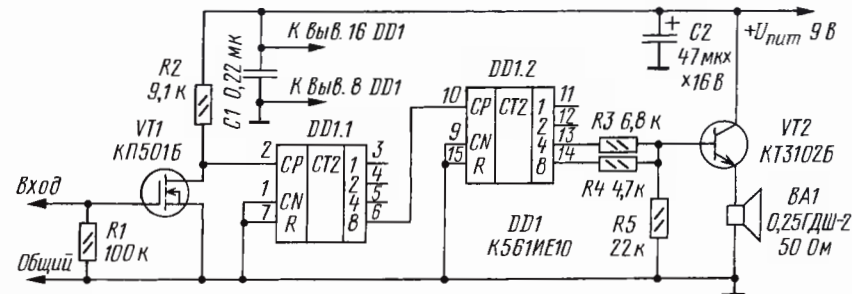


Рис. 4

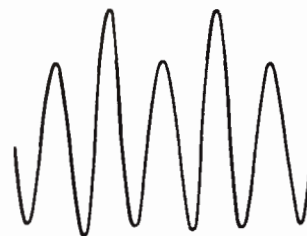


Рис. 3

вать, например, для проверки радиоприемников.

Если генератор, выполненный по схеме рис. 1, дополнить делителем частоты, собранном на КМОП микросхеме и двух транзисторах, как показано на рис. 4, то получится звуковой генератор тональных импульсов, воспроизведимых высокомомной динамической головкой BA1. На п-канальном полевом транзисторе VT1 собран усилитель высокочастотных импульсов, увеличивающий их амплитуду до уровня напряжения питания. Микросхема DD1 типа K561IE10 представляет собой два четырехразрядных двоичных счетчика. Она включена таким образом, что на выводе 13 частота импульсов в 128 раз меньше, чем на входе (вывод 2), а на выводе 14 — в 256 раз меньше.

Тон и частота гудков зависят от типа и экземпляра примененного светодиода.

Каскад на биполярном транзисторе VT2 построен по схеме эмиттерного повторителя таким образом, что на динамическую головку поступает четырехуровневый сигнал, осциллограмма которого показана на рис. 5. Изменяя в небольших пределах резисторы R3 и R4, удается изменить характер звучания динамической головки BA1. Частоту гудков можно повысить, подключив резисторы R3 и R4 к другим выходам счетчика DD1.2.

На месте HL1 автор применил мигающий светодиод типа L816BYD производства фирмы Kingbright желтого цвета свечения с яркостью до 40 мКд и диаметром корпуса 10 мм. Его можно заменить любым светодиодом из серий L816B..., L796B... (8 мм), L56B... (5 мм) или, например, красным матовым суперярким L796BSRD/B. Подойдут мигающие светодиоды и других фирм-изготовителей, но только без встроенного высокомомного токоограничительного резистора. Микросхему можно заменить

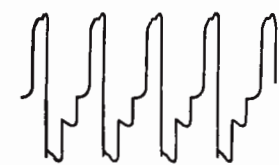


Рис. 5

на CD4520AE, а с изменением схемы включения — на K561IE16, K561IE20. Биполярные п-р-п транзисторы — любые из серий KT315, KT3102, KT645, KT6111, SS9013, 2SC2001. Полевой — КП501А, КП501В, КР1014КТ1А, К1014КТ1А. Оксидные конденсаторы — K50-35 или их импортные аналоги. Неполярные — K10-17. Резисторы — С1-4, МЛТ, С2-23, С2-33.

ЛИТЕРАТУРА

- Бутов А. Генераторы — сигнализаторы. — Радио, 2002, № 7, с. 59, 60.
- Мартемьянов А. Сигнализаторы на мигающем светодиоде. — Радио, 2000, № 5, с. 67.
- Бутов А. Электронный судья. — Радио, 2002, № 10, с. 54, 55.

Радиоприемник "Contest-RX"

Владимир РУБЦОВ (UN7BV), г. Астана, Казахстан

Этот приемник имеет лучшие параметры, чем разработанный автором статьи ранее и опубликованный в мартовском номере журнала за 2002 г. приемник "Супер-Тест". Он более чувствительный, у него лучше динамический диапазон.

В этом приемнике поставлен акцент на перенос коэффициента усиления приемника в большей степени на низкочастотные каскады. Это сделано преднамеренно, так как на низких частотах получить большее отношение сигнал/шум при той же элементной базе легче, чем на высокой частоте. Кроме того, примененная схема раздельной регулировки усиления по УРЧ и УПЧ позволила заметно увеличить качество приема на НЧ диапазонах без ухудшения динамических показателей.

Большое внимание в приемнике уделено ГПД. В нем использована схема Вакара, которая обладает повышенной стабильностью частоты. Монтаж генератора на керамических стойках (в том числе использование керамики в катушках и конденсаторах) и использование транзистора с малыми проходными емкостями привело к повышению стабильности частоты ГПД. Кроме того, появилась возможность производить термокомпенсацию только на одном диапазоне — 18 МГц при использовании однотипных конденсаторов с ТКЕ, близким к нулю.

Применение системы ЦАПЧ в этом приемнике напрочь изгоняет мысль об

использовании многодетального и многошумного синтезатора частоты.

Следует сказать и о системе АРУ. Она доведена, если не до совершенства, то до желаемого результата (при ограниченной элементной базе). Возможность установки порога срабатывания системы АРУ, автономность работы и возможность считывания показаний S-метра не зависимо от положений движков резисторов, регулирующих усиление, предотвращение щелчков при появлении мощных импульсных сигналов на входе приемника — это далеко не все полезные качества данной схемы.

В приемнике нет теплоотводов (за исключением небольшого у микросхемы DA1). Предусмотрена возможность установки на входе двухзвенных фильтров. Использование полноценного динамика, удаленность ГПД от динамика и сетевого трансформатора (для предотвращения нежелательных электромагнитных и механических обратных связей), возможность установки на переднюю панель крупногабаритных элементов управления, свободный доступ к радиоэлементам (цифровая шкала легко снимается — три винта) весьма полезны в данной конструкции.

Одним словом, эта конструкция наиболее совершенна по сравнению с другими моими конструкциями (при незначительно увеличенной элементной базе).

Приемник позволяет принимать сигналы любительских радиостанций, работающих CW и SSB в диапазонах 1,8; 3,5; 7,0; 10; 14; 18; 21; 24 и 28 МГц.

Чувствительность (при отношении сигнал/шум, равном 3), мкВ не хуже 0,3

Двухсигнальная избирательность (при расстройке 20 кГц), дБ 70

Динамический диапазон по "забитию", дБ 105

Полоса пропускания, кГц 2,4 (SSB) и 0,8 (CW)

Диапазон работы АРУ (при изменении выходного напряжения не более чем на 6 дБ), дБ не менее 100

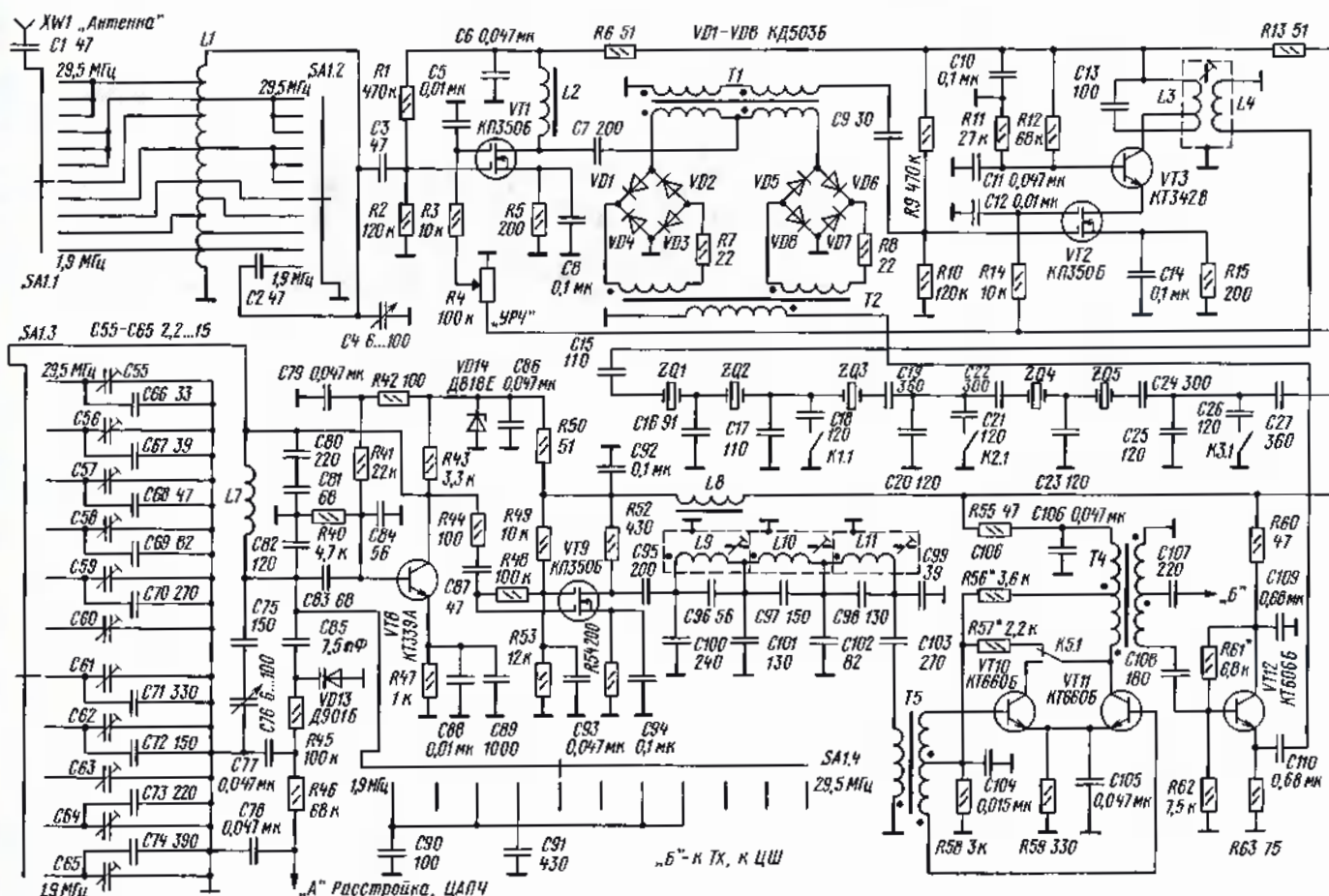


Рис. 1

Номинальная звуковая выходная мощность, Вт 1

Максимальная звуковая выходная мощность (при использовании дополнительного динамика), Вт 3,5

Приемник питают от сети 220 В 50 Гц или напряжением +12...24 В. Его габариты — 290×178×133 мм.

Принципиальная схема приемника приведена на рис. 1. Он представляет собой супергетеродин с одним преобразованием частоты.

Радиочастотный сигнал через антеннное гнездо XW1, конденсатор C1 и переключатель SA1.1 поступает на часть катушки L1, образующей вместе с конденсатором переменной емкости C4 входной контур. Переключение приемника с диапазона на диапазон осуществляется замыканием соответствующей части витков катушки секцией переключателя диапазонов SA1.2. Секция переключателя SA1.1 на любом из диапазонов подключает к антенне только часть витков (примерно половину) катушки входного контура, обеспечивая этим приемлемое согласование с антенной.

В диапазоне 1,8 МГц параллельно КПЕ C4 подключается конденсатор C2, благодаря чему обеспечивается возможность настройки в данном диапазоне частот с одновременным уменьшением коэффициента перекрытия по частоте. С входного контура РЧ сигнал

через конденсатор C3 поступает на первый затвор транзистора VT1, работающего в каскаде УРЧ. На второй затвор этого транзистора подано управляющее напряжение АРУ. Оно подводится через резистор R4, которым осуществляется ручная регулировка усиления данного каскада.

С УРЧ сигнал подается на двойной мостовой балансный смеситель. В состав этого смесителя входят два диодных моста VD1—VD4, VD5—VD8, два трансформатора T1, T2 и два резистора R7, R8. Наличие резисторов позволяет осуществить переключательный режим диодов при сравнительно высоком напряжении гетеродина и ограничить их ток при открывающей полуволне напряжения до предельно допустимого значения. Данный смеситель является одним из вариантов смесителей высокого уровня, способным обеспечить большой динамический диапазон за счет высокого напряжения гетеродина. К положительным качествам данного смесителя относится и хорошая развязка входных и гетеродинных цепей.

Сигнал ГПД подается на одну из обмоток трансформатора T2, а сигнал радиочастоты — в точку соединения двух обмоток трансформатора T1. Сигнал промежуточной частоты 5,5 МГц снимается с четвертой обмотки T1, которая включена последовательно с третьей обмоткой, чем обеспечивается хорошее согласование с высокомоменным входом

последующего каскада. Далее сигнал ПЧ усиливается каскадом, выполненным на транзисторах VT2VT3 по каскодной схеме, где VT2 включен с общим истоком, а VT3 — с общей базой.

Выделенный на контуре L3C13 сигнал ПЧ поступает на фильтр основной селекции, в качестве которого используется восьмикристальный кварцевый фильтр, выполненный по лестничной схеме. При замыкании контактов реле K1.1, K2.1, K3.1, K4.1 полоса пропускания фильтра сужается с 2,4 до 0,8 кГц. С выхода кварцевого фильтра сигнал ПЧ через согласующий трансформатор T3 поступает на второй УПЧ, выполненный на транзисторе VT4 по схеме с общим истоком. На вторые затворы полевых транзисторов обоих усилителей ПЧ поступает управляющее напряжение АРУ. Резистором R69 выполняют ручную регулировку усиления выше-названных каскадов.

С контура L5C35 сигнал ПЧ поступает на детектор SSB сигнала, выполненный на диодах VD9—VD12 по колышевой балансной схеме. На него же через резистор балансировки R23 поступает и сигнал образцового кварцевого гетеродина частотой 5,5 МГц, который собран на транзисторе VT13. С выхода SSB детектора сигнал ЗЧ через ФНЧ (C37R24C42) и искусственно созданный неполярный конденсатор C40C41, необходимый для предотвращения разбалансировки колышевого смесителя

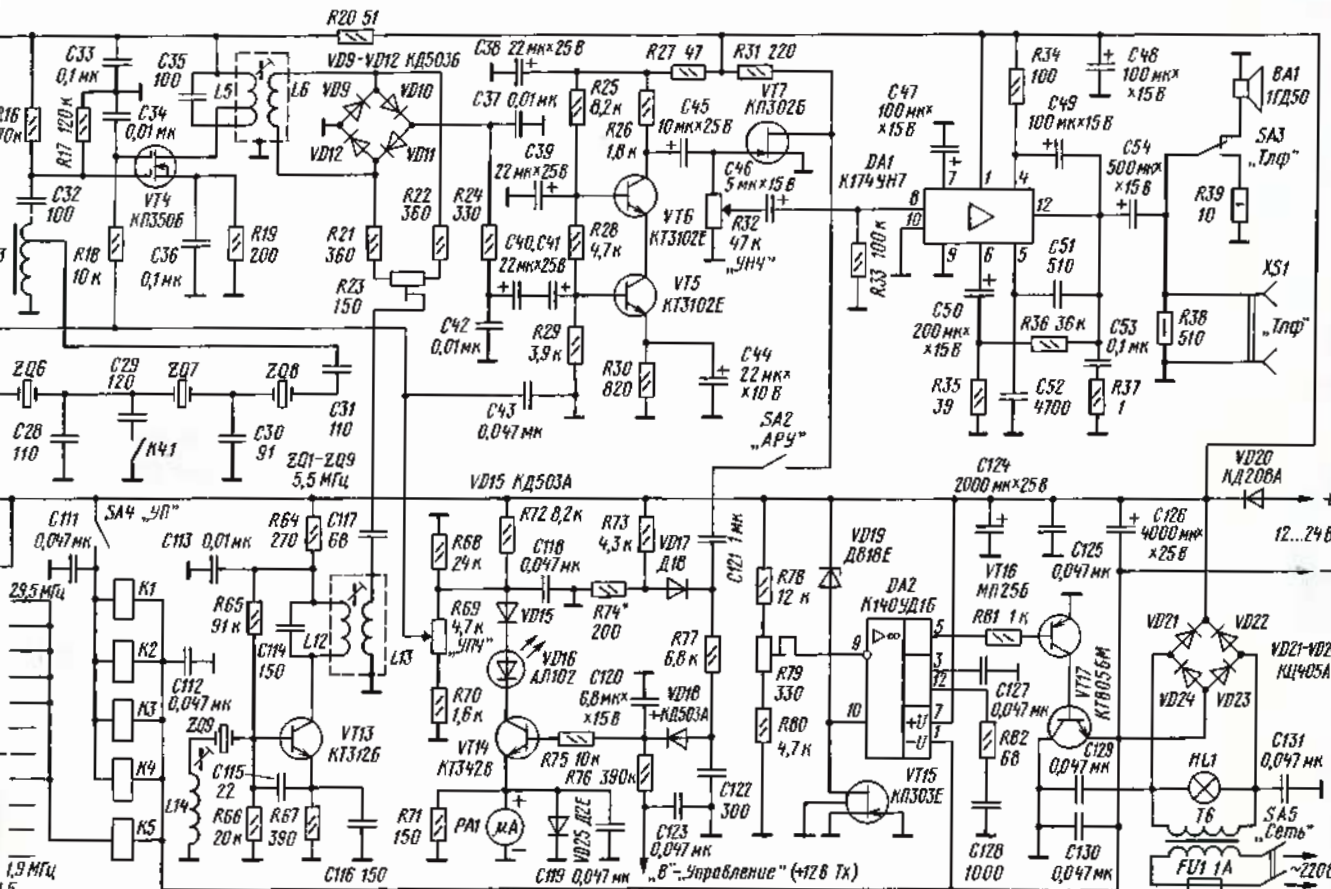


Таблица 1

Диапазон, МГц	Частота задающего генератора, МГц	Удвоение в усилителе-удвоителе, МГц
1,9	7,33...7,43	
3,5	9...9,3	
7,0	12,5...12,6	
10,1	7,8...7,825	15,6...15,65
14,0	8,5...8,85	
18,1	12,568...12,668	
21,0	7,75...7,975	15,5...15,9
24,9	9,695...9,745	19,39...19,49
28,0	11,25...11,535	22,5...23,07
28,5	11,535...11,82	23,07...23,64
29,0	11,82...12,1	23,64...24,2

постоянным напряжением, которое может поступить с базы VT5 при изменении параметров электролитического конденсатора С44 с течением времени, поступает на предварительный усилитель низкой частоты, выполненный на малошумящих транзисторах VT5 и VT6 по каскодной схеме. Первый транзистор включен по схеме с общим эмиттером, второй — с общей базой.

С коллектора VT6 сигнал 34 поступает через резистор регулировки усиления НЧ R32 на оконечный УНЧ (DA1), а с его выхода — либо на динамики BA1, либо на телефоны в зависимости от положения переключателя SA3. С коллектора VT6 сигнал 34 также поступает через каскад на транзисторе VT7 и выключатель SA2 на схему автоматической регулировки усиления (АРУ), выполненную на транзисторе VT14. На диодах VD17 и VD18 выполнен выпрямитель АРУ. Величина сопротивления R74 определяет порог срабатывания системы АРУ, а величина емкости C120 — время срабатывания. Диоды VD5, VD6 предотвращают полное закрывание VT14 при появлении мощного импульсного сигнала на входе приемника, что предотвращает появление щелчков в динамике.

Наличие резистора R68 позволяет ограничить управляющее напряжение АРУ сверху, а резистора R70 — убрать нерабочий участок снизу. В эмиттер VT14 включен измерительный прибор РА1 в качестве S-метра. R71 ограничивает сверху подаваемый на РА1 сигнал, а VD25 создает нелинейность для сигналов с большими уровнями, что удобно при их считывании. Конденсатор С119 блокирует наводки по ВЧ. На вход "B" подается управляющее напряжение +12 В для запирания приемника при работе передающей приставки на передачу.

Генератор плавного диапазона (ГПД) выполнен на транзисторе VT8. К плосам ГПД можно отнести использование каскада усилителя-удвоителя и промежуточную частоту 5,5 МГц. Эта ПЧ имеет меньшее число пораженных точек при преобразовании по сравнению с другими значениями ПЧ. Параметрический стабилизатор напряжения VD14R50 и конденсатор С86 предотвращают просачивание высокочастотного напряжения в цепь питания и обеспечивают повышенную стабиль-

ность параметров выходного сигнала. Секция переключателя SA1.3 подключает на различных диапазонах частот конденсаторы ГПД, а секция SA1.4 подключает конденсаторы С90 и С91, примененные для получения необходимой растяжки на различных диапазонах. Резистор R44 улучшает развязку между генератором и последующим каскадом. Частоты, вырабатываемые ГПД, указаны в табл. 1.

На транзисторе VT9 выполнен широкополосный усилитель ГПД. Малая проходная емкость затворной цепи и высокое входное сопротивление каскада способствуют хорошей развязке генератора от других каскадов. Выход усилителя ГПД нагружен на эллиптический фильтр нижних частот седьмого порядка с полосой пропускания 7,33...12,668 МГц. Частота среза фильтра — 12,72 МГц. Для всех паразитных компонент спектра генерируемого сигнала обеспечивается подавление более 35 дБ.

Выход ФНЧ подключен к входу каскада, выполненного на транзисторах VT10 и VT11, который представляет собой переключаемый усилитель-удвоитель. Переключение режимов данного каскада производят с помощью контактов реле K5.1. На диапазонах 1,9; 3,5; 7; 14; 18 МГц усилитель-удвоитель работает как усилитель, а на остальных — как удвоитель. При переходе из режима удвоения в режим усиления коллектор транзистора VT10 отключается, а транзистор VT11 переводится в линейный режим класса А путем подачи в базовую цепь дополнительного положительного смещения из-за подключения резистора R57. В режиме удвоения сигнал с входного трансформатора T5 в противофазе подается на базы транзисторов. Коллекторы транзисторов при этом включены параллельно и нагружены на входную обмотку трансформатора T4. С выходной обмотки T4 сигнал ГПД подается на первый смеситель приемника через эмиттерный повторитель (VT12), а с ее середины (выход "B") — на цифровую шкалу и передающую приставку.

Вывод "A" используют при просмотре АЧХ кварцевого фильтра и его настройке по методу, описанному в [1]. Если предполагается использовать приемник совместно с передающей приставкой, то в ГПД следует ввести систему

расстройки, а при работе цифровыми видами связи — систему ЦАПЧ [8]. Эта система работает совместно со шкалой В. Криницкого [2], и ее работа подробно описана в [3]. В приемнике можно использовать не только эту цифровую шкалу, но и другие, например, авторов В. Буравлева, С. Вартазаряна, В. Коломийцева [4]. При использовании шкалы В. Криницкого для правильного отсчета частоты в счетчики необходимо записать числа 945000 на НЧ диапазонах (до 10 МГц включительно) и 055000 на ВЧ диапазонах. Фрагмент принципиальной схемы ЦШ с элементами записи вышеназванных цифр и схема коммутации с целью записи цифр в шкалу показаны в [8].

Блок питания состоит из сетевого трансформатора T6, выпрямительного моста VD21—VD24 и стабилизатора, выполненного на DA2, VT15, VT16 и VT17. Коллектор транзистора VT17 "посажен" непосредственно на корпус шасси. На эмиттере этого транзистора относительно корпуса присутствует отрицательное напряжение, которое можно использовать для дополнительного запирания каскадов приемника при его использовании совместно с передающей приставкой. Коэффициент стабилизации выходного напряжения этого стабилизатора — не менее 4000.

ЛИТЕРАТУРА

1. Рубцов В. Как посмотреть АЧХ трансивера. — Радио, 2003, № 4, с. 64.
2. Криницкий В. Цифровая шкала — частотомер. Лучшие конструкции 31-й и 32-й выставок творчества радиолюбителей. — М.: ДОСААФ, 1989, с. 70—72.
3. Бондаренко В. Модернизация цифровой шкалы. — Радиолюбитель, 1991, № 4, с. 6, 7.
4. Рубцов В. Трансивер Contest. — Радио, 1999, № 5, с. 58, 59.
5. Лаврентьев Г. Цифровая АПЧ в гетеродине. — Радио, 2000, № 6, с. 69.
6. Рубцов В. Цифровая АПЧ для трансивера. — Радио, 2003, № 2, с. 69.
7. Буравлев В., Вартазарян С., Коломийцев В. Универсальная цифровая шкала. — Радио, 1990, № 4, с. 28—31.
8. [ftp://ftp.radio.ru/pub/2004/02/ConRX.zip](http://ftp.radio.ru/pub/2004/02/ConRX.zip).

(Окончание следует)

Редактор — А. Милющенко, графика — Ю. Андреев

МОДУЛЬНАЯ РЕКЛАМА

Условия см. в "Радио", 2003, № 1, с. 41

Контроллеры пакетной радиосвязи (УКВ радиомодемы)

- TNC2W-1200
- TNC2W-4800
- TNC2W-9600

Модуль STM — телеметрия по пакетному радиоканалу

- 8 аналоговых + 16 цифровых входов
- GPS

Тел.: 8-916-6881358
e-mail: rmodem@mail.ru
WWW: <http://rmodem.by.ru>

Из опыта эксплуатации антенн для сотового телефона

М. НИКОЛАСТИКОВ, г. Москва

За последние годы услуги сотовой связи подешевели, а число абонентов возросло, причем многие обзаводятся "мобильниками" для связи с дачным участком, а там она далеко не так устойчива, как, скажем, в Москве. Рассмотрим "дачный вариант".

В продаже (во всяком случае, в крупных городах) имеются внешние антенны для сотовых телефонов, но они дороги. Журнал "Радио" дважды публиковал описание самодельных антенн [1, 2], но повторяя их, не все получают ожидаемый результат. Попробуем разобраться, используя литературу [3, 4, 5, 6] и мой личный двухлетний опыт.

1. Поляризация радиоволн в сотовой связи вертикальная, а не горизонтальная, как чаще всего в телевидении. Поэтому, пересчитав размеры телевизионной антенны на диапазон 900—1800 МГц (для GSM), не забудьте повернуть ее на 90 градусов в вертикальной плоскости.

2. Известно, чем выше частота, тем больше затухание сигнала в кабеле. С другой стороны, чем больше диаметр кабеля, тем затухание меньше. Поэтому в качестве фидера антенны следует использовать коаксиальный кабель возможно большего диаметра и минимальной длины. Неудобно — это да, но лучше. Для "стыковки" с аппаратом можно сделать так, как описано в [2], или же, если в аппарате предусмотрено гнездо для внешней антенны, соединить толстый кабель снижения с разъемом двумя короткими проводниками пайкой (потери возрастут, но не намного). К "фирменным" переходникам надо относиться осторожно.

3. Несмотря на заверения в литературе, что "металлическую мачту можно непосредственно крепить к точкам нулевого потенциала", закрепите антенну на горизонтальной диэлектрической штанге длиной 60...80 см, а уже ее — к металлической мачте. Кстати, мачту тоже лучше использовать диэлектрическую.

4. Длина волн в диапазоне GSM — порядка 30 см, и как она переотразится по дороге к вам, неизвестно. Попробуйте повернуть антенну не на 90 градусов (как указано выше), а на 30, 45, 60 — вдруг поможет?

5. Поляризация радиоволн исходно вертикальная, а поэтому нежелательно наличия между вами и базовой станцией вертикальных токопроводящих предметов (водосточные трубы, мачты телевизионных антенн, опоры линий электропередач и т. п.).

Попробую сформулировать рекомендации по выбору и установке антennы для сотового телефона стандарта GSM.

1. Для начала изгответьте макет антennы, как описано в [1, 2], лучше с рефлектором и с кабелем снижения длиной не более 1 м.

2. Определите направление (азимут) на ближайшую достаточно мощную базовую станцию. Делается это примерно так. Забрались на ближай-

ший пригород (так, чтобы аппарат "поймал" сеть при минимальном уровне сигнала — смотрите на индикатор) и пристыковали антенну — сигнал должен возрасти. Медленно поворачивайте антенну влево — сигнал пропал (засекли азимут), а теперь медленно вправо — сигнал возрастает, а затем опять пропадает (засекли азимут). Среднее значение двух азимутов дает направление на базовую станцию. Почему поворачивать надо медленно — потому что у всех известных мне аппаратов обновление информации об уровне сигнала происходит через 3—6 с, не чаще. Полезно пользоваться компасом.

3. Теперь не спеша двигайтесь к своему дому, стараясь не потерять сигнал. Может быть, поймать сигнал базовой станции вы сможете, лишь сидя на крыше — ничего не поделаешь, придется покупать (изготавливать) более сложную антенну.

Для чего нужен макет антennы? А у нее диаграмма направленности гораздо шире, чем у высококачественных, поэтому легче "поймать" базовую станцию.

4. Может быть, все это и не дает результата, если, например, между вами и базовой станцией имеется пригород, который радиоволны обогнуть не в силах. Здесь может помочь "пассивный ретранслятор" — просто металлическая сетка размерами примерно 2×4 м — ее нужно установить вертикально на вершине того пригорочка, чтобы ретранслятор отражал радиоволны туда, куда надо (буквально "на глазок"!). Еще лучше — рассчитать и изготовить пассивный ретранслятор типа "препятствие" — он достаточно подробно описан в [6]. Если в дачном поселке достаточно много владельцев "мобильников", эта работа обойдется дешево. Такой способ не проверялся, но замечено: как только портится погода и небо затягивает сплошная пелена облаков, качество связи резко улучшается.

И последнее: в [2] вкрадлась ошибка — точки А и Б антennы должны быть расположены горизонтально.

ЛИТЕРАТУРА

1. **Васильевский В.** Внешняя антenna для сотового телефона стандарта GSM. — Радио, 2002, № 10, с. 70, 71.
2. **Николастиков М.** Еще один вариант антennы для сотового телефона. — Радио, 2003, № 10, с. 70.
3. **Михайлов В.** Антenna DMB — за час работы. — Радио, 1998, № 6, с. 8, 9.
4. **Булыч В.** Радиолюбителю о телевизионных антennах. — М.: ДОСААФ, 1977.
5. **Онищенко И.** Приемные телевизионные антennы. — М.: ДОСААФ, 1989.
6. **Никитин В.** Как сделать телевизионную антенну. — М.: МП "Символ-Р" и редакция журнала "Радио", 1994.

Редактор — В. Поляков

Центральный музей связи им. А.С.Попова

Основанный в 1872 г. в Санкт-Петербурге Центральный музей связи является одним из старейших музеев истории техники в России и единственным, рассказывающим об истории развития всех видов связи. Он расположен в историческом дворце князя А.А. Безбородко, из-за аварийного состояния которого в течение последних 30 лет он был закрыт для посетителей. В 2000 г. была разработана концепция возрождения музея, а программа в哥 капитально-реставрационного ремонта вошла в Президентский список объектов, подлежащих реконструкции к празднованию 300-летия Санкт-Петербурга. И вот, 19 декабря прошлого года Центральный музей связи им. А.С. Попова открыл свои двери для посетителей и стал работать в режиме открытого музея.

Уникальные коллекции музея представляют собой национальное достояние России и включены в Государственный каталог музейного фонда Российской Федерации. Собрание насчитывает более 8 млн экспонатов и содержит как документальные, так и вещественные коллекции по истории почтовой, телеграфной и телевизионной связи, радиосвязи и радиовещания, телевидения, космической связи и современных средств телекоммуникации. Среди них представлено 50000 уникальных исторических документов, 8 миллионов знаков почтовой оплаты (марок), 15 тысяч аппаратов и 50 тысяч книг и журналов.

Впервые очредь новой экспозиции вошли следующие залы: "История развития средств связи", "История почтового квартала", "Выставки из коллекций ЦМС", "Мемориальная комната А.С.Попова", "История развития мобильной связи в России", "Эволюция услуг современной связи", "Сокровища российской филателии". На обозрение публики музея представлены такие раритетные экспонаты, как первый гражданский спутник связи "Луч-15", подаренный музею Министерством РФ по связи и информатизации; подлинные почтовые санки, перевозившие почтовые грузы в XIX веке; нагрудные знаки, баулы и сумки почтальонов; подлинник первого в мире электромагнитного телеграфного аппарата, созданного в 1832 г. П.Л. Шиллингом, первый междугородний коммутатор, работавший на линии Санкт-Петербург—Москва с 1898 г., физические и радиотехнические приборы русского физика, изобретателя радио профессора А.С. Попова, имя которого было присвоено музею в 1945 г., рукописи и архивные материалы выдающихся российских ученых Б.С. Якоби, А.Н. Лодыгина, П.Н. Яблочкива, Б.Л. Розинга и многих других.

Микрофон с устройством записи—воспроизведения

Игорь НЕЧАЕВ (UA3WIA), г. Курск

При работе в эфире зачастую приходится многократно повторять свой позывной. "Автоматизировать" этот процесс может цифровой магнитофон, который имеется в некоторых трансиверах. Часто для этих целей используют и компьютер. Однако последний вариант не всегда удобен или возможен. Помочь в этой ситуации может описываемое ниже устройство.

Устройство записи—воспроизведения позволяет записать передаваемую или принимаемую информацию и воспроизводить ее многократно. Его основной является микросхема ISD1416 (ISD1420). Она представляет собой электронное устройство записи—воспроизведения звуковой информации. Продолжительность записи зависит от типа примененной микросхемы. Для записи информации к микросхеме надо подключить электретный микрофон, а для

(рис. 1) разработана для носимых трансиверов типов "ALINKO-191", "STANDARD-C510" и аналогичных. К гнездам XS1, XS2 подключают микрофонную гарнитуру, а к XS4 — соединительные кабели, подключаемые к телефонному и микрофонному гнездам трансивера. Без питающего напряжения устройство обеспечивает передачу выходного сигнала приемника на головные телефоны и сигнала микрофона на вход трансивера, а также дистанционное включение режима

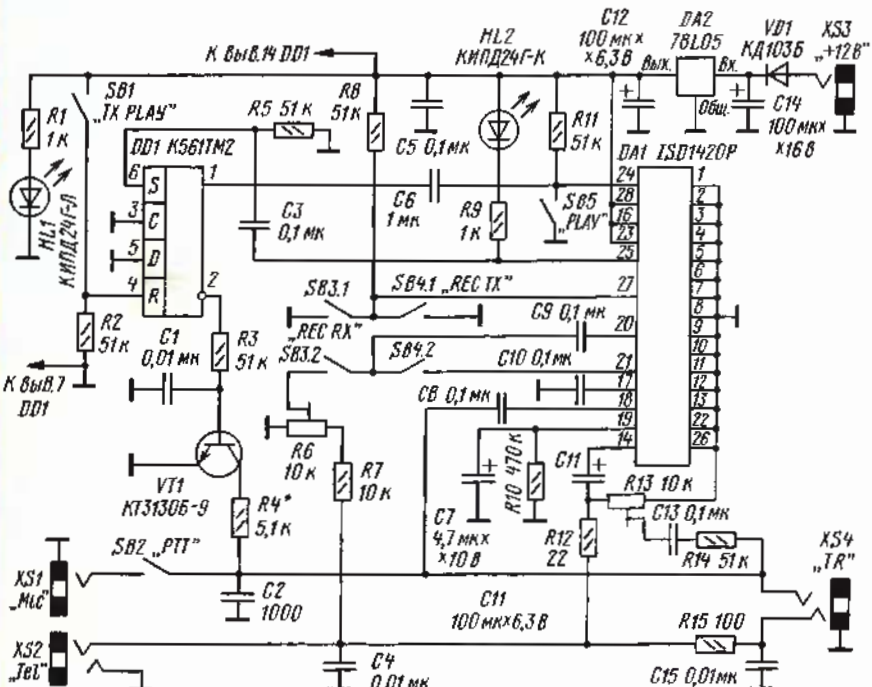


Рис. 1

воспроизведения — динамическую головку. Здесь можно применить компьютерную мультимедийную микрофонную гарнитуру, например, MHS101, MHS111, в состав которой входят головные телефоны и электретный микрофон.

Схема микрофонной гарнитуры с устройством записи—воспроизведения

Разработано
в лаборатории
журнала "РАДИО"

"TX". Происходит это так. При замыкании кнопки SB2 напряжение питания с трансивера поступает на микрофон и за счет протекающего через него тока трансивер переходит в режим "TX", а сигнал микрофона поступает на него.

При подаче на гнездо XS3 питающего напряжения (9...24 В) устройство может осуществлять запись принимаемого, передаваемого сообщений, а также воспроизведение записанной информации на головные телефоны или передачу ее в эфир в автоматическом режиме. Каждый из режимов включается соответствующей кнопкой. Питающее напряжение стабилизировано микросхемным стабилизатором напряжения DA2. Светодиод HL1 индирует наличие питающего напряжения, а HL2 — режим записи. На элементе DD1 собран RS-триггер, а на транзисторе — электронный ключ. Работает устройство так.

Режим записи передаваемой информации. В этом режиме нажимают кнопку SB2 "PTT", трансивер переходит в режим "TX" и микрофонный сигнал поступает на него, а также на вход микросхемы DA1. Для записи информации надо нажать еще и на кнопку SB4 "REC TX". В этом случае низкий логический уровень поступит на вывод 27 микросхемы DA1 (режим записи), а сигнал с микрофонного усилителя микросхемы через контакты SB4.2 поступит на оконечный усилитель и будет записан в запоминающее устройство. Продолжительность записи определяется длительностью нажатия на кнопку SB4, но не превысит 16 с для ISD1416 и 20 с для ISD1420. В этом режиме светодиод HL2 будет гореть.

Режим записи принимаемой информации. Для этого при приеме надо нажать на кнопку SB3 и удерживать ее. При этом на вывод 27 микросхемы поступит низкий логический уровень, а сигнал с выхода У34 трансивера через резисторы R7, R6 и контакты SB3.2 поступит на вход оконечного усилителя и также будет записан. Максимальная продолжительность записи будет такой же, а светодиод HL2 в этом режиме будет гореть.

Режим воспроизведения на головные телефоны. Для этого надо кратковременно нажать на кнопку SB5 "PLAY". На выводе 24 микросхемы появится низкий логический уровень, и она перейдет в режим воспроизведения. При этом на выходе У34 микросхемы (вывод 14) появится мощный сиг-

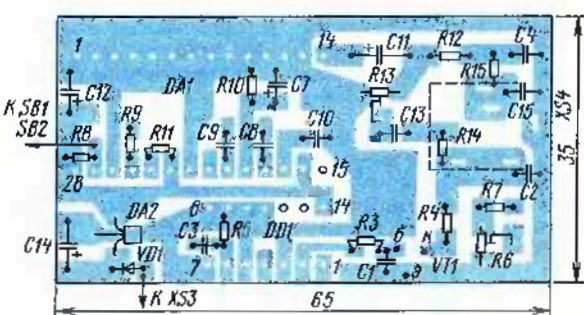


Рис. 2

По страницам иностранных журналов

«Парасол» — зонтичный антенный на 160 метров

В статье Эла Кристмена, K3LC (QST, Oct. 2000, p. 43 — 49) описывается несколько необычная зонтичная антенна на диапазон 160 м, которая легко может быть пересчитана и на другие любительские диапазоны. Антенна имеет ряд достоинств: во-первых, ее высота не превосходит половины высоты обычной четвертьволновой вертикальной антенны, т. е. составляет всего $\lambda/8$, во-вторых, вертикальная мачта антенны заземлена в нижней точке, не требуя опорного изолятора, в-третьих, питание антенны осуществляется в верхней точке мачты, позволяя размещать практически по всей ее длине другие структуры, например, антенны высокочастотных и УКВ диапазонов. Две подобные средневолновые антенны построены в штате Пенсильвания и с успехом используются для радиовещания.

По конструкции антенна повторяет известную с 30-х годов прошлого века антенну-мачту с верхним питанием Айзенберга. Она требует хорошего заземления, а лучше — системы радиальных противовесов. На рис. 1 показана схема антенны со 120-ю закопанными на небольшую глубину четвертьволновыми противовесами. Все они соединены с основанием мачты высотой 21,33 м. Коаксиальный ка-

не останавливаясь на многих промежуточных вариантах, описанных в статье, расскажем лишь о следующих: если длину закопанных противовесов уменьшить до 21 м, выигрыш антенны падает до 0,24 дБи, т. е. на 1 дБ, а длину лучей «зонтика», которые теперь направлены под углом 45° к горизонту, надо увеличить до 15,4 м (для настройки в резонанс).

Поскольку создание столь разветвленной «земли» проблематично, оказалось целесообразным использовать приподнятые противовесы, причем в гораздо меньшем количестве. На рис. 2 показан вариант с восемью радиальными противовесами, идущими от основания мачты на высоту 3,66 м, и затем горизонтально, на расстояние 21,3 м от мачты. Три провода «зонтика», наклоненных под углом 45°, имеют длину 15,66 м. Выигрыш антенны упал еще на 0,7 дБ и составил −0,43 дБи при входном сопротивлении 23 Ом.

Короткие приподнятые противовесы требуют настройки. Для этого у основания мачты они соединены по четыре вместе и подключены к мачте через две катушки с индуктивностью по 7 мГн. Соединение противовесов с мачтой не у земли, а на некоторой высоте, отказ от их настройки катушками или прокладка непосредственно по поверхности земли дает худшие результаты, иногда на несколько децибел.



Рис. 1

бель питания проходит внутри мачты, его оплетка соединяется с вершиной мачты, а центральный проводник — с «зонтиком». Последний выполнен из трех проводов длиной по 14,2 м, наклоненных под углом 30° к горизонту. Эти же провода являются верхней частью растяжек, поддерживающих мачту. Растяжки направлены в сторону концов закопанных противовесов.

Диаметр всех проводов (противовесов и зонтика) — 2 мм. Провода медные или из бронзового антенного канатика. Противовес можно выполнить и из оцинкованной стали. Сама мачта представляет собой двухдюймовую (диаметр 50,8 мм) дюралюминиевую трубу и опирается на полудюймовую трубу из оцинкованной стали длиной 1,5 м, воткнутую в землю.

Компьютерное моделирование показало, что такая антенна практически не уступает полноразмерному четвертьволновому вертикалсу с аналогичной системой противовесов, имеет выигрыш относительно изотропного излучателя 1,26 дБи, угол максимума излучения в вертикальной плоскости 24° и входное сопротивление (в точке питания) около 30 Ом на резонансной частоте 1830 кГц. Диэлектрическая проницаемость земли полагалась равной 13, проводимость — 5 мсм/м.

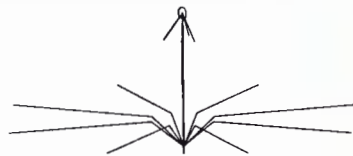


Рис. 2

При изготовлении антенны, предупреждает автор, следует обращать самое пристальное внимание на качество электрических соединений — от них в сильной мере зависят потери в антенне. В то же время мачта антенны не обязательно должна быть алюминиевой — при использовании оцинкованной стали потери возрастают менее чем на 0,1 дБ. Не обязательно также точно придерживаться приведенных размеров — мачта может быть несколько выше или ниже, а в резонанс антenna настраивается изменением длины лучей «зонтика». Их также может быть не три, а больше. Приподнятые противовесы лучше настраивать отдельно изменением индуктивности катушек, включенных в их основание.

Очень интересные результаты дало компьютерное моделирование фазированной антенной решетки из четырех зонтичных антенн, размещенных по углам квадрата со стороной 1/4 длины волны. Получаются диаграммы направленности не хуже, чем у двух-, трехэлементных «волновых каналов» на ВЧ диапазонах. Достижимый выигрыш превосходит 6 дБ, а отношение мощностей излучения вперед/назад — 23 дБ. Максимум излучения по-прежнему направлен под углом 22...23° к горизонту.

нал, который через резистор R12 поступит на головные телефоны. По окончании воспроизведения светодиод HL2 кратковременно вспыхнет.

Воспроизведение в режиме “TX”. В этом режиме осуществляется воспроизведение записанной информации на головные телефоны и одновременно включение трансивера и ее передача в эфир. Для включения этого режима надо кратковременно нажать на кнопку SB1 “TX PLAY”. При этом высокий логический уровень поступит на вход R-триггера, и на его прямом выходе появится низкий уровень, который через конденсатор C6 поступит на вывод 24 микросхемы и она переключится в режим воспроизведения. Сигнал с выхода U34 микросхемы через элементы R13, C13, R14 поступит на микрофонный вход трансивера.

Одновременно высокий логический уровень на инверсном выходе триггера откроет транзистор, через микрофонный вход трансивера потечет ток и он перейдет в режим передачи. По окончании воспроизведения на выводе 25 кратковременно появится низкий логический уровень и светодиод HL2 вспыхнет. Положительный перепад напряжения через конденсатор C3 поступит на вход S триггера, и на инверсном выходе появится низкий логический уровень, транзистор закроется и трансивер перейдет из режима “TX” в режим “RX”.

В устройстве для уменьшения его габаритов следует применить детали для поверхностного монтажа. Возможные замены элементов DA2 — KР1157ЕH502, VD1 — любой выпрямительный малогабаритный, светодиоды — малогабаритные с рабочим током 5...10 мА, полярные конденсаторы — чип- tantalовые, неполярные — K10-17, подстроечные резисторы — СР3-19, постоянные — Р1-12. Кнопки — любые малогабаритные с самовозвратом, гнезда XS1—XS4 — двухканальные (стereo 2,5 и 3,5 мм) от бытовой радиоаппаратуры. Все внешние соединительные провода должны быть экранированными.

Большинство деталей размещают на печатной плате из двусторонне фольгированного стеклотекстолита (рис. 2). Вторая сторона оставлена металлизированной и используется как общий провод. Отверстия для деталей на этой стороне раззенкованы. Плату размещают в корпусе из изоляционного материала с подходящими размерами, подойдет, например, корпус от компьютерной мыши. На корпусе размещают гнезда, кнопки и светодиоды. При желании схему можно упростить, исключив из нее светодиоды, установив взамен HL2 перемычку и увеличив сопротивление резистора R9 до 10 кОм.

Налаживание сводится к установке подстроечными резисторами необходимых уровней сигналов, при этом предварительно надо установить уровень выходного сигнала ЗЧ трансивера и в дальнейшем поддерживать его примерно постоянным. Для адаптации устройства к трансиверам с отдельной шиной управления включением передачи резистор R4 надо отключить от микрофонной шины и соединить его с шиной управления.

Редактор — А. Милюченко, графика — Ю. Андреев

Редактор — В. Поляков

Многодиапазонные направленные антенны

Эрнест Гуткин (UT1MA), г. Луганск, Украина

О многодиапазонной направленной антенне мечтают многие радиолюбители. Известен целый ряд технических решений, позволяющих создать такую конструкцию, но не все они легко воспроизводимы в любительских условиях. Автор этой статьи предлагает вниманию читателей свой вариант реализации компактной пятидиапазонной направленной антенны.

Направленная вращающаяся КВ антenna на 5 диапазонов (10 — 20 метров) и даже на 7 диапазонов (10 — 40 м) — актуальная радиолюбительская конструкция. Большинство ведущих фирм мира, производящих антенны для любительской радиосвязи, имеют в своей номенклатуре несколько пятидиапазонных антенн, которые отличаются характеристиками и ценой. Каждая из фирм, как правило, использует свои отработанные и ставшие стандартными способы реализации многодиапазонности. Например, фирма FORCE 12 изменяет перемежающееся расположение элементов разных диапазонов (модели XR5, 5BA), MOSLEY — большое число резонансных трапов (PRO-67, PRO-96), HY-GAIN — логопериодический активный элемент в сочетании с "траповыми" директорами (TH-11), TITANEX — разнообразные проволочные логопериодические антенны. Новинку предложила фирма SteppIR — элементы ее антенн изменяют свои размеры с помощью электромеханического привода по командам расположенного внизу микропроцессорного устройства.

В предлагаемой статье кратко рассмотрены основные достоинства и недостатки стандартных способов создания МДА (Многодиапазонных Антенн) и описан собственный вариант, позволяющий в габаритах трехэлементного ВК (Волнового Канала) диапазона 20 метров с длиной бума менее 6 м получить пятидиапазонную (10, 12, 15, 17 и 20 метров) antennу. Общее число злементов — 16, а взаимные влияния злементов минимизированы без применения трапов. Характеристики антенны на каждом из диапазонов практически соответствуют трехэлементному ВК (!). Особенность этого варианта — части директора диапазона 20 метров, отсекаемые с помощью двух вакуумных реле, используются как директоры диапазонов 10 и 15 метров. В антенне применен пятидиапазонный активный элемент с простой схемой согласования, что позволило питать ее одним кабелем без переключений.

Характеристики применяемых МДА

Для анализа МДА были использованы как приведенные в литературе данные, так и расчеты с использованием компьютерной программы антенного моделирования MMANA [1].

Как правило, при разработке таких антенн стремятся получить на отдельных диапазонах характеристики, соот-

ветствующие двух- или трехэлементному ВК, поэтому следует начать с определения этих характеристик. Будем использовать обозначения, принятые в MMANA:

- ♦ G_h — коэффициент усиления (в дальнейшем — усиление) антенны в свободном пространстве по отношению к полуволновому диполю, в децибелах (dBd);
- ♦ G_a — усиление по отношению к изотропному излучателю (dBi). $G_a = G_h + 2,15$;
- ♦ $Z_a = R_a + jX_a$ — входное сопротивление антенны;

♦ Front-to-Back или F/B — отношение вперед/назад. Численно равно выраженному в децибелах отношению величины переднего лепестка диаграммы направленности (ДН) к величине максимально-го заднего лепестка в секторе 180 ± 60 град. Чтобы F/B отражало реальную способность антенны ослаблять кругопадающие лучи (сигналы) от относительно недалеко расположенных станций, для расчетов принята элевация (угол места) 50 град. на диапазонах 20 и 17 метров и 40 град. на остальных;

♦ SWR — коэффициент стоячей волны. В дальнейшем будем использовать более привычное обозначение KCB;

♦ BW1,5 и BW2 — ширина полосы рабочих частот активного элемента в пределах KCB не более 1,5 и KCB не более 2. Поскольку программа определяет сразу оба значения, удобно ввести показатель BW = BW1,5/BW2.

Рассчитаем характеристики трехэлементного ВК. Это можно сделать для любой частоты. Примем $f = 28,3$ МГц ($\lambda = 10,6$ м), рабочая полоса частот — 600 кГц (28,0...28,6 МГц), радиус проводника $r = 10$ мм. При оптимизации антенны весовые коэффициенты для параметров KCB, G_h и F/B принимаем соответственно равными 0,3; 0,3 и 0,4.

Расчет произведем для трех вариантов:

1) оптимальный (условно) ВК с расстояниями между активным и пассивными злементами (рефлектором и директором) $S_{ar} = S_{ad} = 0,17\lambda = 1,8$ м;

2) укороченный ВК при $S_{ar} = S_{ad} = 0,14\lambda = 1,48$ м;

3) удлиненный ВК при $S_{ar} = 0,17\lambda = 1,8$ м, $S_{ad} = 0,22\lambda = 2,33$ м.

Условия расчета — антenna находится в свободном пространстве, F/B

определяется для нулевой элевации. Расчетные данные сведены в табл. 1. Три числа через дробную черту соответствуют значениям параметра в начале (28 МГц), середине и конце рабочей полосы частот. При расчете BW исходим из того, что на входе антенны применено согласующее устройство СУ, обеспечивающее на средней частоте KCB=1. Данные, приведенные в четвертой строке этой таблицы, будут обсуждаться далее в разделе "Взаимное влияние пассивных элементов ВК на разных диапазонах".

При изменении расчетной частоты пропорционально изменяется ширина рабочей полосы частот. К примеру, при $f = 14,15$ МГц параметры G и F/B будут такими же, как в табл. 1, но в полосе 0,3 МГц. Также в 2 раза будут меньше значения BW (при условии, что радиус злементов будет увеличен пропорционально, т.е. в 2 раза).

Укороченные элементы

Наиболее часто укорочение достигается включением катушки индуктивности в каждое глечко элемента [2]. При этом ухудшается ряд характеристик злементов, в первую очередь их широкополосность. Ощутимый вклад в сужение рабочей полосы может оказать паразитная емкость между витками катушки C_o .

Например, катушка имеет $L = 10$ мкГн и $C_o = 2$ пФ. На частоте $f = 28$ МГц $X_L = \omega L = j1760$ Ом и $X_C = 1/\omega C = -j2664$ Ом. Со-противление параллельной цепи из L и C_o будет $X_n = j[1760 \times (-2664)/(1760 - 2664)] = = j5187$ Ом. Получается, что с учетом влияния C_o реальное значение реактивного сопротивления "катушки" выросло в $5187/1760 = 2,95$ раза (соответственно выросло и сопротивление потерь), а эквивалентная индуктивность цепи будет $X_{L_{экв}} = 10 \times 2,95 = 29,5$ мкГн. Основная же проблема, которая возникает из-за наличия C_o , состоит в том, что вместе с ростом индуктивного сопротивления цепи возрастает и скорость его изменения при переходе от одной рабочей частоты к другой. Так, в случае катушки с нулевой C_o при изменении рабочей частоты на, допустим, один процент сопротивление катушки X_L также изменится на один процент, а для нашей цепи изменение будет уже значительно больше — около 5 %.

Очевидный вывод — емкость C_o должна быть как можно меньше. Достигается это однорядной намоткой провода (желательно с небольшим шагом) на каркасе небольшого диаметра. Вот экспериментальные данные. Катушка из провода МГТФ с диаметром по изоляции 1,55 мм, диаметр каркаса 23 мм, число витков $n = 41$ (намотка виток к витку) имела измеренную индуктивность $L = 13$ мкГн и добротность $Q = 260$. С помощью ГИР была определена резонанс-

Таблица 1

№	G_h , dBd	G_a , dBi	F/B, dB	BW, кГц
1	5,79	7,8/7,9/8,1	20,9/26,7/22,0	820/1590
2	5,53	7,6/7,7/7,9	23,0/25,5/22,8	750/1470
3	6,13	8,2/8,3/8,4	17,0/17,8/16,0	650/1250
4	5,73	7,5/7,9/8,3	20,0/25,0/16,7	510/970

ная частота контура LC_0 (она оказалась равной $f_0 = 42$ МГц) и расчетным путем (MMAA) получено значение $C_0 = 1,1$ пФ.

Из этого же провода выполнена другая катушка на каркасе диаметром 50 мм. Ее данные — $n = 20$, $L = 19$ мкГн, $Q = 340$, $f_0 = 25$ МГц и $C_0 = 2,13$ пФ.

Диполь с трапами

Рассмотрим диполь, предназначенный для работы на диапазонах 10 и 15 метров, двухдиапазонность которого обеспечивается применением резонансных LC-трапов, настроенных на верхнюю частоту $f_1 = 28,5$ МГц. На частотах 15-метрового диапазона сопротивление трапа X_T имеет индуктивный характер и его величина определяется величинами L_T и C_T (в C_T входит и C_0). Очевидно, что наличие конденсатора C_T повлияет на широкополосность диполя таким же образом, как и межвитковая емкость C_0 .

Рассчитаем ширину полосы частот BW1,5 сначала у одиночных полноразмерных диполей с резонансными частотами $f_1 = 28,5$ (диполь 1) и $f_2 = 21,2$ МГц (диполь 2), а затем у траповой двухдиапазонной антенны. Расчеты произведем для трех вариантов трапов (трап 1, трап 2 и трап 3) со значениями емкости траповых конденсаторов — 15, 25 и 35 пФ (индуктивности L_T , соответственно 2,08, 1,25 и 0,89 мкГн) при добротности катушек $Q = 150$ и радиусе проводника $r = 15$ мм. Результаты расчета приведены в табл. 2. Числа в скобках показывают, какую долю полосы полноразмерных диполей имеет траповая антenna на соответствующем диапазоне.

Расчет показывает, что такая антenna значительно, в 1,5...3 раза, уступает полноразмерной по широкополосности. Так как это обусловлено, в первую очередь, более быстрым ростом входной (собственной) реактивности, то при использовании траповых элементов в качестве пассивных значительно быстрее в пределах диапазона будет изменяться и показатель F/B.

Из расчетных данных следует, что зависимость широкополосности траповой антенны на верхнем (10 метров) и нижнем (15 метров) диапазонах от величины C_T имеет противоположный характер и выбор величины C_T — компромиссная задача. На верхнем диапазоне чем больше величина L_T (меньше C_T), тем выше резонансное сопротивление контура-трапа и меньше его влияние на широкополосность антен-

ны на этом диапазоне. Зато на нижнем при увеличении L_T уменьшается полная длина антенны и соответственно ее широкополосность.

Отметим интересную особенность — укороченные пассивные элементы позволяют получить лучший показатель F/B, чем полноразмерные, но в узкой полосе частот.

Что касается потерь в траповой антенне, то расчет дает следующие значения: в трехдиапазонном одиночном диполе длиной 7,4 м с двумя парами трапов при добротности катушек $Q = 150$ потери на диапазоне 10 метров — 0,14 dB, 15 метров — 0,78 dB и 20 метров — 0,59 dB. В BK с траповыми элементами общие потери могут превысить 1 dB.

Взаимное влияние пассивных элементов BK разных диапазонов

Известно, что при размещении антенн разных диапазонов на одном брусе элементы более низкочастотных антенн

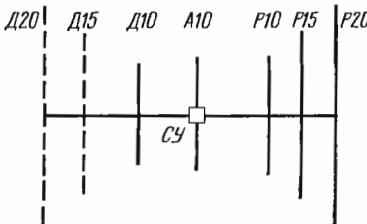


Рис. 1

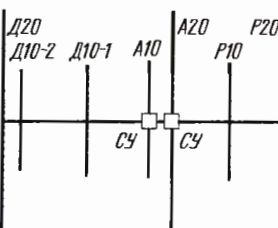


Рис. 2

могут сильно влиять на параметры антенн верхних диапазонов [3]. Для оценки этого влияния произведем расчет параметров трехэлементного BK-10 на диапазон 10 метров ($f_0 = 28,5$ МГц, см. табл. 1, строка 1), находящегося в "окружении" более длинных пассивных элементов. Для определенности полагаем, что это директоры и рефлекторы BK диапазонов 15 и 20 метров. Длины элементов D15, P15 и D20, P20, а так-

же их радиусы и расстояния от центра устанавливаются исходя из аналогичных размеров D10 и P10 с учетом коэффициентов подобия (отношения частот) K15 = 28,3/21,2 = 1,33 и K20 = 28,3/14,15 = 2 (рис. 1). Расчет ведется поэтапно. Расчет KCB и полосы BW производится с применением внешнего согласующего устройства. На каждом этапе используется механизм оптимизации параметров BK-10. Результаты расчета сведены в табл. 3.

Проведенный расчет (строки 1 и 2) показывает, что расположенные за рефлектором P10 проводники практически не влияют на параметры BK-10. Это объясняется тем, что поле за рефлектором очень ослаблено и в "задних" проводниках не может возникнуть заметный ток. Расположение рефлекторов, как на рис. 1, широко используется в многодиапазонных антенных, особенно в случае применения многодиапазонного активного элемента, например, с трапами или LOM катушками [4].

В случае же расположения более длинных элементов "впереди" BK-10 (в зоне сильного поля) токи в этих элементах достигают значительной величины. Их влияние резко ухудшает качественные показатели BK-10 (строки 3, 4, 5), поэтому такие варианты следует избегать. В виде исключения возможен вариант, когда "длинный" проводник располагается в ближней зоне активного элемента (на расстоянии 0,05λ, строка 6) [3].

Собственно, вопрос применения (расположения) директорных элементов является одним из основных при отработке многодиапазонной антенны.

В качестве примера рассмотрим вариант совмещенной антенны, состоящей из трехэлементного BK-20 с оптимальными межэлементными расстояниями и четырехэлементного BK-10 (рис. 2). Расчет BK-20 показывает, что его показатели практически совпадают с данными табл. 1 (строка 1). Затем проведен расчет (оптимизация) показателей BK-10. Для удобства сравнения с показателями несовмещенной трехэлементной антенны расчетные данные помещены в табл. 1, строка 4. Видно, что добавление второго директора D10 позволило в значительной мере преодолеть негативное влияние D20 и четырехэлементный BK-10 по показателям G и F/E вплотную приблизился к трехэлементному (!), но по широкополосности значительно уступает.

Другой пример — совмещенная 14-элементная антenna на три диапазона типа C-31XR (FORCE-12) с длиной бруса 9,3 м. На диапазоне 10 метров антenna обеспечивает усиление 7,3 dBd с помощью семи элементов этого диапазона [5]. Расчет показывает, что такое усиление может быть обеспечено всего четырьмя элементами, следовательно, действие остальных трех направлено на компенсацию "негативного" влияния директоров нижних диапазонов.

При построении пятидиапазонной (10—20 метров) антены использование компенсационного принципа мало вероятно из-за чрезмерной сложности.

Таблица 2

Диапазон	BW1,5, кГц				
	Диполь 1	Диполь 2	Трап 1	Трап 2	Трап 3
10 метров	2055	—	1412 (0,69)	1100 (0,54)	700 (0,34)
15 метров	—	1450	466 (0,32)	666 (0,46)	805 (0,56)

Таблица 3

№	Вариант	G _h , dBd	F/B, dB	BW1,5
1	Только BK-10	5,79	26,7	820
2	BK-10 + P15 + P20	5,72	26,9	840
3	BK-10 + D15	4,68	11,1	—
4	BK-10 + D20	4,89	14,0	—
5	BK-10 + D15 + D20	3,64	6,55	—
6	BK-10 + D15'	5,8	20	380

Помимо давно используемых трапового и логопериодического излучателей применяются и другие, относительно новые виды.

Одна из популярных конструкций на три диапазона показана на рис. 3. Она состоит из разрезного диполя на диапазон 20 метров и расположенных на расстоянии 0,1...0,5 м двух проводников с длинами, близкими к 0,5λ на диапазоны 15 и 10 метров. За счет сильной электромагнитной связи между ними система имеет три резонансные частоты. Подбором длины проводников и их расстояния до диполя можно получить нужное значение входного сопротивления на диапазонах 10 и 15 метров как в простых, так

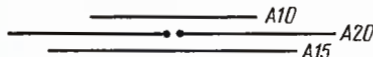


Рис. 3

и в многоэлементных антенных. Такая конструкция получила название open sleeve или C-R (coupled resonator) [6]. Недостаток варианта — относительная узкополосность. В частности, чтобы перекрыть весь диапазон 10 метров, приходится применять два проводника-резонатора разной длины. Один из них обеспечивает работу в нижнем участке 28,0...29,0 МГц, а второй — 29,0...29,7 МГц.

Хорошие результаты можно получить при параллельном соединении нескольких близко расположенных диполей с разными резонансными частотами. При расстояниях между отдельными диполями 0,3...0,5 м такой активный элемент может обеспечить нормальные показатели в диапазонах 12, 15, 17 и 20 метров, а в сочетании с другими способами — и на диапазонах 10, 30 и 40 метров [4].

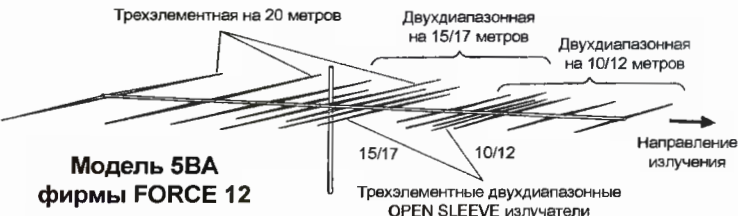


Рис. 4

Разные типы пятидиапазонных антенн (конкретные образцы)

Логопериодика. Образец с весьма высокими для этого класса антенн характеристиками приведен в [7]. Диапазон — от 14 до 30 МГц, число элементов — 13, длина бума — 10,97 м, усиление в пределах диапазона от 4,85 до 5,65 dBd, F/B — 20...26 dB. Другая конструкция описана в THE ARRL ANTENNA HANDBOOK и имеет более скромные параметры — длина бума 7,8 м, 12 элементов, усиление 4,4...4,6 dBd и F/B — 14...21 dB. В обеих конструкциях элементы были из трубок диаметром около 25 мм. Необходимо иметь в виду, что усиление антенны уменьшается при уменьшении диаметра элементов, поэтому в проволочном исполнении потребуется больше элементов, чем в трубочной антенне с тем же усилием. Наличие собирательной линии и необходимость изолировать элементы от бума существенно усложняет и утяжеляет конструкцию. Несомненный "плюс" ЛПА — всего одна фидерная линия.

В логопериодике с большим числом элементов в пределах каждого из относительно узких радиолюбительских диапазонов активно работают, как правило, только три элемента. В силу особенностей ЛПА эти элементы используются менее эффективно, чем в составе "узкополосного" ВК. Поэтому, если на длинном буме расположить последовательно,

один за другим, пять трехэлементных ВК на диапазоны 10, 12, 15, 17 и 20 метров, можно получить большее усиление, чем в логопериодике с тем же числом элементов. Очевидны конструктивные недостатки такого построения — большое количество фидерных линий (пять) и очень большая длина бума. Один из способов решения задачи можно увидеть на рис. 4. Это модель 5BA фирмы FORCE 12. Заявленные характеристики этой антенны: усиление — в пределах 5,4...5,9 dBd, F/B — 14...23 dB, длина бума — 9,9 м, 15 элементов, 3 фидерные линии. Цена антенны — около 1300 USD.

ЛИТЕРАТУРА

1. И. Гончаренко. Компьютерное моделирование антенн. — М.: РадиоСофт — Журнал "Радио", 2002.
2. В. Овсянников. Вибраторные антенны с реактивными нагрузками. — М.: Радио и Связь, 1985.
3. Э. Гуткин. Многодиапазонная направленная КВ антenna. — Радио, 1985, № 1, 2, 3.
4. Э. Гуткин. Семидиапазонная направленная КВ антenna BMA-7. — Радио, 2003, № 2, с. 70-72.
5. Каталог фирмы FORCE 12. 2001 Product Line.
6. G. Bread. (K9AY). The Coupled — Resonator Principle. The ARRL Antenna Compendium, vol. 4
7. <http://www.realhamradio.com>.

Редактор — С. Некрасов, графика — Ю. Андреев
(Окончание следует)

Наступление "двух М"

Две широко известные во всем мире компании — Motorola и Microsoft объединяют усилия в области производства мобильных устройств. Результатом их сотрудничества стал выпуск нового смартфона Motorola MPx200 на основе операционной системы Microsoft Windows Mobile, обладающего возможностями персонального компьютера.

В конце прошлого года компания Motorola и представительство Microsoft в России и СНГ объявили о скором появлении на российском рынке нового мобильного устройства — смартфона Motorola MPx200, объединяющего возможности мобильного телефона и персонального компьютера.

Выпуск смартфона стал результатом сотрудничества компаний Motorola и Microsoft, которые заключили соглашение, направленное на объединение богатых возможностей офисных компьютерных программ с удобством мобильного телефона, постоянно находящегося под рукой. Это соглашение ставит перед собой цель предоставить возможность сотрудникам компаний работать с информацией не только в офисе, но и вне своего рабочего места, если это необходимо. Компании намерены совместными усилиями создать семейство смартфонов и карманных ПК с возможностями беспроводной связи, реализующих своеобразный "пульт дистанционного



управления", предназначенный для мобильных пользователей, важнейшая часть жизни которых проходит в Интернете, на работе и в пути. Первым таким устройством стал смартфон Motorola MPx200, оснащенный операционной системой Microsoft Windows Mobile.

Новое устройство от Motorola, сочетающее в себе отличные потребительские качества и возможности персонализации, присущие мобильным телефонам Motorola, с богатыми возможностями программного обеспечения Windows Mobile станет эффективным средством связи, информационным секретарем, мультимедиа-плеером, навигатором по сети Интернет и платформой для игр. С помощью Motorola MPx200 можно работать с персональной информацией, а также синхронизировать почту, адресную книгу и календарь с Microsoft Outlook посредством соединения с персональным компьютером или по беспроводной связи с сервером Microsoft Exchange.

Появление на рынке смартфона Motorola MPx200 окажется полезным не только для пользователей, но и для операторов сотовой связи, так как способствует более активному использованию услуг передачи речи и данных. И, как следствие, появлению новых источников дохода и повышению среднего дохода с абонента (Average Revenue Per User, ARPU). По данным исследований, рост этого показателя для операторов мобильной связи стран Западной Европы составляет как минимум 15 %.

Эпоха "цветного радио"

А. ГОЛЫШКО, главный эксперт ЗАО "МТУ-Информ", г. Москва

"Нельзя быть лидером, если ты ничем не отличаешься от остальных." Шарль де Голь

Интерфейс имени датского короля

Сразу же оговоримся, что ниже никаких аналогий с цветным телевидением не будет. Просто в настоящее время консорциум, образованный почти двумя тысячами компаний, включая Ericsson, Microsoft, IBM, Sony, Intel, Apple и др., "продвигает" на рынок универсальную беспроводную технологию Bluetooth (дословно "голубой/синий зуб") вкупе с одноименным стандартом для радиоинтерфейса.

Разумеется, ниже речь пойдет не о тех, кто находится обычно в меньшинстве, ибо предмет нашего разговора на самом деле может захватить весь мир. Коротко говоря, он позволяет любому компьютерному или "околокомпьютерному" устройству общаться с расположенным поблизости "коллегами" без всяких кабелей и драйверов. Учитывая, что сегодня практически каждое высокотехнологичное устройство уже содержит компьютер (или собирается это сделать в ближайшем будущем), а между тем вся бытовая техника уже стала высокотехнологичной, легко представить размах предстоящего действия.

Идеологическим "родителем" Bluetooth выступила в конце прошлого века шведская компания Ericsson. Следует отметить, что эта компания и ранее была известна такими известными инициативами, как, например, стандарт беспроводной телефонной связи DECT. Что же касается Bluetooth, то его история началась в 1994 г., когда была осуществлена первая попытка создания маломощного и недорогого радиоинтерфейса между мобильным телефоном и его аксессуарами. В техническом плане идея и первые схемные решения Bluetooth пришли из исследовательского центра Ericsson в городе Лунд (Швеция). А в 1998 г. для создания Bluetooth объединились Ericsson, Nokia, IBM, Intel и Toshiba. Сегодня любая компания, желающая поучаствовать в разработке или производстве таких устройств, может свободно принять участие в работе группы.

В названии стандарта разработчики компаний Nokia и Ericsson использовали имя датского короля Harald BlueTooth, Харальда Синезубого, правившего в девятом веке и принесшего христианство в Данию, объединив ее с Норвегией. Вот и технология Bluetooth должна была "очень просто" соединять компьютерные устройства. Даже если они произведены конкурирующими компаниями. Так что телекоммуникационный "тезка" короля на самом деле был призван привнести бескабельность и беспроводность во вселенских масштабах.

Как это работает

Как можно почерпнуть во многих источниках (в частности, на <http://www.sotovik.ru/analit.htm>), в целом Bluetooth — это система передачи данных по радио на очень короткие (внутриофисные) расстояния, позволяющая осуществлять связь беспроводных телефонов, ком-

пьютеров и их периферии даже в тех случаях, когда нарушается требование LoS (Line of Sight — прямая видимость). Передача довольно быстрая (либо 720 Кбит/с в одну сторону, либо полный дуплекс по 420 Кбит/с).

А непосредственно Bluetooth — это интегральная микросхема, которая обеспечивает связь на частоте 2,44 ГГц (это так называемая полоса ПНМ — промышленные, научные и медицинские применения, иначе ISM — Industry, Science, Medicine). Размер готового устройства менее одного квадратного сантиметра, а мощность его передатчика — 1,0; 2,5 и 100 мВт.

Изначально устройство разрабатывалось для обеспечения дальности связи до 10 м (есть и более "дальнобойные") и может связывать до восьми других устройств, формируя на их основе так называемую "пикосеть" или PAN (Personal Access Network — сеть персонального доступа). Одна из микросхем становится ведущей ("master"), остальные действуют под ее управлением ("slaves"). Ведущей схемой обычно является та, которая размещена в наиболее мощном устройстве, таком как персональный компьютер или плата CPU мини-ЭВМ. Ведущая схема координирует посылку и прием данных в рамках образованной PAN. Если в сети окажется более восьми устройств, формируется следующая "пикосеть" и т.д. Множество PAN, способных взаимодействовать друг с другом, сформируют уже распределенную сеть (Scatternet). Предусматривается, что со временем будет координироваться и трафик между сетями. Каждый радиопередатчик Bluetooth имеет свой уникальный сетевой 48-битовый адрес, совместимый с адресным форматом стандарта локальных компьютерных сетей IEEE 802.

Возможные проблемы пропуска трафика данных в PAN решаются благодаря возможности микросхемы Bluetooth быстро "прыгать" с частоты на частоту (режим FH — Frequency Hopping с частотой до 1600 перескоков в секунду), что обеспечивает хорошую защиту от интерференции с другими источниками излучения. А если точнее, то там используется способ FHSS (скачкообразная перестройка частоты с расширением спектра) в комплексе с дуплексным временным разделением (TDD). Поддерживаются также синхронные и асинхронные режимы передачи информации, обеспечивается простая интеграция с TCP/IP. Причем даже отдельный пакет может передаваться на своей частоте. И это все не зря.

К примеру, как только включенная поблизости микроволновая печь делает невозможной передачу на одном из доступных радиоканалов, тут же следует перескок на другой канал. Не секрет, что проблема с трафиком данных является в данном случае основной проблемой. Ведь довольно много радиоустройств (от беспроводных сетей 802.11 и до брелков для открытия дверей гаража), работающих в диапазоне 2,4 ГГц, не



требует лицензий, и с ними предстоит делить радиоспектр устройствам Bluetooth. Тем не менее указанный диапазон слишком "перегружен", поэтому теоретически "вредная" интерференция не может быть исключена на 100 %.

Трафик данных между устройствами Bluetooth кодируется, что в сочетании с технологией FHSS заметно повышает конфиденциальность связи. Чтобы быть уверенными в том, что устройства смогут "вступать в связь" только с авторизованными на то устройствами, предусматривается встроенная процедура аутентификации. Она обеспечивает уверенность в подлинности сообщения, а также в том, что транзакция, осуществляемая с Bluetooth-устройством, не получит отказа (т.е. транзакция будет подтверждена и авторизована другой стороной). Защищенность Bluetooth масштабируется до трех уровней в зависимости от конкретного приложения, которое используется:

- ♦ незащищенное;
- ♦ защита на уровне служебного устройства (запрет доступа осуществляется в соответствии с уровнем "доверия", прописанным в микросхеме, к которой идет попытка доступа);
- ♦ защита "на уровне линка", где применяются 128-битные случайные номера, хранящиеся индивидуально в каждой паре устройств, осуществляющих сеанс связи через Bluetooth.

В целом стандарт Bluetooth в своем роде является уникальным, поскольку в процессе его создания впервые весьма "успешно" договорились друг с другом производители ПК и оборудования связи. Хотя, конечно, Bluetooth с его 720 кбит/с не способен обеспечить передачу видеосигнала, что не позволит отказатьься, например, от кабелей между монитором и компьютером.

Зеленый свет "голубым зубам"

Государственная комиссия по радиочастотам (ГКРЧ) при Минсвязи России весной 2003 г. приняла решение, официально разрешающее использовать необходимую для работы Bluetooth полосу частот — 2400—2483,5 МГц. Документ также отменяет выдачу частных разрешений для каждого Bluetooth-устройства и предписывает заявителям руководствоваться общими правилами сертификации. ГКРЧ фактически разрешила применять в России Bluetooth-аппаратуру всех разработанных на сегодня типов. Так, маломощные Bluetooth-передатчики (радиусом действия до 10 м) разрешается использовать свободно. А пользователям более "продвинутых", внутриофисных устройств Bluetooth, "дальнобойность" которых должна достигать 100 м, позволено свободно применять их, руководствуясь уже действующим положением "О порядке использования на территории РФ внутриофисных систем передачи данных в полосе частот 2400—2483,5 МГц".

"Зубные" приложения

Сотовые телефоны, оснащенные Bluetooth, смогут связываться с другими устройствами, образуя с ними PAN. То есть,



Рис. 1

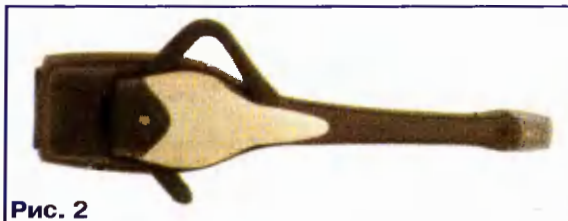


Рис. 2



Рис. 3

к примеру, ПК может автоматически заходить в Интернет на предмет проверки наличия почты, принимать и посыпать письма через определенные интервалы времени, а затем посылать сигнал на сотовый телефон о приходе новых сообщений. А еще сотовые телефоны с Bluetooth могут стыковаться с домашними базовыми станциями Bluetooth, что позволит, находясь дома, совершать и получать звонки на мобильный телефон, приходящие по обычному проводному каналу (соответственно, по тарифам фиксированной связи, разгружая при этом сотовую сеть). При выходе телефона за пределы зоны обслуживания домашней базовой станции разговор, не прерываясь, перейдет в обычный режим.

Расширение дальности действия Bluetooth до 100 м выглядит также вполне выполнимым, и в этом случае, вероятно, будет реализована возможность использования телефонов в режиме "walkie-talkie". Поскольку при этом не будет использоваться сама сотовая сеть, подобные "звонки" будут вообще бесплатными. Ожидается увеличение скорости передачи до 2 Мбит/с и далее до 10 Мбит/с! Даже если все это не будет реализовано, технология Bluetooth уже выглядит недорогим решением, которое обеспечит совмещение услуг мобильной и фиксированной связи. А что с реальными продуктами?

Компания Ericsson уже давно поставляет на рынок выносной набор для мобильного телефона (наушники плюс микрофон), которому не нужен соединительный шнур. И в этом она уже не одинарка. Delphi Automotive объединилась с Ericsson, чтобы ввести аудио-визуальные возможности в автомобили. Toshiba и IBM уже выпустили адAPTERЫ, дающие возможность беспроводной связи для персональных компьютеров. Ноутбуки, изначально оснащенные Bluetooth, тоже появляются в продаже. Все семейство PDA тоже здорово выигрывает с применением Bluetooth, поскольку эта технология обеспечит возможность выхода в Интернет через мобильные телефоны, а например, компания 3Com уже демонстрировала возможность дистанционного управления презентацией на базе ПК, используя Palm V. Компания Sweden's C Technologies демонстрировала цифровую ручку Magic Stick, которая посыпает описание движения руки пользователя непосредственно в текстовый редактор. В ее же, кстати, встроена миниатюрная цифровая камера, которая таким же образом передает сделанные снимки в компьютер. Разработчики работают над телеприемником с беспроводными колонками пространственного звучания. Samsung представлял беспроводное миниатюрное устройство PC-Ephone, где в одном корпусе будут сосуществовать сотовый телефон, персональный компьютер и Web-браузер.

В принципе, Bluetooth может сильно изменить жизнь пользователя. К приме-

ру, в аэропорту пассажир может совершить все необходимые действия по регистрации билета дистанционно, просто проходя мимо соответствующей стойки. Кто знает, не смогут ли вскоре покупатели оплачивать карточкой VISA покупки в супермаркете, не толпясь у кассы (просто мы идем, а денежки — тю-тю).

Но модные ныне интеллектуальные дома также с успехом интегрируют в себя эту технологию. Дистанционное беспроводное управление включением света, бытовой техникой, вентиляцией и пр., не вставая с дивана, — завершающий аккорд на пути превращения пользователя в "Обломова XXI века".

Одними из первых Bluetooth устройств, вышедших на российский рынок, стали беспроводные гарнитуры серии HBN от компании Ericsson и комплект громкой связи Parrot CK3000 производства одноименной французской компании (рис. 1, 2 и 3).

Беспроводные гарнитуры HBN-10, HBN-15 и HBN-20 работают на расстоянии 6—10 м, что позволяет оставить телефон на рабочем столе (диване/заднем сиденье автомобиля) и наслаждаться всеми преимуществами беспроводной связи. К слову, эти блага будут доступны вам даже некоторое время после того, как ваш телефон украдут (осталось придумать, чтобы в момент "разлучения" с гарнитурой Bluetooth телефон "заорал" — "Держи вора!", а потом выпустил шипы, пустил газ и позвонил в полицию).

Большую популярность завоевал комплект громкой связи в автомобиль Parrot CK3000, который позволяет избавиться от необходимости вставлять каждый раз сотовый телефон в специальный держатель — неотъемлемую часть традиционных комплектов громкой связи (CAR KIT's). Телефон может висеть у вас на поясе, болтаться на шее или лежать в сумочке на заднем сиденье, а комплект будет выполнять все положенные ему функции (звук выводится на штатные динамики, а направленный микрофон позволяет не отрывать взгляда от дороги).

Интересный продукт представляет компания TECOM: BT3030 (USB Dongle) — небольшое (меньше сигаретной пачки) устройство, подключающееся к USB-порту компьютера (рис. 4). С помощью BT3030 можно легко настроить соединение с Интернет через мобильный теле-

фон, поддерживающий спецификации Bluetooth и GPRS, "раскинуть" беспроводную локальную сеть, наладить полноценный мобильный офис (с факсом и принтером) или установить соединение с поддерживающим Bluetooth портативным ПК. Впрочем, это только начало.

В общем, мир Bluetooth скоро серьезно интегрируется с миром всех других устройств связи (и не только). Причем в полном соответствии с тенденциями к мультисервисности, универсальности и глобализации.

Грядущие успехи и "вилобородые" потоки

Количество имеющихся во всем мире устройств Bluetooth пока относительно невелико и составляло порядка 35 млн по состоянию на конец 2002 г. Когда-то отчет экспертов Merrill Lynch "The Bluetooth Handbook 1.0" прогнозировал, что к 2005 г. модули Bluetooth будут установлены более чем в 1,7 млрд различных устройств. Вероятно, наблюдаемый на Западе кризис телекоммуникаций немного скорректирует этот прогноз, но ведь речь идет о чуть ли не самых дешевых представителях обширного семейства устройств беспроводного доступа. Они-то наверняка прорвутся. Тем более, что они несут с собой много порой весьма неожиданных удобств пользования.

Кстати, пока что Bluetooth-чип добавляет порядка \$50 к стоимости устройства, в которое его встраивают, но по мере наращивания объемов производства цена опустится ниже \$10 за штуку. Одна из целей, которую преследуют разработчики Bluetooth, — поддерживать минимально возможную цену продукта. Ценовая цель консорциума Bluetooth в настоящее время составляет \$5 за кристалл. Да и потребляемая чипом энергия чрезвычайно мала, что тоже немаловажно.

Конечно, многое зависит от того, насколько надежно будут работать все это Bluetooth-сообщество. Члены консорциума до сих пор утрясают между собой окончательные технологические спецификации: ведь все Bluetooth-устройства должны "разговаривать" на одном языке. Зато новая технология увеличит интервал времени использования инфраструктуры любой телекоммуникационной сети, поскольку в ней с помощью Bluetooth будут создаваться шлюзы для подключения все новых и новых терминалных устройств. Если, конечно, специалисты не придумают что-нибудь более эффективное. Не следует забывать, что в 986 г. Свен Вилобородый сверг своего отца Харальда Синезубого и стал королем Дании, и всего через год Харальд умер в Йомсборге.

Но даже если подобное случится, мы-то с вами теперь можем догадаться, как примерно будет называться следующая технология.

Редактор — А. Милющенко



Рис. 4

Типичные дефекты Си-Би радиостанции Alan

Александр СОКОЛОВ, г. Москва

Приобретая радиостанцию гражданского диапазона (27 МГц), каждый пользователь надеется на ее длительную безотказную работу. Однако рано или поздно любая аппаратура выходит из строя и требует ремонта. В предлагаемой статье рассмотрены причины отказов и способы повышения надежности радиостанций.

Конкретных причин отказов существует множество, но некоторые дефекты по статистике повторяются значительно чаще других, поэтому их можно назвать типичными. В основном они обусловлены недостатками конструкции, заложенными на этапе разработки. Знание типичных дефектов сокращает время на диагностику и восстановление работоспособности аппаратуры, а также позволяет принять профилактические меры, позволяющие упредить возникновение этих дефектов.

Часто причиной отказа радиостанций Alan 78 plus, Alan 48 plus, Alan 48 Excel является массовое разрушение паков на печатной плате в зоне монтажа радиоэлементов, относящихся к ГУН (VCO). Как правило, дефект развивается постепенно: внезапно возникшая, может надолго самоустраниться, а устойчиво он проявляется после 6...18 месяцев эксплуатации трансивера на борту транспортного средства. При эксплуатации трансивера в закрытом отапливаемом помещении со стабильными климатическими условиями дефект проявляется значительно позже либо вообще не возникает. Внешним признаком неисправности является отсутствие передачи (TX) или/и приема (RX).

При удалении экрана, закрывающего печатный монтаж ГУН, можно обнаружить концентрические трещины паков вокруг выводов тех радиоэлементов, которые имеют относительно большие габариты (катушка L401, транзисторы, конденсаторы). Поскольку на плате имеется много других аналогичных компонентов, а данный дефект носит исключительно локальный характер, возникает предположение, что виной всему является парафин, которым щедро залил весь объем этого функционального узла. Применение вязкой демпфирующей заливки вызвано необходимостью устранения акустического (от громкоговорителя) и вибрационного (от сотрясений) воздействия на элементы ГУН, приводящего к "микрофонному эффекту" и даже самовозбуждению всего радиотракта.

Механизм возникновения дефекта выглядит следующим образом. Парафин (или иная примененная воскоподобная заливочная композиция) является органическим веществом, имеющим высокий температурный коэффициент объемного расширения. Это вещество обладает хорошей адгезией. Обволакивая радиоэлемент, заливочная масса деформируется при изменениях температуры, в результате чего

возникает сила в направлении продольной оси выводов. Эта сила пропорциональна габаритам радиоэлемента. Иными словами, при нагревании парафин расширяется и стремится "вытащить" радиодеталь из платы, а при охлаждении скимается и "давливает" радиодеталь в плату. Возникающие при этом циклические знакопеременные нагрузки разрушают кристаллическую структуру припоя, приводя к возникновению очагов усталостных трещин. При эксплуатации трансивера в автомобиле процесс деструкции паков значительно ускоряется из-за значительных колебаний температуры (-30...+60 °C) и ударно-вibrationных нагрузок.

С целью предотвращения развития описанного дефекта рекомендуется производить вытапливание до 90 % парафина. Для этого используют электрофен, снабженный узкой насадкой. Температура потока горячего воздуха и длительность его воздействия должны исключать термическое повреждение радиоэлементов. Температура плавления парафина лежит в пределах 50...70 °C.

Для надежного обнаружения дефектов печатного монтажа удобно применять специальный источник света с круговой бестеневой лампой и увеличительным стеклом. Выявленные дефектные пайки необходимо аккуратно восстановить и обязательно промыть спиртом или ацетоном.

Слабым местом трансиверов Alan 78 plus является динамическая головка NP-250-2. Эта динамическая головка фирмы SAMMI с номинальной мощностью 2 Вт и сопротивлением звуковой катушки 8 Ом обладает неплохими акустическими свойствами, но имеет низкую надежность подводящих проводников диффузора, поэтому часто выходит из строя. Отремонтировать ее несложно, еще труднее подобрать полноценную замену из-за жестких ограничений по габаритам (высота — 20 мм, диаметр — 65 мм).

Можно значительно продлить срок эксплуатации динамической головки, включив последовательно с ней резистор сопротивлением 5...10 Ом, мощностью 1 Вт. Возникающая при этом незначительная потеря громкости малозаметна вследствие особенностей нашего слуха. И еще простой совет: устанавливая радиостанцию в автомобиле, старайтесь расположить ее таким образом, чтобы обеспечивалось свободное прохождение звука к водителю. Это позволит без крайней нужды не форсировать УМЗЧ трансивера и не перегру-

жать головку. С той же целью рекомендуется использовать специальный внешний громкоговоритель, подключив его к гнезду "EXT".

Следующий дефект возникает в радиостанциях Alan 48 Excel и касается постоянного резистора R803, а точнее, весьма опрометчиво надетой на него изоляционной трубки из поливинилхлорида. При работе резистор нагревается до температуры выше 100 °C, и этот синтетический полимер начинает разлагаться с выделением хлористого водорода и других коррозионно-активных агентов, которые разъедают даже... анодированную сталь крышки трансивера!

Однако главная неприятность состоит в том, что агрессивная газовая среда воздействует на близко расположенные механические элементы — селектор каналов ("CH"), кнопки ("FUN", "M2/DW" и др.) и стрелочный S-метр. В результате химических реакций все имеющиеся металлические детали этих элементов покрываются наростом кристаллизовавшихся солей. Сопротивление контактов коммутационных изделий резко возрастает. Перечисленные элементы начинают функционировать со сбоями, а потом и полностью утрачивают работоспособность.

При эксплуатации трансивера в автомобиле, где существуют условия для образования водяного конденсата, хлористый водород превращается в соляную кислоту и процесс усугубляется. В результате происходит полная электрохимическая коррозия печатных проводников, расположенных на фронтальной плате трансивера в радиусе до 5 см от вышеупомянутого резистора.

Для предотвращения развития подобного серьезного дефекта целесообразно применить изоляционную трубку из более термостойкого материала или обойтись без нее, если между резистором и фронтальной платой поместить прокладку из тонкого стеклопластикового листа.

Большое число отказов вызвано низким качеством подстроечных резисторов, которые на схемах имеют обозначение RV (например, RV101). При этом внешние проявления неисправностей зависят от того, для регулировки какого из следующих параметров используется резистор:

- уровень девиации (FM DEV);
- уровень модуляции (AM MOD);
- порог срабатывания системы шумоподавления (SQELCH);
- чувствительность индикатора в режиме приема (RX S-METER);
- чувствительность индикатора в режиме передачи (TX S-METER);
- выходная мощность передатчика (TX POWER).

Причинами отказа резисторов являются нарушение контактов в местах зацепочных соединений выводов к металлизированным наконечникам угольного резистивного слоя, трещина гетинаксового основания, поломка в цепи подвижного контакта. Неисправный резистор ремонту не подлежит и требует замены с последующей подстройкой режима.

Редактор — А. Милющенко

ОСЦИЛЛОГРАФЫ ФИРМЫ LeCroy СВЧ ДИАПАЗОНА

Для инфо-телекоммуникационных технологий сегодняшнего дня необходимы измерительные комплексы на базе современных ПЭВМ, способные заглянуть за рубеж 5 ГГц и выше, и надежно работать в этой области частот с высокоскоростными потоками информации и сложными сигналами. Производителей такой аппаратуры можно пересчитать на пальцах одной руки — изготовление осциллографов в диапазоне 3...6 ГГц "осилили" только три общепризнанных гранда приборостроения — Tektronix Inc., LeCroy и Agilent Technologies Inc.

В этой статье речь пойдет об СВЧ осциллографах компании LeCroy. Во всех ее новых разработках для обработки входного сигнала применена революционная технология "X-Stream", позволяющая обрабатывать входной сигнал в десяти и сотни раз быстрее, чем у аналогичных моделей конкурентов. При исследовании СВЧ сигналов с помощью цифровых запоминающих осциллографов (ЦЗО), обладающих, как известно, рядом недостатков, как раз и встает остро проблема увеличения скорости захвата осцилограмм и уменьшения времени обработки входного сигнала при выводе на дисплей. Технология "X-Stream" позволяет решить эту техническую проблему.

Идея технологии "X-Stream" состоит в том, что входной сигнал поступает на АЦП для оцифровки в реальном времени с частотой 10 гигавыборок в секунду. По-

тока данных после работы АЦП, а также синхронную и взаимоувязанную работу памяти DRAM и центрального процессора (фактически ПЭВМ) посредством использования шины PCI и 1-гигабитного Ethernet. Такое ускорение продвижения данных, в конечном итоге формирующихся на экране ЦЗО исследуемый сигнал в реальном формате времени, в том числе при наблюдении длительных (распределенных по времени) сигналов, позволяет задействовать значительные объемы памяти для обеспечения всестороннего и полного их анализа.



Кроме того, применение технологии "X-Stream" позволяет программные процедуры и задачи, написанные с помощью таких средств, как MATLAB, Mathcad, Excel или Visual Basic, корректно помещать (инкапсулировать) в поток цифро-

ющую высокоскоростную обработку. Включаемые нажатием одной кнопки режимы управления WavePilot™ и QuickZoom позволяют очень оперативно зафиксировать и исследовать высокочастотные импульсные сигналы. Лицевая панель управления всех моделей осциллографов данной серии понятна и предельно информативна, что дает возможность легко (практически интуитивно) осуществлять управление режимами и функциями. Это позволяет оператору значительно снизить время, затрачиваемое на работу в меню прибора, и сосредоточить свое внимание исключительно на процессе исследований. В режиме сбора данных осциллографы этой серии имеют число элементов дискретизации от 2,5 до 5 (для ряда моделей до 10 при объединенной работе каналов) для непериодического и до 200 гигавыборок в секунду для периодического сигнала. В целом пользовательский интерфейс очень понятен, удобен и позволяет применять прибор без длительной специальной подготовки или обучения персонала. В стандартной комплектации выходные интерфейсы: GPIB, RS-232-C, USB, SVGA видеовыход, аудио (вход и выход) и Ethernet 10/100Base-T.

Неоспоримое преимущество осциллографов LeCroy называемого типа и серии WavePro и WaveMaster — самая большая внутренняя память среди всех цифровых осциллографов аналогично-

Параметр		Модели осциллографов				
		WaveRunner 6030	WaveRunner 6050	WaveRunner 6051	WaveRunner 6100	WaveRunner 6200
Полоса пропускания (по уровню -3 дБ), МГц		350	500	500	1000	2000
Ограничение полосы пропускания, МГц		25; 200	25; 200	25; 200	25; 200	25; 200
Максимально входное напряжение (U_{RMS})	$R_{bx}=50 \text{ Ом}$	5	5	5	5	5
	$R_{bx}=1 \text{ МОм}$	250	250	250	250	250
Чувствительность, В/дел.	$R_{bx}=50 \text{ Ом}$	0,002...1	0,002...1	0,002...1	0,002...1	0,002...1
	$R_{bx}=1 \text{ МОм}$	0,002...10	0,002...10	0,002...10	0,002...10	0,002...10
Время нарастания, пс		1000	750	750	400	225
Число каналов		4	4	2	4	4
Объем памяти на канал (станд.), Мб		1	1	1	1	1
Эквивалентная частота выборки, гигавыборка/с	Периодический сигнал	200	200	200	200	200
	Однократный сигнал	2,5	5	5	5	5
Входные параметры (с пробником PP007)	R , МОм	1 (10)	1 (10)	1 (10)	1 (10)	1 (10)
	С, пФ	20 (9,5)	20 (9,5)	20 (9,5)	20 (9,5)	20 (9,5)
Вертикальное разрешение, бит (в режиме увеличения разрешения — ERES)		8 (11)	8 (11)	8 (11)	8 (11)	8 (11)

сле этого сигнал разбивают на пакеты и хранят в быстрой КМОП-памяти тректа оцифровки. По двум высокоскоростным каналам сигнал из памяти передают в центральный процессор, где производят необходимую математическую обработку сигнала и вывод на ЖК-дисплей.

Программно-аппаратная реализация собственных уникальных технологий позволила обеспечить не превзойденную другими производителями скорость преобразования входного сигнала, выведения и продвижения цифрового по-

входных данных в таких отраслях промышленности, как радиоэлектроника, в сферах телекоммуникаций и связи, при производстве компьютерной техники и многих других, в которых необходимо тестировать и оценивать происходящие нестационарные пикосекундные процессы.

Для решения поставленных задач очень удобно использование осциллографов серии WaveRunner 6000, которые способны работать в диапазоне частот от 350 МГц до 2 ГГц и могут обеспечить точную фиксацию сигнала и его после-

го класса — 2 Мб в стандартной комплектации (режим объединения каналов) и до 24 Мб — набор опций.

На **рисунке** показан "флагман" цифровых запоминающих осциллографов серии WaveRunner, модель "WaveRunner 6100", а в **таблице** приведены основные технические характеристики всех моделей.

Консультацию по вопросам измерительной техники можно получить по телефону (095) 777-55-91 и по E-mail: <info@prist.com>.

Новое поколение мини-контроллеров

Мини- и микроконтроллеры находят широкое применение в промышленности и сельском хозяйстве, все больше и больше используются в быту. Такое разнообразное применение этих устройств выдвигает на первый план вопросы, связанные с программированием контроллеров, поскольку их успешная дальнейшая эксплуатация во многом зависит от программного обеспечения. Мини-контроллеры Comat BoxX швейцарской компании Comat AG относятся к новому поколению программируемых контроллеров, отличающихся тем, что программирование идет выстраиванием последовательности функциональных блоков. Это существенно упрощает подготовку к работе по сравнению с контроллерами предыдущих поколений. Модельный ряд мини-контроллеров Comat BoxX приведен в таблице.

AF-10MR-A	110-230VAC	6 входов AC	4 релейных выхода
AF-10MR-D	24VDC	6 входов DC или аналоговых	4 релейных выхода
AF-10MT-GD	24VDC	6 входов DC или аналоговых	4 транзисторных выхода PNP
AF-20MR-A	110-230VAC	12 входов AC	8 релейных выходов
AF-20MR-D	24VDC	12 входов DC или аналоговых	8 релейных выходов
AF-20MT-GD	24VDC	12 входов DC или аналоговых	8 транзисторных выходов PNP
AF-MUL	110-230VAC		Речевой модуль

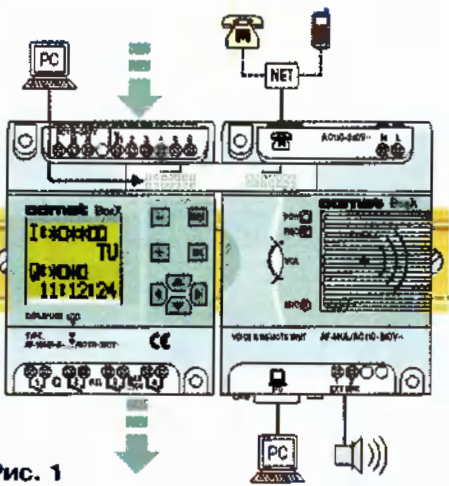


Рис. 1

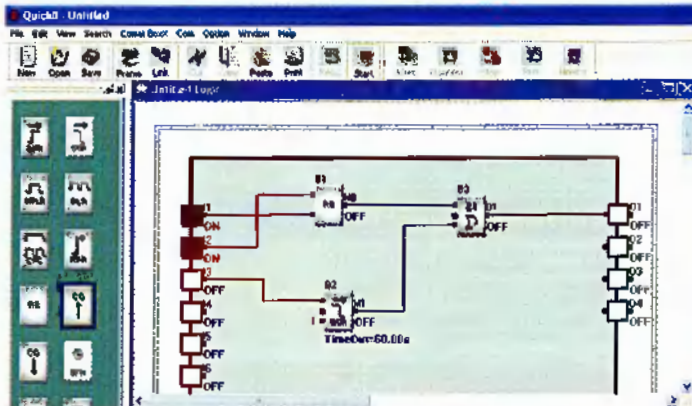


Рис. 2

Мини-контроллеры нового поколения имеют съемную ЖК панель, используя которую, можно оперативно редактировать управляющую программу. По завершении программирования панель можно легко снять и заменить защитной крышкой, что исключает вмешательство посторонних лиц в работу контроллера. Программирование Comat BoxX производится с использованием примерно 20 функциональных блоков, включающих в себя логические, временные, аналоговые и пр. функции. Объединение этих простых и понятных функций позволяет создавать довольно сложные управляющие программы, по-

скольку Comat BoxX позволяет запоминать до 127 функциональных блоков.

Он имеет часы реального времени с точностью хода не хуже 1 с сутки, что дает возможность устанавливать до 127 различных временных интервалов, которые позволяют решать задачи с реальным временем.

Стандартные дискретные (пороговые) входы могут перепрограммироваться как аналоговые (потенциальные) 0—10 В, что позволяет Comat BoxX контролировать температуру, уровень и скорость потока и пр., причем эти данные можно передавать через modem на удаленный компьютер для дальнейшей обработки. Через modem, подключенный к телефонной линии, также возможно программирование контроллера. Естественно, что для ограничения доступа к контроллеру посторонних лиц

вид мини-контроллера с подключенным речевым модулем и возможные варианты внешних связей.

Но и наконец, мини-контроллеры нового поколения легко объединяются в сеть (до 255 аппаратов) и позволяют решать весьма сложные задачи под управлением одного персонального компьютера.

Как уже отмечалось, мини-контроллеры Comat BoxX можно программировать, используя съемную ЖК панель и клавиши управления. Однако это гораздо удобнее делать с помощью бесплатно поставляемой программы Quick II. Она имеет простой и интуитивно понятный интерфейс, позволяет не только создавать, редактировать и загружать в Comat BoxX программы, но и наблюдать за процессом в реальном времени.

На рис. 2 приведен вид части дисплея с окном программы Quick II. На поле слева видна часть функциональных блоков, используемых при создании управляющей программы. А рисунок показывает пример программирования для решения конкретной задачи включения и выключения освещения в подъезде дома. К входу I1 подключается входной выключатель, к входу I2 — выходной выключатель. К входу I3 подключается датчик присутствия. При наличии управляющего сигнала на этом входе освещение